

Priloha 1

Vypocet rovnic vnitri balistiky, bez uvazovani ztrat

Vstupni parametry

$$\begin{aligned} > \text{Restart}; & \quad \text{Restart} & (1.1.1.1) \end{aligned}$$

Pocatecni tlak [Pa]

$$\begin{aligned} > p_0 := 40000000; & \quad p_0 := 40000000 & (1.1.1.2) \end{aligned}$$

Hmotnost prachove naplne [kg]

$$\begin{aligned} > \omega := 0.1485; & \quad \omega := 0.1485 & (1.1.1.3) \end{aligned}$$

Pocatecni objem spalovaciho prostoru [m^3]

$$\begin{aligned} > c_0 := 0.00024; & \quad c_0 := 0.00024 & (1.1.1.4) \end{aligned}$$

Kovolum prachovych plynů [$m^3 \cdot kg^{-1}$]

$$\begin{aligned} > \alpha := 0.905e-3; & \quad \alpha := 0.000905 & (1.1.1.5) \end{aligned}$$

Hustota prachove masy [$kg \cdot m^{-3}$]

$$\begin{aligned} > \delta := 1600; & \quad \delta := 1600 & (1.1.1.6) \end{aligned}$$

Merna energie prachu [$J \cdot kg^{-1}$]

$$\begin{aligned} > f := 0.830e6; & \quad f := 8.30 \cdot 10^5 & (1.1.1.7) \end{aligned}$$

Geometricka charakteristika prachoveho zrna

$$\begin{aligned} > \kappa := 1.25; & \quad \kappa := 1.25 & (1.1.1.8) \end{aligned}$$

Delka hlavne [m]

$$\begin{aligned} > l_u := 6; & \quad l_u := 6 & (1.1.1.9) \end{aligned}$$

Raze [m]

$$\begin{aligned} > d := 0.0298; & \quad d := 0.0298 & (1.1.1.10) \end{aligned}$$

Hmotnost strelы [kg]

$$\begin{aligned} > m_q := 0.295; & \quad m_q := 0.295 & (1.1.1.11) \end{aligned}$$

Vybuchova teplota prachu [K]

$$\begin{aligned} > T_v := 3175; & \quad T_v := 3175 & (1.1.1.12) \end{aligned}$$

Plocha prurezu vyvrstu hlavne [m^2]

$$\begin{aligned} > s := 0.0007053; & \quad s := 0.0007053 & (1.1.1.13) \end{aligned}$$

Soucinitel pasivnich odporu strelly

$$\begin{aligned} > k_{\varphi} &:= 1.03; \\ &\quad k_1 := 1.03 \end{aligned} \tag{1.1.1.14}$$

Celkovy impuls tlaku prachovych plynu [Pa·s] $I_K \rightarrow P_K$

$$\begin{aligned} > P_K &:= 262038.29; \\ &\quad P_K := 2.6203829 \cdot 10^5 \end{aligned} \tag{1.1.1.15}$$

Parametr expanze

$$\begin{aligned} > \Theta &:= 0.25; \\ &\quad \Theta := 0.25 \end{aligned} \tag{1.1.1.16}$$

Soucinitel rozsireni spalovaciho prostoru

$$\begin{aligned} > \varkappa &:= 1.125; \\ &\quad \varkappa := 1.125 \end{aligned} \tag{1.1.1.17}$$

Resic

Vypocet konstant

$$\begin{aligned} > k_{xstr} &:= \frac{c_0}{l_u \cdot s} \cdot \left(\frac{l_u \cdot s}{c_0} + \left(\frac{1}{\varkappa} - 1 \right) \cdot \ln \left(1 + \frac{l_u \cdot s}{c_0} \right) \right); \\ &\quad k_{xstr} := 0.9815687108 \end{aligned} \tag{1.1.2.1.1}$$

Fiktivni hmotnost

$$\begin{aligned} > \varphi &:= 1; \\ &\quad \varphi := 1 \end{aligned} \tag{1.1.2.1.2}$$

$$\begin{aligned} [m] & \\ > l_D &:= \frac{c_0}{s} \cdot \left(1 - \frac{\omega}{c_0 \cdot \delta} \right); \\ &\quad l_D := 0.2086877924 \end{aligned} \tag{1.1.2.1.3}$$

$$\begin{aligned} [m] & \\ > l_l &:= \frac{c_0}{s} \cdot \left(1 - \frac{\alpha \cdot \omega}{c_0} \right); \\ &\quad l_l := 0.1497341557 \end{aligned} \tag{1.1.2.1.4}$$

$$\begin{aligned} [m] & \\ > l_{pom} &:= \frac{c_0 \cdot \left(2 - \frac{\omega}{c_0} \cdot \left(\frac{1}{\delta} + \alpha \right) \right)}{2 \cdot s}; \\ &\quad l_{pom} := 0.1792109740 \end{aligned} \tag{1.1.2.1.5}$$

1. Zazeah

$$\begin{aligned} > \Psi_0 &:= \frac{\frac{c_0}{\omega} - \frac{1}{\delta}}{\frac{f}{p_0} + \alpha - \frac{1}{\delta}}; \\ &\quad \Psi_0 := 0.04713084242 \end{aligned} \tag{1.1.2.2.1}$$

$$\begin{aligned} > z_0 &:= \frac{\Psi_0}{\varkappa}; \end{aligned}$$

$$z_0 := 0.03770467394 \quad (1.1.2.2.2)$$

2. Dohoreni prachove naplne

Rychlosť po dohoreni vymetne naplne [m·s⁻¹]

$$\begin{aligned} > v_K := \frac{s \cdot P_K}{\varphi \cdot m_q} \cdot (1 - z_0); \\ & v_K := 602.8718430 \end{aligned} \quad (1.1.2.3.1)$$

Pomocny vypocet [J]

$$\begin{aligned} > a := f \cdot \omega \cdot \kappa; \\ & a := 1.54068750 \cdot 10^5 \end{aligned} \quad (1.1.2.3.2)$$

Pomocny vypocet [J]

$$\begin{aligned} > j := \varphi \cdot m_q \cdot (v_K)^2; \\ & j := 1.072190654 \cdot 10^5 \end{aligned} \quad (1.1.2.3.3)$$

Konstanta

$$\begin{aligned} > b := \frac{1 - \kappa}{\kappa} - \frac{\Theta \cdot \varphi \cdot m_q \cdot (v_K)^2}{2 \cdot f \cdot \omega \cdot \kappa}; \\ & b := -0.2869896276 \end{aligned} \quad (1.1.2.3.4)$$

Konstanta

$$\begin{aligned} > k := \frac{j}{a \cdot b}; \\ & k := -2.424885617 \end{aligned} \quad (1.1.2.3.5)$$

Konstanta

$$\begin{aligned} > M := 1 - k; \\ & M := 3.424885617 \end{aligned} \quad (1.1.2.3.6)$$

Pomocny vypocet [Pa]

$$\begin{aligned} > A := \frac{f \cdot \omega \cdot \kappa}{s \cdot l_{pom}} \cdot (1 + b \cdot z_0)^k; \\ & A := 1.251508409 \cdot 10^9 \end{aligned} \quad (1.1.2.3.7)$$

Limitni rychlosť [m·s⁻¹]

$$\begin{aligned} > v_{lim} := \sqrt{\frac{2 \cdot f \cdot \omega}{\Theta \cdot \varphi \cdot m_q}}; \\ & v_{lim} := 1828.252847 \end{aligned} \quad (1.1.2.3.8)$$

Pomer limitni rychlosti ku rychlosťi po dohoreni v. n.

$$\begin{aligned} > v_K := \frac{v_K}{v_{lim}}; \\ & v_K := 0.3297529901 \end{aligned} \quad (1.1.2.3.9)$$

Urazena vzdalenost po dohoreni vymente naplne [m]

$$\begin{aligned} > l_K := l_{pom} \cdot \left(\left(\frac{1 + b}{1 + b \cdot z_0} \right)^k - 1 \right); \\ & l_K := 0.2171881344 \end{aligned} \quad (1.1.2.3.10)$$

Tlak plynu po dohoreni vymetne naplne [MPa]

$$\begin{aligned} > p_K := \frac{A \cdot (1+b)^{1-k}}{1000000}; \\ & p_K := 392.9197452 \end{aligned} \quad (1.1.2.3.11)$$

Teplota plynu po dohoreni vymetne naplne [K]

$$\begin{aligned} > T_K := T_v \cdot \left(1 - \left(\frac{v_K}{v_{\text{lim}}} \right)^2 \right); \\ & T_K := 2829.759915 \end{aligned} \quad (1.1.2.3.12)$$

3. Misto maximalnich tlaku

$$\begin{aligned} > z_m := -\frac{1}{b \cdot (2-k)}; \\ & z_m := 0.7874658894 \end{aligned} \quad (1.1.2.4.1)$$

$$\begin{aligned} > \psi_m := \kappa \cdot z_m + (1-\kappa) \cdot (z_m)^2; \\ & \psi_m := 0.8293067300 \end{aligned} \quad (1.1.2.4.2)$$

Rychlosť v miste maximalního tlaku [$\text{m}\cdot\text{s}^{-1}$]

$$\begin{aligned} > v_m := v_K \cdot z_m; \\ & v_m := 474.7410120 \end{aligned} \quad (1.1.2.4.3)$$

Urazena vzdalenost v miste maximalního tlaku [m]

$$\begin{aligned} > l_m := l_{\text{pom}} \cdot \left(\left(\frac{1+b \cdot z_m}{1+b \cdot z_0} \right)^k - 1 \right); \\ & l_m := 0.1456442996 \end{aligned} \quad (1.1.2.4.4)$$

Maximalni tlak [MPa]

$$\begin{aligned} > p_m = \frac{A \cdot z_m \cdot (1+b \cdot z_m)^{1-k}}{1000000}; \\ & p_m = 409.8514984 \end{aligned} \quad (1.1.2.4.5)$$

Teplota pri maximalnim tlaku [K]

$$\begin{aligned} > T_m := T_v \cdot \left(1 - \frac{1}{\psi_m} \cdot \left(\frac{v_m}{v_{\text{lim}}} \right)^2 \right); \\ & T_m := 2916.851548 \end{aligned} \quad (1.1.2.4.6)$$

4. Parametry na usti hlavne

Rychlosť na usti hlavne [$\text{m}\cdot\text{s}^{-1}$]

$$\begin{aligned} > v_u := v_{\text{lim}} \cdot \sqrt{1 - \left(1 - \left(\frac{v_K}{v_{\text{lim}}} \right)^2 \right) \cdot \left(\frac{l_l + l_K}{l_l + l_u} \right)^\Theta}; \\ & v_u := 1367.541397 \end{aligned} \quad (1.1.2.5.1)$$

Tlak na usti hlavne [MPa]

$$\begin{aligned} > p_u := p_K \cdot \left(\frac{l_l + l_K}{l_l + l_u} \right)^{1+\Theta}; \\ & p_u := 11.58646743 \end{aligned} \quad (1.1.2.5.2)$$

[m]

$$\boxed{\boxed{\boxed{\boxed{\boxed{}}}} \color{red}{\triangleright} M_{kkk} := (l_l + l_K) \cdot \left(1 - \left(v_K\right)^2\right)^{\frac{1}{\Theta}}; \\ \color{blue}{M_{kkk} := 0.2315248110}} \quad (1.1.2.5.3)$$

Priloha 2

Vypocet rovnic vnitri balistiky

Vstupni parametry

$$> \text{Restart}; \quad \text{Restart} \quad (1.1.1.1)$$

Pocatecní tlak [Pa]

$$> p_0 := 40000000; \quad p_0 := 40000000 \quad (1.1.1.2)$$

Hmotnost prachove náplne [kg]

$$> \omega := 0.1352; \quad \omega := 0.1352 \quad (1.1.1.3)$$

Pocatecni objem spalovaciho prostoru [m^3]

$$> c_0 := 0.0001905; \quad c_0 := 0.0001905 \quad (1.1.1.4)$$

Kovolum prachovych plynu [$m^3 \cdot kg^{-1}$]

$$> \alpha := 0.05e-3; \quad \alpha := 0.00005 \quad (1.1.1.5)$$

Hustota prachove masy [$kg \cdot m^{-3}$]

$$> \delta := 1620; \quad \delta := 1620 \quad (1.1.1.6)$$

Merna energie prachu [$J \cdot kg^{-1}$]

$$> f := 0.92e6; \quad f := 9.2 \cdot 10^5 \quad (1.1.1.7)$$

Tvar zrna, parametr κ_l

$$> F := 2 + \frac{1.5}{100}; \quad F := 2.015000000 \quad (1.1.1.8)$$

Tvar zrna, parametr $\kappa_l \cdot \lambda_l$

$$> G := -\left(1 + 2 \cdot \frac{1.5}{100}\right); \quad G := -1.030000000 \quad (1.1.1.9)$$

Tvar zrna, parametr $\kappa_l \cdot \mu_l$

$$> H := \frac{1.5}{100}; \quad H := 0.01500000000 \quad (1.1.1.10)$$

Delka hlavne [m]

$$> l_u := 4.5; \quad l_u := 4.5 \quad (1.1.1.11)$$

Raze [m]

$$> d := 0.0298; \quad d := 0.0298 \quad (1.1.1.12)$$

Hmotnost strelly [kg]	
> $m_q := 0.295;$	$m_q := 0.295$
Vybuchova teplota prachu [K]	
> $T_v := 3175;$	$T_v := 3175$
Plocha prurezu vyvrstu hlavne [m^2]	
> $s := 0.0007053;$	$s := 0.0007053$
Soucinitel pasivnich odporu strelly	
> $k_\phi := 1.03;$	$k_{1.171255573} := 1.03$
Celkovy impuls tlaku prachovych plynů [$Pa \cdot s$] $I_K \rightarrow P_K$	
> $P_K := 269745.3;$	$P_K := 2.697453 \cdot 10^5$
Parametr expanze	
> $\Theta := 0.2;$	$\Theta := 0.2$
Soucinitel rozsireni spalovaciho prostoru	
> $\kappa := 1.75;$	$\kappa := 1.75$

Resic

Vypocet konstant	
Funkce 1	
> $\kappa := F + G \cdot 0.5 + H \cdot 0.25$	$\kappa := 1.503750000$
Funkce 2	
> $\kappa\lambda := G \cdot 0.5 + H \cdot 0.75$	$\kappa\lambda := -0.5037500000$
Lambda	
> $\lambda := \frac{\kappa\lambda}{\kappa}$	$\lambda := -0.3349958437$
> $k_{xstr} := \frac{c_0}{l_u \cdot s} \cdot \left(\frac{l_u \cdot s}{c_0} + \left(\frac{1}{\kappa} - 1 \right) \cdot \ln \left(1 + \frac{l_u \cdot s}{c_0} \right) \right);$	$k_{xstr} := 0.9261388449$
Fiktivni hmotnost	
> $\varphi := k_\phi + \frac{1}{3} \cdot k_{xstr} \cdot \frac{\omega}{m_q};$	$\varphi := 1.171484714$
[m]	

$$\begin{aligned} > l_D := \frac{c_0}{s} \cdot \left(1 - \frac{\omega}{c_0 \cdot \delta} \right); \\ & l_D := 0.1517697574 \end{aligned} \quad (1.1.2.1.6)$$

$$\begin{aligned} [m] \\ > l_l := \frac{c_0}{s} \cdot \left(1 - \frac{\alpha \cdot \omega}{c_0} \right); \\ & l_l := 0.2605132568 \end{aligned} \quad (1.1.2.1.7)$$

$$\begin{aligned} [m] \\ > l_{pom} := \frac{c_0 \cdot \left(2 - \frac{\omega}{c_0} \cdot \left(\frac{1}{\delta} + \alpha \right) \right)}{2 \cdot s}; \\ & l_{pom} := 0.2061415070 \end{aligned} \quad (1.1.2.1.8)$$

1. Zazeh

$$\begin{aligned} > \Psi_0 := \frac{\frac{c_0}{\omega} - \frac{1}{\delta}}{\frac{f}{p_0} + \alpha - \frac{1}{\delta}}; \\ & \Psi_0 := 0.03529397495 \end{aligned} \quad (1.1.2.2.1)$$

$$\begin{aligned} > B := solve(F \cdot z_0 + G \cdot z_0^2 - \Psi_0 \cdot z_0); \\ & B := 0.01767531727, 1.938635362 \end{aligned} \quad (1.1.2.2.2)$$

$$\begin{aligned} > J := (1.1.2.2.2) [2]; \\ & J := 1.938635362 \end{aligned} \quad (1.1.2.2.3)$$

$$\begin{aligned} > L := (1.1.2.2.2) [1]; \\ & L := 0.01767531727 \end{aligned} \quad (1.1.2.2.4)$$

z_0 je pro dalsi vypocty nahrazeno promenou C

$$\begin{aligned} > \text{if } L < 1 \text{ and } L > 0 \text{ then } C := L \text{ elif } J < 1 \text{ and } J > 0 \text{ then } C := J \text{ end if} \\ & C := 0.01767531727 \end{aligned} \quad (1.1.2.2.5)$$

2. Dohoreni prachove naplne

Rychlost po dohoreni vymetne naplne [$\text{m} \cdot \text{s}^{-1}$]

$$\begin{aligned} > v_K := \frac{s \cdot P_K}{\varphi \cdot m_q} \cdot (1 - C); \\ & v_K := 540.7844369 \end{aligned} \quad (1.1.2.3.1)$$

Pomocny vypocet [J]

$$\begin{aligned} > a := f \cdot \omega \cdot \kappa; \\ & a := 1.870424400 \cdot 10^5 \end{aligned} \quad (1.1.2.3.2)$$

Pomocny vypocet [J]

$$\begin{aligned} > j := \varphi \cdot m_q \cdot (v_K)^2; \\ & j := 1.010664500 \cdot 10^5 \end{aligned} \quad (1.1.2.3.3)$$

Konstanta

$$\begin{aligned} > b := \lambda - \frac{\Theta \cdot j}{2 \cdot a}; \end{aligned}$$

$$b := -0.3890298106 \quad (1.1.2.3.4)$$

Konstanta

$$> k := \frac{j}{a \cdot b};$$

$$k := -1.388941551 \quad (1.1.2.3.5)$$

Konstanta

$$> M := 1 - k;$$

$$M := 2.388941551 \quad (1.1.2.3.6)$$

Pomocny vypocet [Pa]

$$> A := \frac{f \cdot \omega \cdot \kappa}{s \cdot l_{pom}} \cdot (1 + b \cdot C)^k;$$

$$A := 1.298861849 \cdot 10^9 \quad (1.1.2.3.7)$$

Limitni rychlost [$\text{m} \cdot \text{s}^{-1}$]

$$> v_{\lim} := \sqrt{\frac{2 \cdot f \cdot \omega}{\Theta \cdot \varphi \cdot m_q}};$$

$$v_{\lim} := 1897.155540 \quad (1.1.2.3.8)$$

Pomer limitni rychlosti ku rychlosti po dohoreni v. n.

$$> v_K := \frac{v_K}{v_{\lim}};$$

$$v_K := 0.2850501319 \quad (1.1.2.3.9)$$

Urazena vzdalenost po dohoreni vymente naplne [m]

$$> l_K := l_{pom} \cdot \left(\left(\frac{1+b}{1+b \cdot C} \right)^k - 1 \right);$$

$$l_K := 0.1986291292 \quad (1.1.2.3.10)$$

Tlak plynu po dohoreni vymetne naplne [MPa]

$$> p_K := \frac{A \cdot (1+b)^{1-k}}{1000000};$$

$$p_K := 400.2923558 \quad (1.1.2.3.11)$$

Teplota plynu po dohoreni vymetne naplne [K]

$$> T_K := T_v \cdot \left(1 - \left(\frac{v_K}{v_{\lim}} \right)^2 \right);$$

$$T_K := 2917.019891 \quad (1.1.2.3.12)$$

3. Misto maximalnich tlaku

$$> z_m := -\frac{1}{b \cdot (2 - k)};$$

$$z_m := 0.7584955542 \quad (1.1.2.4.1)$$

$$> \psi_m := \kappa \cdot z_m + (1 - \kappa) \cdot (z_m)^2;$$

$$\psi_m := 0.8507725040 \quad (1.1.2.4.2)$$

Rychlosť v miste maximalního tlaku [$\text{m} \cdot \text{s}^{-1}$]

$$> v_m := v_K \cdot z_m;$$

$$v_m := 410.1825912 \quad (1.1.2.4.3)$$

Urazena vzdalenost v miste maximalniho tlaku [m]

$$\Rightarrow l_m := l_{pom} \cdot \left(\left(\frac{1 + b \cdot z_m}{1 + b \cdot C} \right)^k - 1 \right);$$

$$l_m := 0.1256963813 \quad (1.1.2.4.4)$$

Maximalni tlak [MPa]

$$\Rightarrow p_m = \frac{A \cdot z_m \cdot (1 + b \cdot z_m)^{1-k}}{1000000};$$

$$p_m = 427.3018664 \quad (1.1.2.4.5)$$

Teplota pri maximalnim tlaku [K]

$$\Rightarrow T_m := T_v \cdot \left(1 - \frac{1}{\psi_m} \cdot \left(\frac{v_m}{v_{lim}} \right)^2 \right);$$

$$T_m := 3000.546834 \quad (1.1.2.4.6)$$

4. Parametry na usti hlavne

Rychlosť na usti hlavne [$m \cdot s^{-1}$]

$$\Rightarrow v_u := v_{lim} \cdot \sqrt{1 - \left(1 - \left(\frac{v_K}{v_{lim}} \right)^2 \right) \cdot \left(\frac{l_l + l_K}{l_l + l_u} \right)^\Theta};$$

$$v_u := 1236.048887 \quad (1.1.2.5.1)$$

Tlak na usti hlavne [MPa]

$$\Rightarrow p_u := p_K \cdot \left(\frac{l_l + l_K}{l_l + l_u} \right)^{1+\Theta};$$

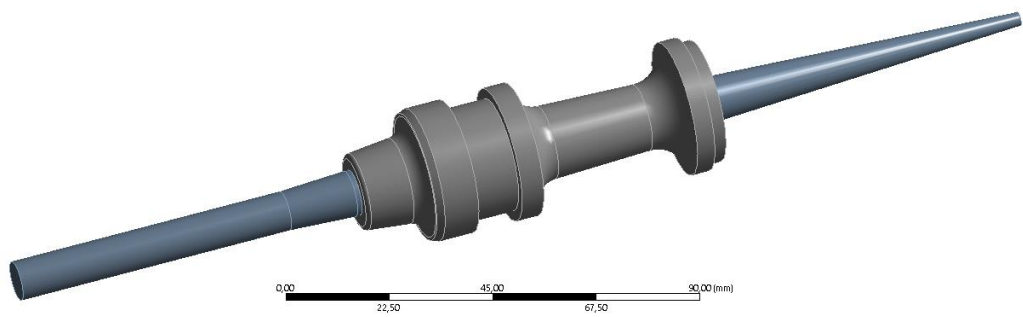
$$p_u := 24.18408308 \quad (1.1.2.5.2)$$

[m]

$$\Rightarrow M_{kkk} := (l_l + l_K) \cdot \left(1 - \left(\frac{v_K}{v_{lim}} \right)^2 \right)^{\frac{1}{\Theta}};$$

$$M_{kkk} := 0.3005562001 \quad (1.1.2.5.3)$$

VÝPOČTOVÁ ZPRÁVA



ÚSTAV
KONSTRUOVÁNÍ

PROJEKT:
Topologicky optimalizovaný sabot

TYP ANALÝZY:
Dynamická analýza, celek

DATUM:

22.5.2019

OSTATNÍ:

Příloha 3

POČET STRAN:

10

AUTOR:

Jan Hajda

1. Obsah

2. MODEL.....	2
2.1. GEOMETRIE.....	2
2.1.1. Základní informace	2
2.2. MATERIÁLOVÉ VLASTNOSTI.....	2
2.2.1. Structural Steel	2
2.3. SPOJENÍ.....	3
2.4.2 Kontakty.....	3
2.4. Síť PRVKŮ	3
2.4.1. Globální síť.....	3
2.4.2. Kvalita sítě	4
3. EXPLICITNÍ ŘEŠIČ	5
3.1. NASTAVENÍ ŘEŠIČE.....	5
3.2. NASTAVENÍ ANALÝZY.....	6
3.3. ZATÍŽENÍ.....	6
4. VÝSLEDKY.....	7
4.1. SOUHRN ENERGIÍ.....	7
4.2. CELKOVÝ POSUV	8
4.3. POSUV V OSE X	8
4.4. POSUV V OSE Z	8
4.5. CELKOVÁ RYCHLOST	8
4.6. NAPĚTÍ VON-MISES	9
4.6.1. Nejvyšší napětí ve střele.....	9
4.6.2. Nejvyšší napětí v sabotu	9

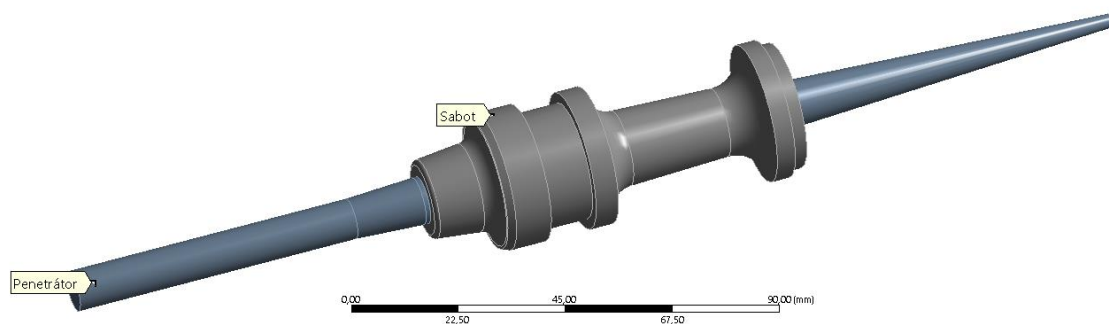
2. Model

2.1. Geometrie

2.1.1. Základní informace

Byl použit materiál Structural Steel

Geometry
22.5.2019 18:49



Obr. 1 Sestava střely

2.2. Materiálové vlastnosti

2.2.1. Structural Steel

A	B	C
Property	Value	Unit
<input checked="" type="checkbox"/> Material Field Variables	<input type="button" value="Table"/>	
<input checked="" type="checkbox"/> Density	7850	kg m^-3
<input checked="" type="checkbox"/> Isotropic Elasticity		
Derive from	Young's ...	
Young's Modulus	2E+11	Pa
Poisson's Ratio	0,3	
Bulk Modulus	1,6667E+11	Pa
Shear Modulus	7,6923E+10	Pa
<input checked="" type="checkbox"/> Specific Heat, C ₀	434	J kg^-1 ...

Obr. 2 Předdefinované materiálové vlastnosti

2.3. Spojení

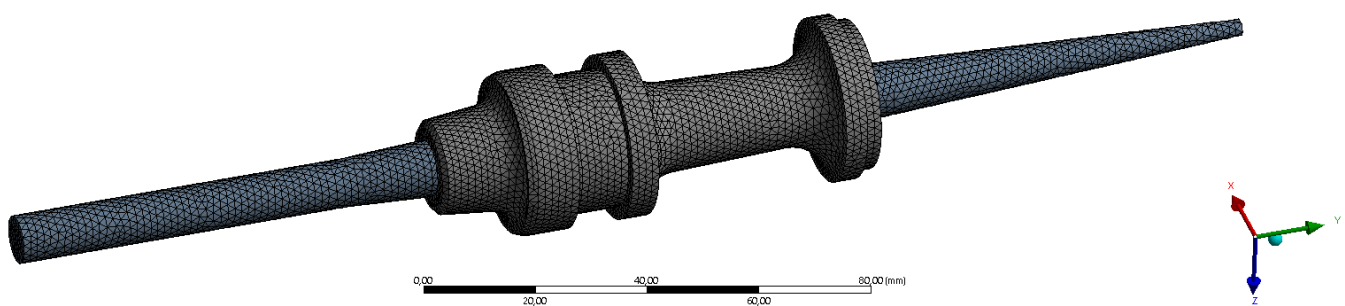
2.4.2 Kontakty

Details of "Body Interaction"	
Scope	
Scoping Method	Geometry Selection
Geometry	All Bodies
Definition	
Type	Bonded
Maximum Offset	1,e-004 mm
Breakable	No
Suppressed	No

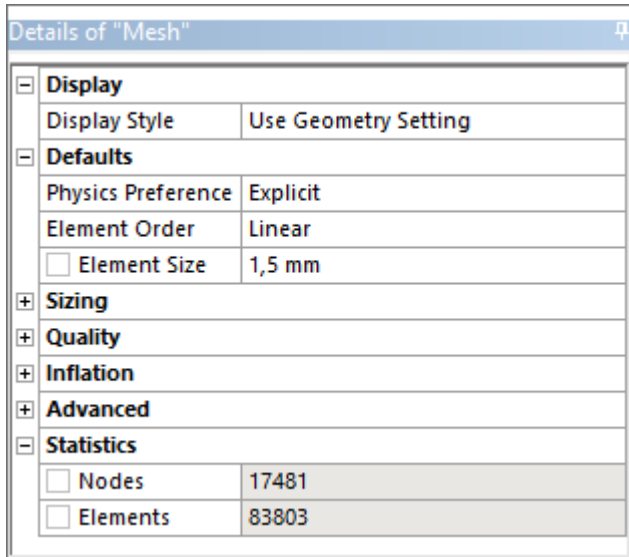
Obr. 3 Body Interaction

2.4. Sít' prvků

2.4.1. Globální síť'

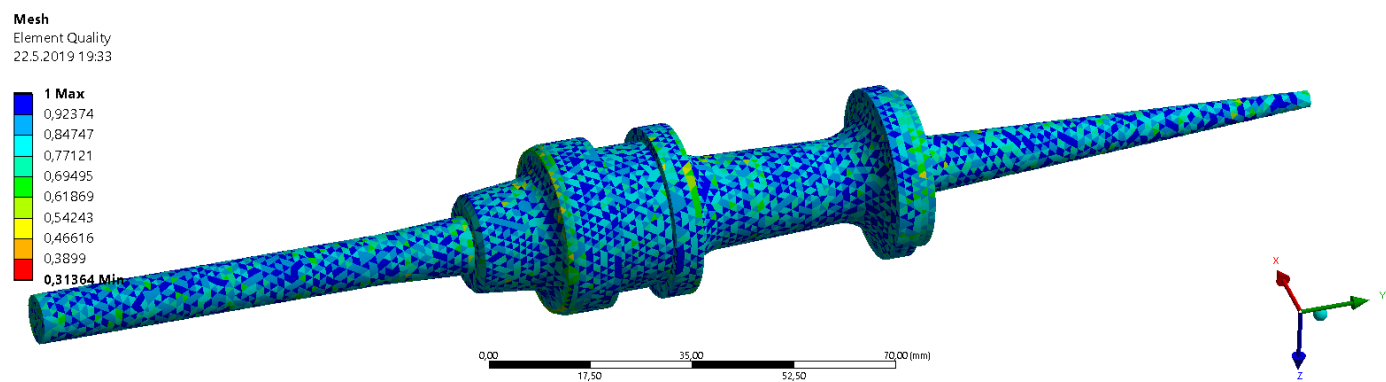


Obr. 4 Pohled na celkově zasítovaný model

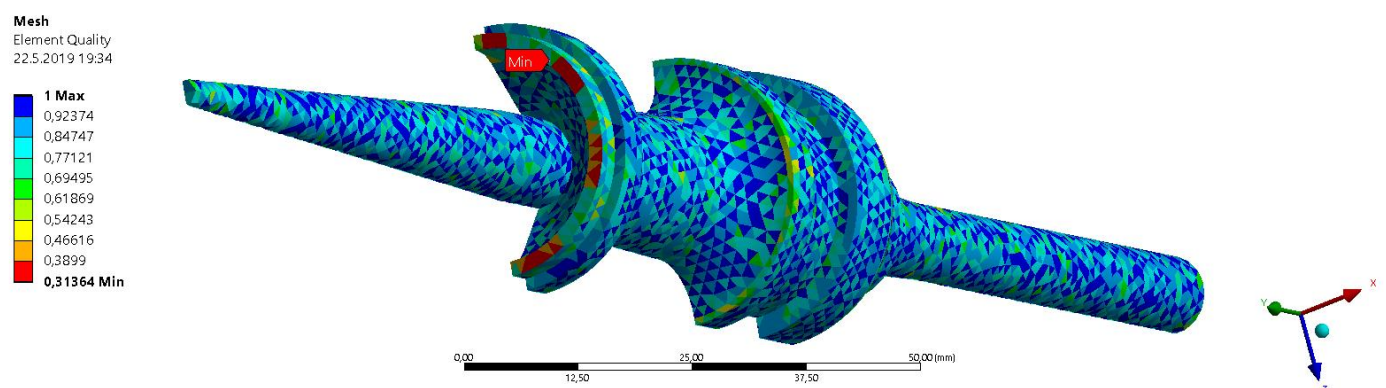


Obr. 5 Detailní nastavení sítě

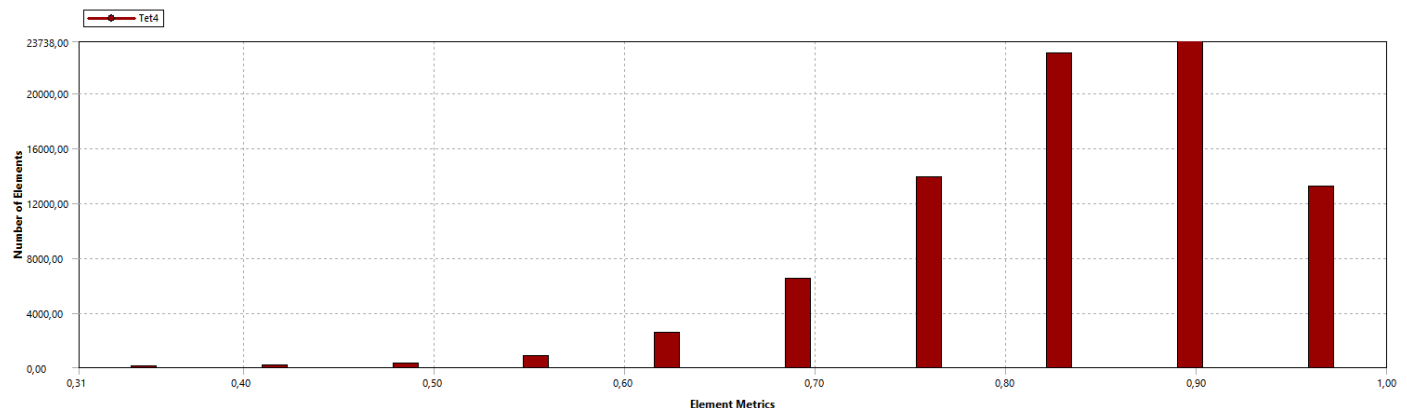
2.4.2. Kvalita sítě



Obr. 6 Kvalita sítě na celkové střele



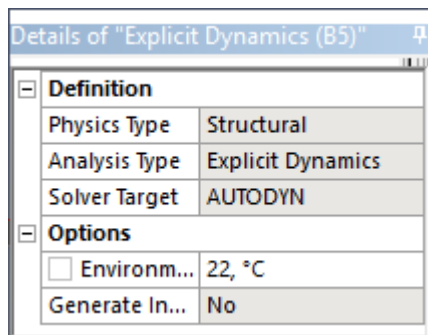
Obr. 7 Kvalita sítě na sabotu (detail)



Obr. 8 Četnost kvality prvků

3. Explicitní řešič

3.1. Nastavení řešiče



Obr. 9 Nastavení řešiče, výchozí teplota

3.2. Nastavení analýzy

Details of "Analysis Settings"	
Analysis Settings Preference	
Type	Program Controlled
Step Controls	
Number Of Steps	1
Current Step Number	1
End Time	6,e-003
Resume From Cycle	0
Maximum Number of Cycles	1e+07
Maximum Energy Error	1,
Reference Energy Cycle	0
Initial Time Step	Program Controlled
Minimum Time Step	Program Controlled
Maximum Time Step	Program Controlled
Time Step Safety Factor	0,9
Characteristic Dimension	Diagonals
Automatic Mass Scaling	No
Solver Controls	
Euler Domain Controls	
Damping Controls	
Erosion Controls	
On Geometric Strain Limit	Yes
Geometric Strain Limit	1,5
On Material Failure	Yes
On Minimum Element Time Step	No
Retain Inertia of Eroded Material	Yes
Output Controls	
Analysis Data Management	
Solver Files Directory	C:\Users\jendy\Desktop\Zpráva\Analýza
Scratch Solver Files Directory	

Obr. 10 Nastavení analýzy, čas, energetická chyba, vyloučení deformovaných prvků

3.3. Zatížení

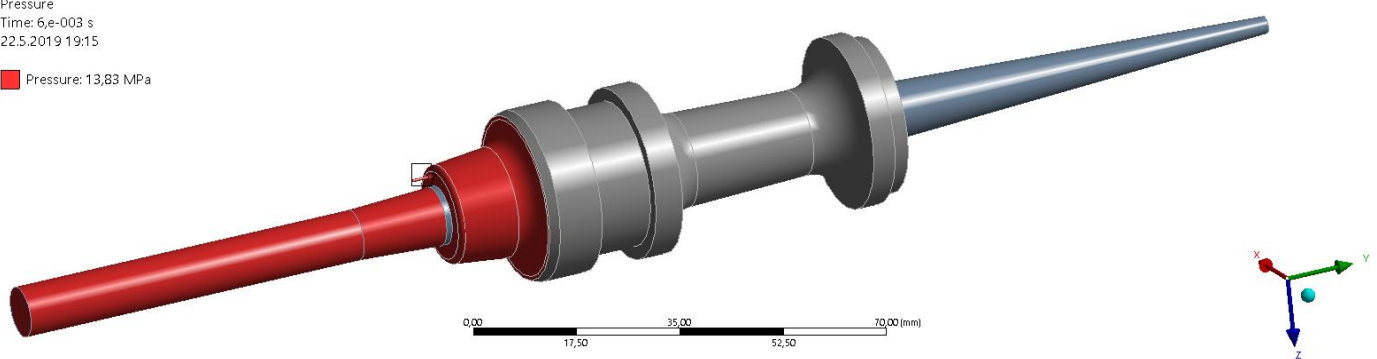
A: Celá střela

Pressure

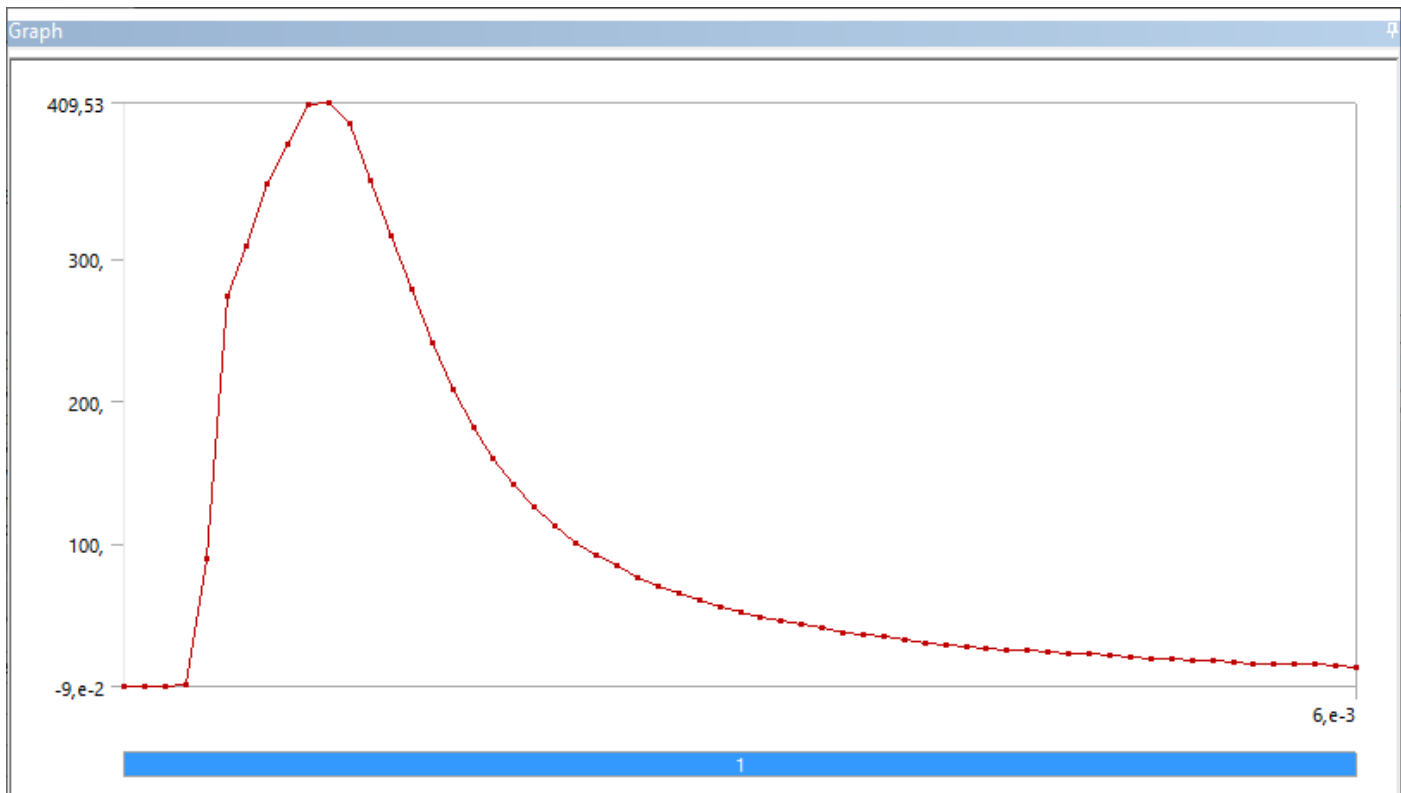
Time: 6,e-003 s

22.5.2019 19:15

Pressure: 13,83 MPa



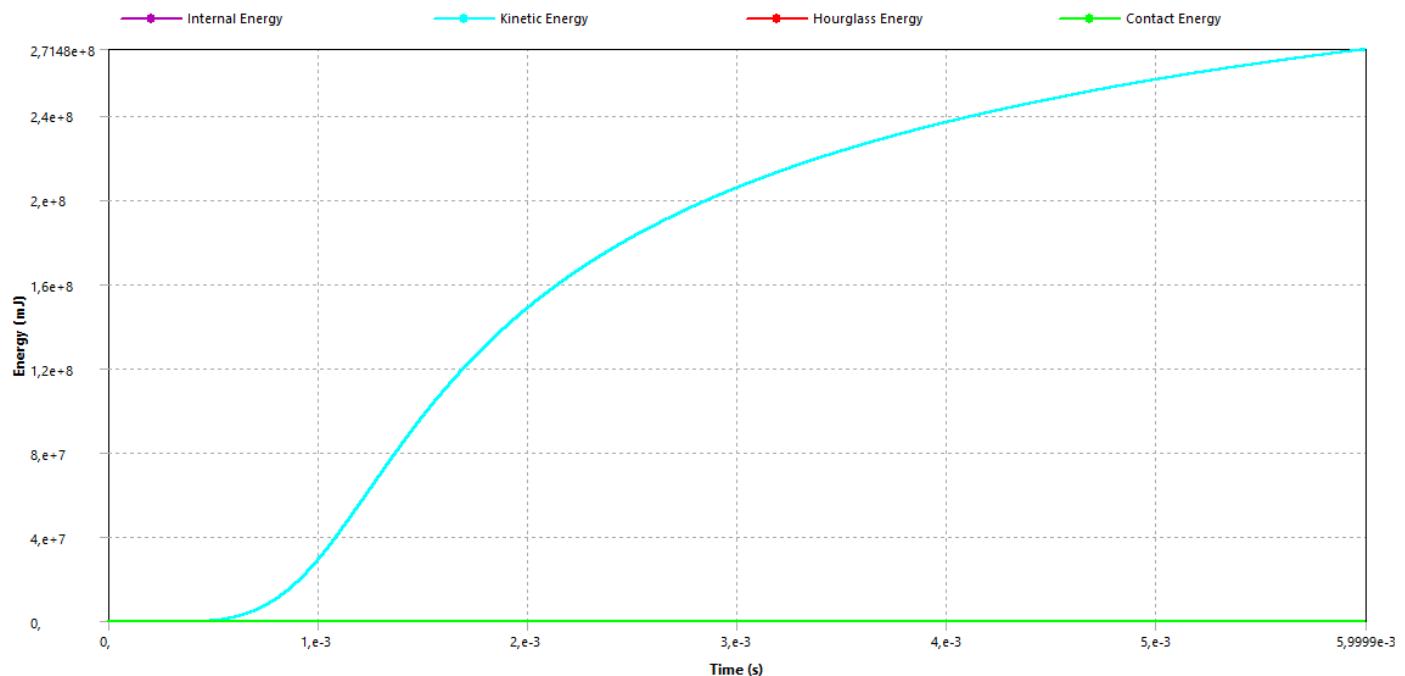
Obr. 11 Hrany zatížené tlakem



Obr. 12 Tlakový průběh

4. Výsledky

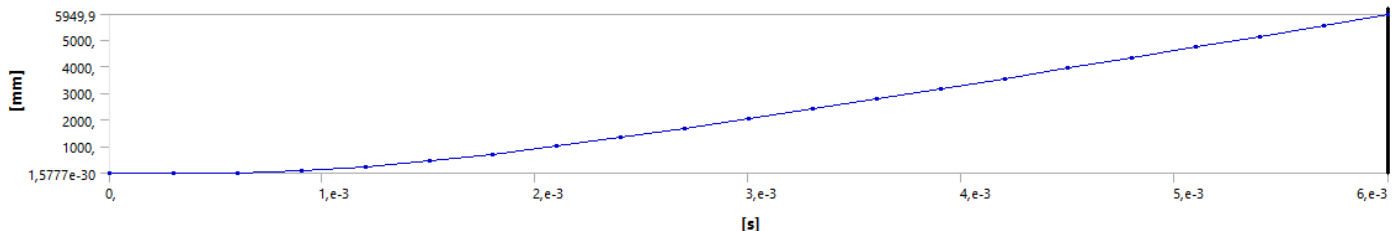
4.1. Souhrn energií



Obr. 13 Kinetická energie (modrá)

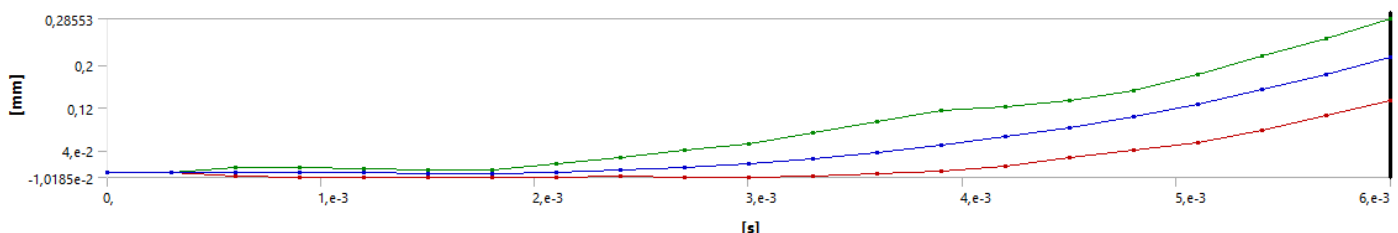
4.2. Celkový posuv

Střela za $0,6\text{ ms}$ urazí $5,949\text{ m}$.



Obr. 14 Deformace střely za čas

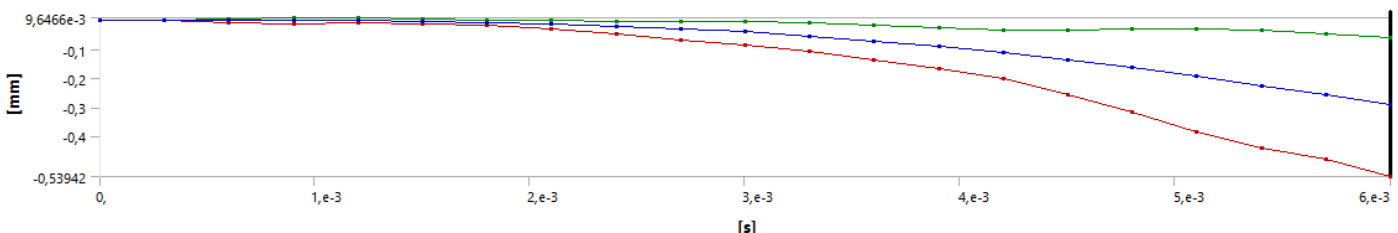
4.3. Posuv v ose X



Obr. 15 Posuv v ose X

4.4. Posuv v ose Z

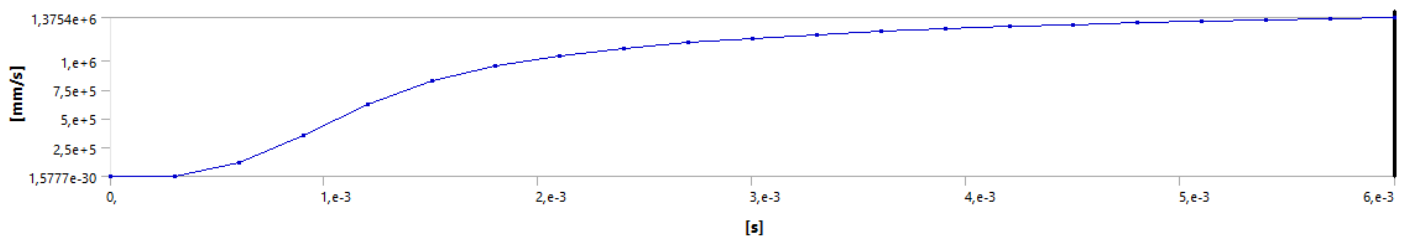
Z posuvu X a Z je patrné, že střela se v čase 6 ms vychýlí z dráhy o necelý milimetr bez použití vazeb.



Obr. 16 Posuv v ose Z

4.5. Celková rychlosť

Střela dosáhne rychlosti 1375 m/s na ústí hlavně.

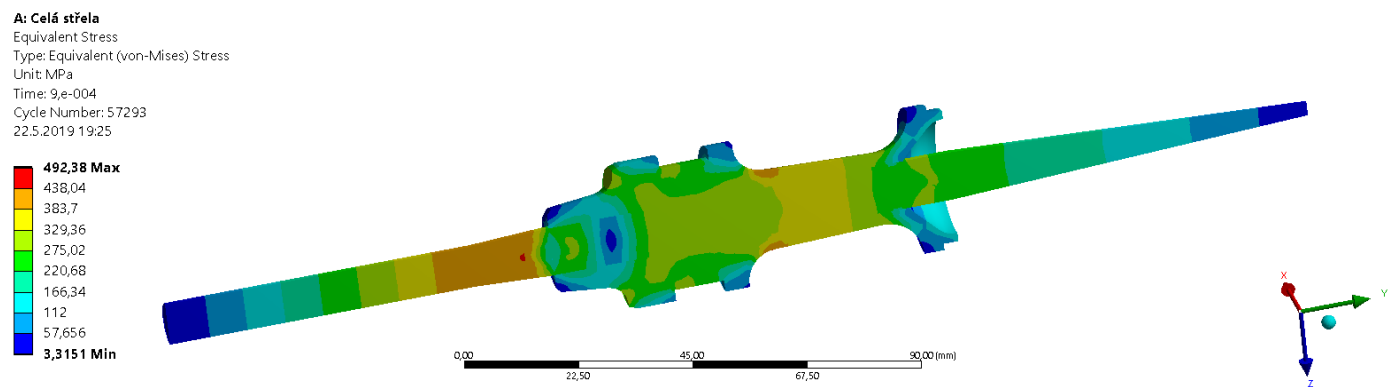


Obr. 17 Rychlosť strelby v závislosti na čase

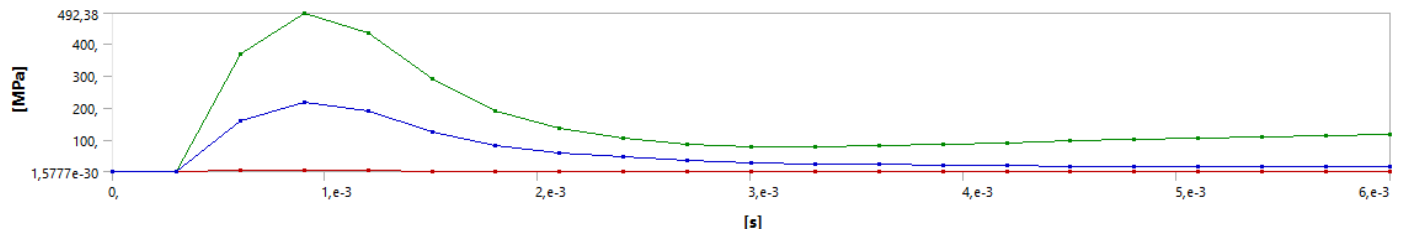
4.6. Napětí von-Mises

4.6.1. Nejvyšší napětí ve střele

Největší napětí je 493 MPa. Dané napětí se vyskytuje na sabotu i penetrátoru.



Obr. 18 Celková napjatost střely

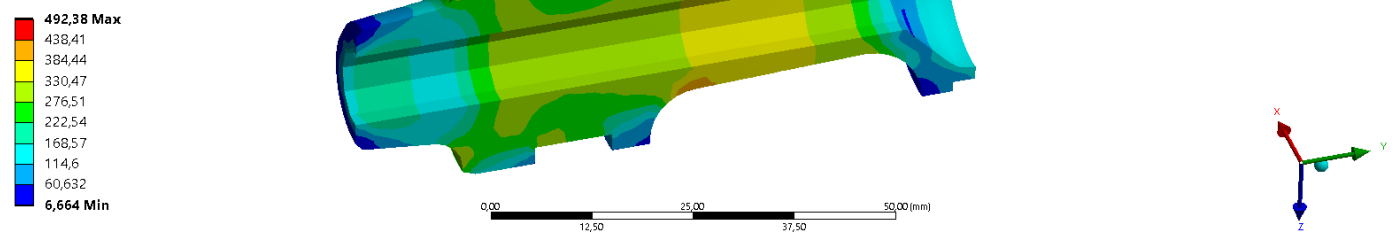


Obr. 19 Průběh napětí v závislosti na čase

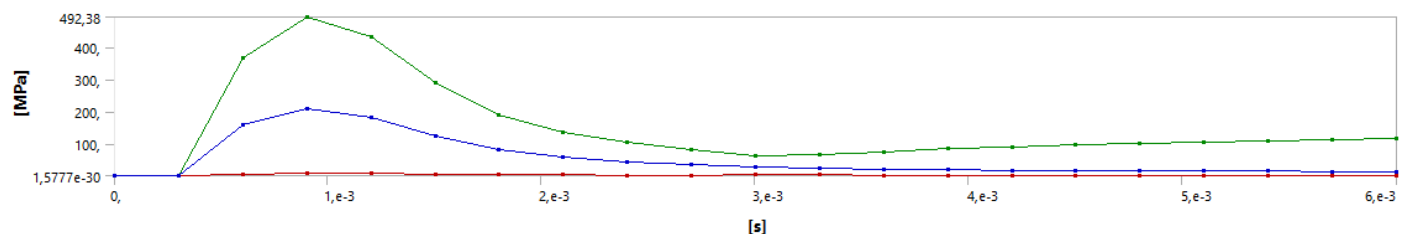
4.6.2. Nejvyšší napětí v sabotu

Největší napětí na sabotu je 493 MPa.

A: Celá střela
Equivalent Stress 2
Type: Equivalent (von-Mises) Stress
Unit: MPa
Time: 9.e-004
Cycle Number: 57293
22.5.2019 19:26

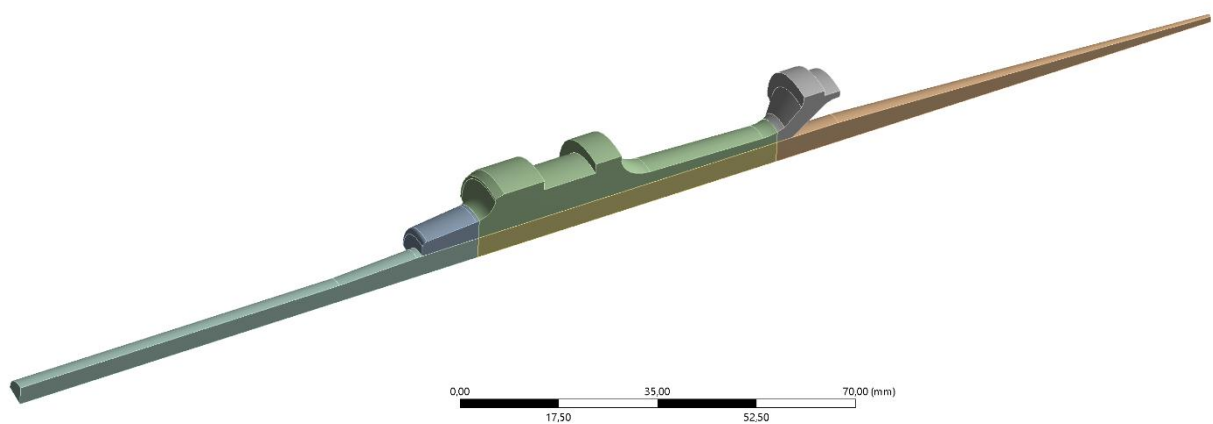


Obr. 20 Celková napjatost sabotu



Obr. 21 Průběh napětí v závislosti na čase

VÝPOČTOVÁ ZPRÁVA



 ÚSTAV KONSTRUOVÁNÍ	<i>PROJEKT:</i> Topologicky optimalizovaný sabot <i>TYP ANALÝZY:</i> Dynamická analýza, ¼ model
<i>DATUM:</i> 4.4.2019	<i>OSTATNÍ:</i> Příloha 4
<i>POČET STRAN:</i> 14	<i>AUTOR:</i> Jan Hajda

1. Obsah

2. MODEL.....	2
2.1. GEOMETRIE.....	2
2.1.1. Základní informace	2
2.2. MATERIÁLOVÉ VLASTNOSTI.....	2
2.2.1. Structural Steel	2
2.3. SYMETRIE.....	3
2.3.1. Oblast symetrie 1	3
2.3.2. Oblast symetrie 2	4
2.4. SPOJENÍ.....	5
2.4.1. Tuhé spojení.....	5
2.4.2 Kontakt bez tření.....	6
2.5. SÍŤ PRVKŮ	7
2.5.1. Globální síť.....	7
2.5.2. Kvalita sítě	8
3. EXPLICITNÍ ŘEŠIČ	9
3.1. NASTAVENÍ ŘEŠIČE.....	9
3.2. NASTAVENÍ ANALÝZY	9
3.3. ZATÍŽENÍ	10
4. VÝSLEDKY.....	11
4.1. SOUHRN ENERGIÍ	11
4.2. CELKOVÝ POSUV	11
4.3. POSUV V OSE X	12
4.4. POSUV V OSE Z	12
4.5. CELKOVÁ RYCHLOST	12
4.6. NAPĚTÍ VON-MISES	12
4.6.1. Nejvyšší napětí ve střele.....	12
4.6.2. Nejvyšší napětí v sabotu	13

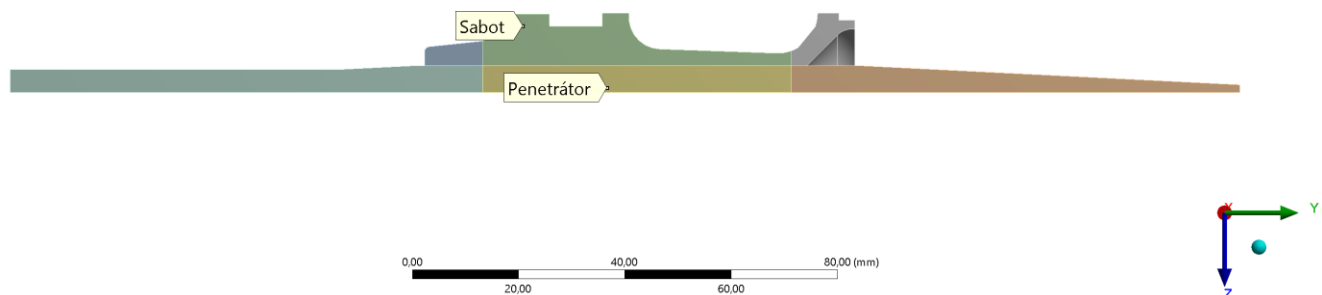
2. Model

2.1. Geometrie

2.1.1. Základní informace

Sabot i penetrátor jsou rozděleny na tři části, které byly spojeny funkcí Shared Topology v modelaři Space Claim. Byl použit materiál Structural Steel

Geometry
4.4.2019 23:28



Obr. 1 Sestava střely

2.2. Materiálové vlastnosti

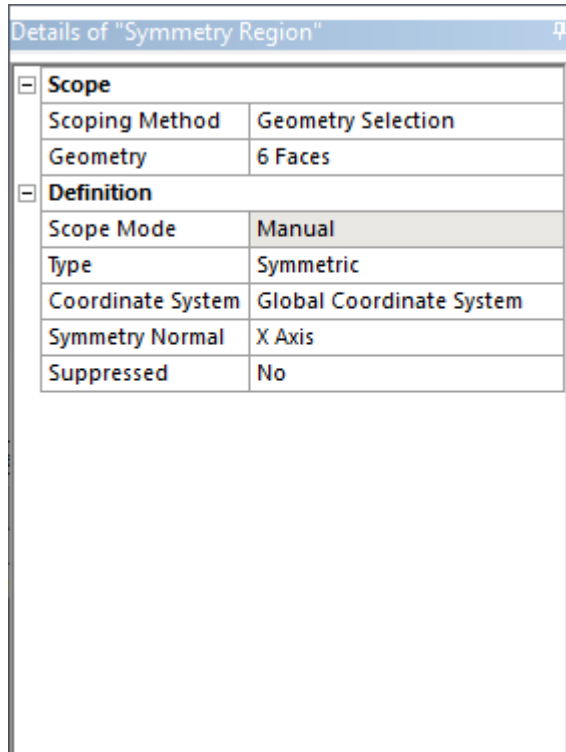
2.2.1. Structural Steel

A	B	C
Property	Value	Unit
<input checked="" type="checkbox"/> Material Field Variables	<input type="button" value="Table"/>	
<input checked="" type="checkbox"/> Density	7850	kg m ⁻³
<input checked="" type="checkbox"/> Isotropic Elasticity		
Derive from	Young's ...	
Young's Modulus	2E+11	Pa
Poisson's Ratio	0,3	
Bulk Modulus	1,6667E+11	Pa
Shear Modulus	7,6923E+10	Pa
<input checked="" type="checkbox"/> Specific Heat, C _s	434	J kg ⁻¹ ...

Obr. 2 Předdefinované materiálové vlastnosti

2.3. Symetrie

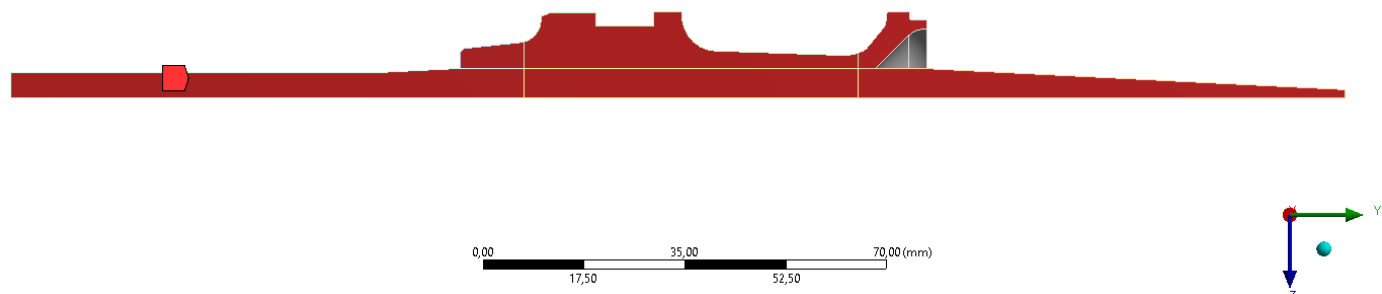
2.3.1. Oblast symetrie 1



Obr. 3 Symetrie kolmá na osu X

Symmetry Region
23.4.2019 23:25

Symmetry Region



Obr. 4 Symetrie kolmá na osu X, obrázek

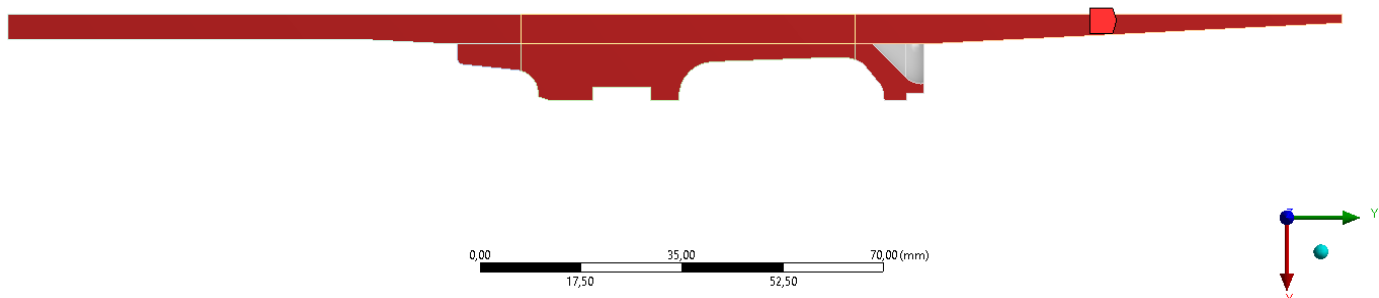
2.3.2. Oblast symetrie 2

Details of "Symmetry Region 2"	
Scope	Geometry Selection
Scoping Method	Geometry
6 Faces	
Definition	
Scope Mode	Manual
Type	Symmetric
Coordinate System	Global Coordinate System
Symmetry Normal	Z Axis
Suppressed	No

Obr. 5 Symetrie kolmá na osu Z

Symmetry Region 2
23.4.2019 23:25

■ Symmetry Region 2



Obr. 6 Symetrie kolmá na osu Z, obrázek

2.4. Spojení

2.4.1. Tuhé spojení

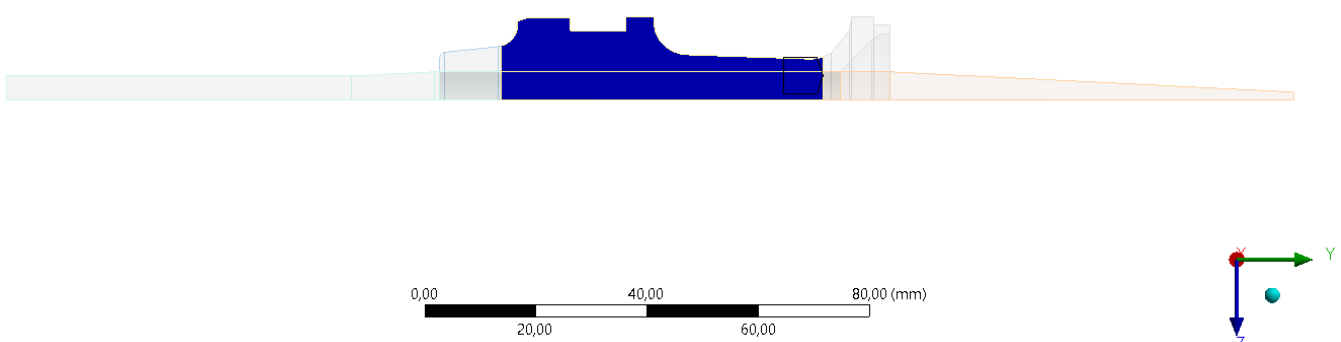
Details of "Body Interaction"	
Scope	
Scoping Method	Geometry Selection
Geometry	2 Bodies
Definition	
Type	Bonded
Maximum Offset	1,e-004 mm
Breakable	No
Suppressed	No

Obr. 7 Vlastnosti kontaktu

Body Interaction

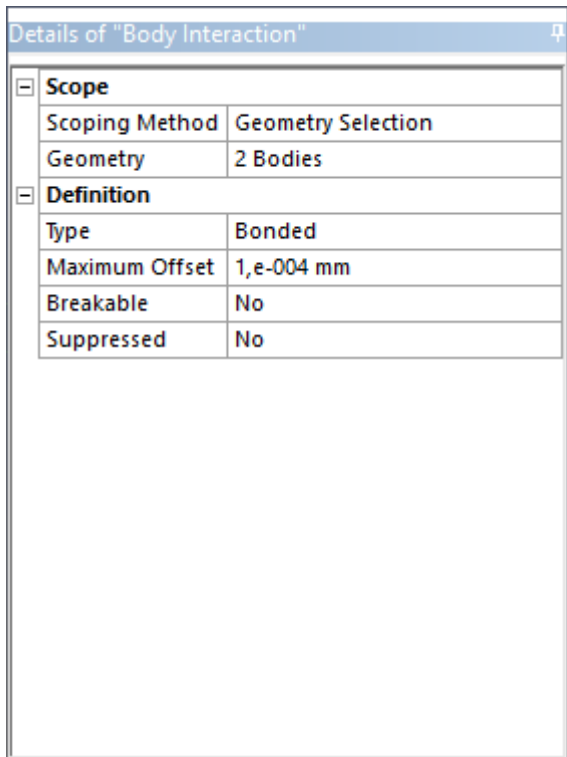
23.4.2019 22:49

 Body Interaction



Obr. 8 Definované plochy

2.4.2 Kontakt bez tření

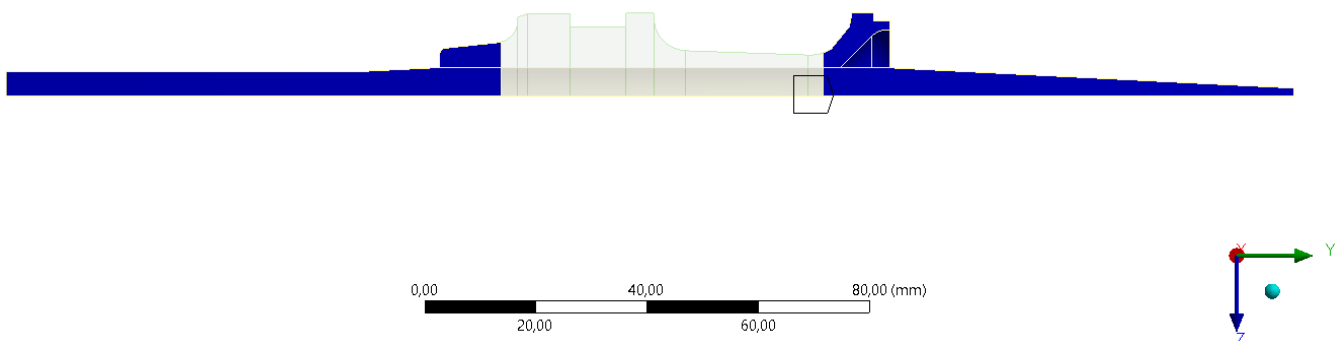


Obr. 9 Vlastnosti kontaktu

Body Interaction 2

23.4.2019 22:50

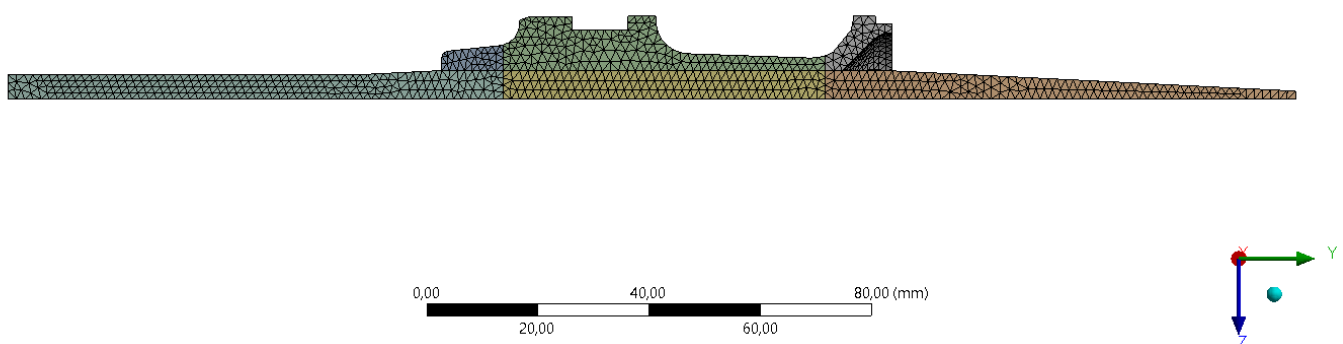
Body Interaction 2



Obr. 10 Definované plochy

2.5. Sít' prvků

2.5.1. Globální sít'



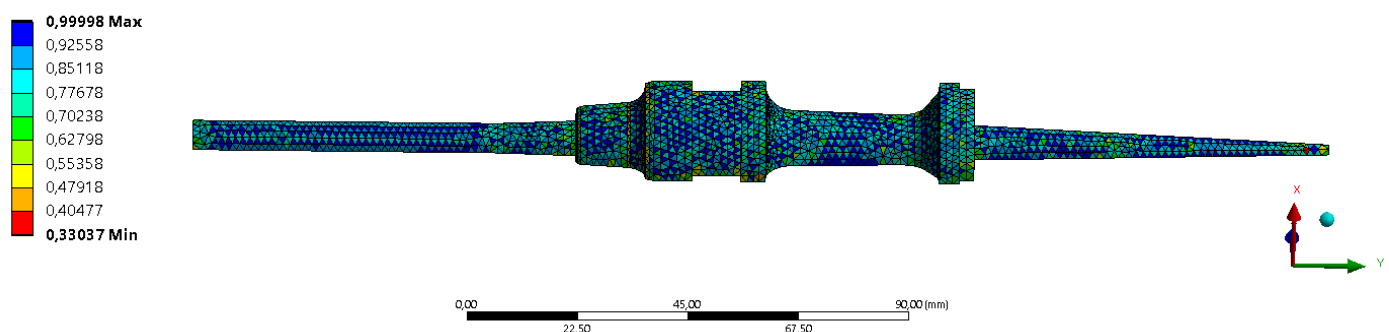
Obr. 11 Pohled na celkově zasítovaný model

Details of "Mesh"	
<input type="checkbox"/>	Display
Display Style	Use Geometry Setting
<input type="checkbox"/>	Defaults
Physics Preference	Explicit
Element Order	Linear
<input type="checkbox"/> Element Size	1,5 mm
<input type="checkbox"/>	Sizing
Use Adaptive Sizing	Yes
Resolution	Default (4)
Mesh Defeaturing	Yes
<input type="checkbox"/> Defeature Size	Default
Transition	Slow
Span Angle Center	Coarse
Initial Size Seed	Assembly
Bounding Box Diagonal	232,46 mm
Average Surface Area	125,81 mm ²
Minimum Edge Length	0,57963 mm
<input checked="" type="checkbox"/>	Quality
<input checked="" type="checkbox"/>	Inflation
<input checked="" type="checkbox"/>	Advanced
<input type="checkbox"/>	Statistics
<input type="checkbox"/> Nodes	5539
<input type="checkbox"/> Elements	23173

Obr. 12 Detailní nastavení sítě

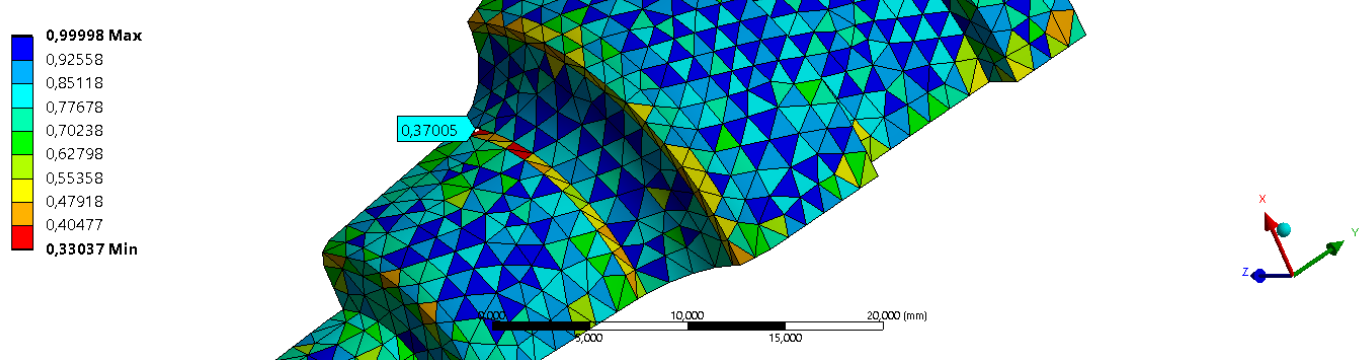
2.5.2. Kvalita sítě

Mesh
Element Quality
23.4.2019 23:03

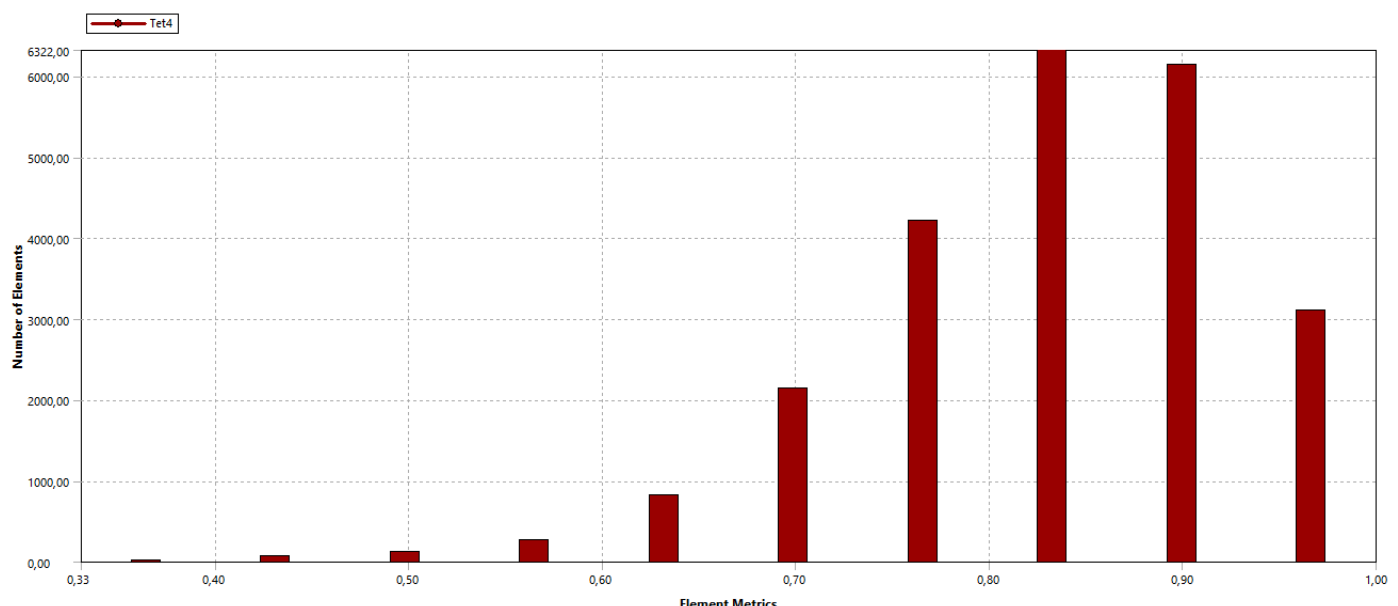


Obr. 13 Kvalita sítě na celkové střele

Mesh
Element Quality
23.4.2019 23:00



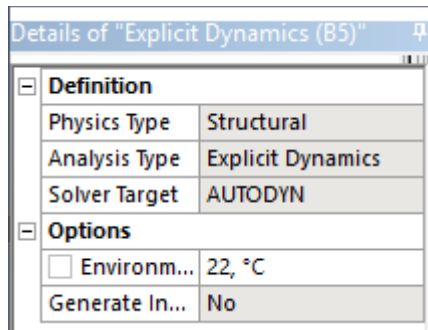
Obr. 14 Kvalita sítě na sabotu (detail)



Obr. 15 Četnost kvality prvků

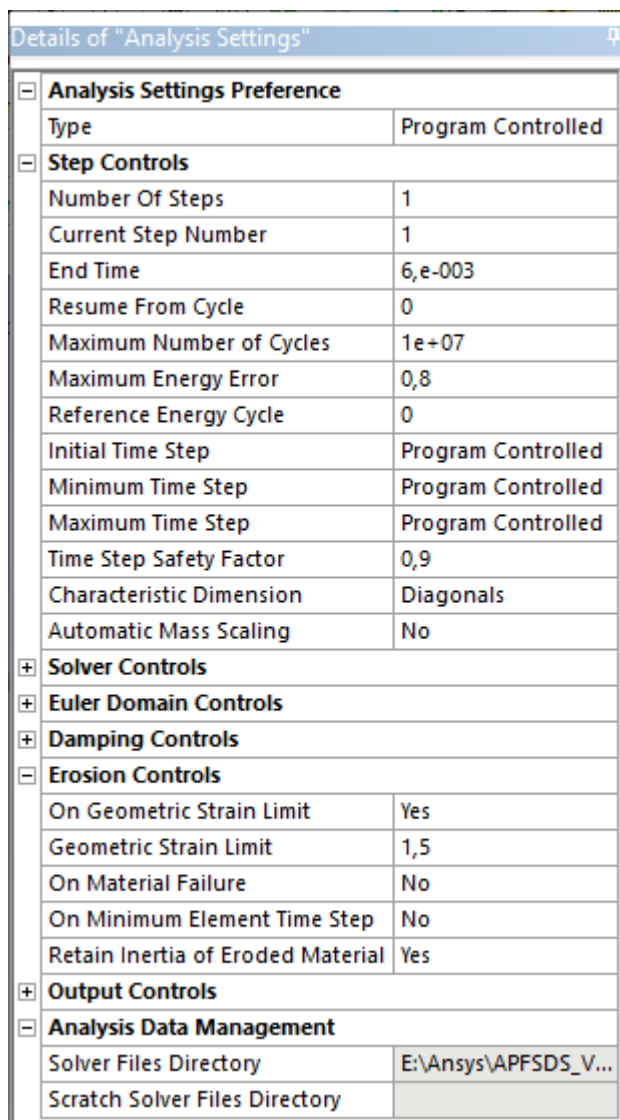
3. Explicitní řešič

3.1. Nastavení řešiče



Obr. 16 Nastavení řešiče, výchozí teplota

3.2. Nastavení analýzy



Obr. 17 Nastavení analýzy, čas, energetická chyba, vyloučení deformovaných prvků

3.3. Zatížení

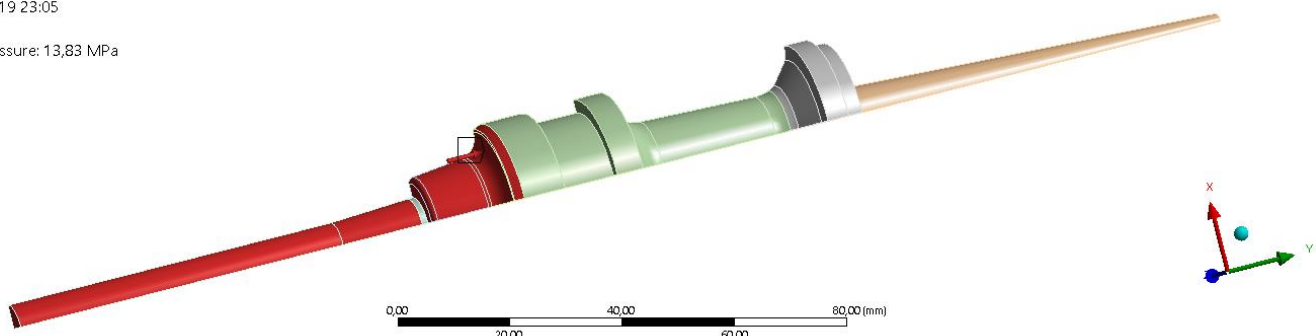
B: Explicit Dynamics

Explicit Dynamics

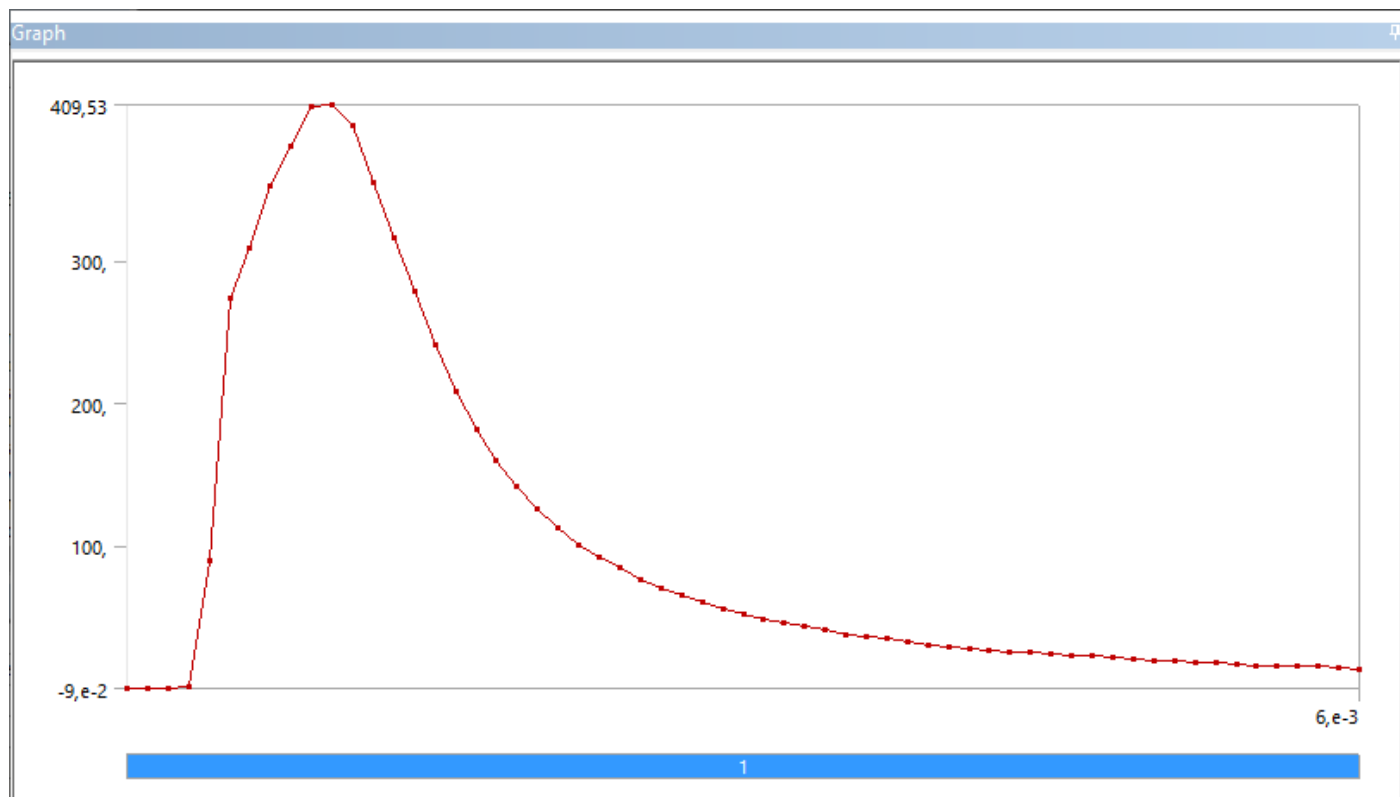
Time: 6.e-003 s

23.4.2019 23:05

Pressure: 13,83 MPa



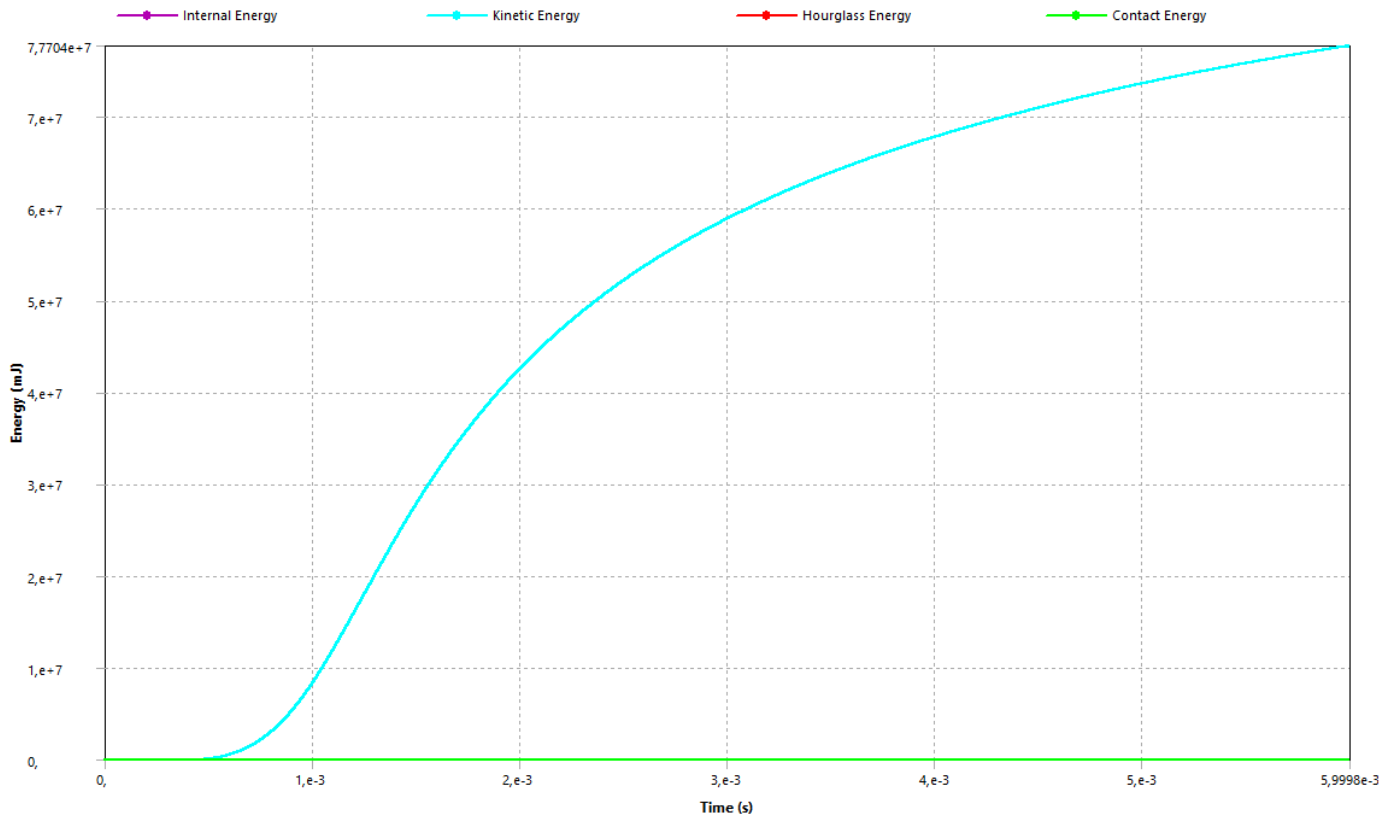
Obr. 18 Hrany zatížené tlakem



Obr. 19 Tlakový průběh

4. Výsledky

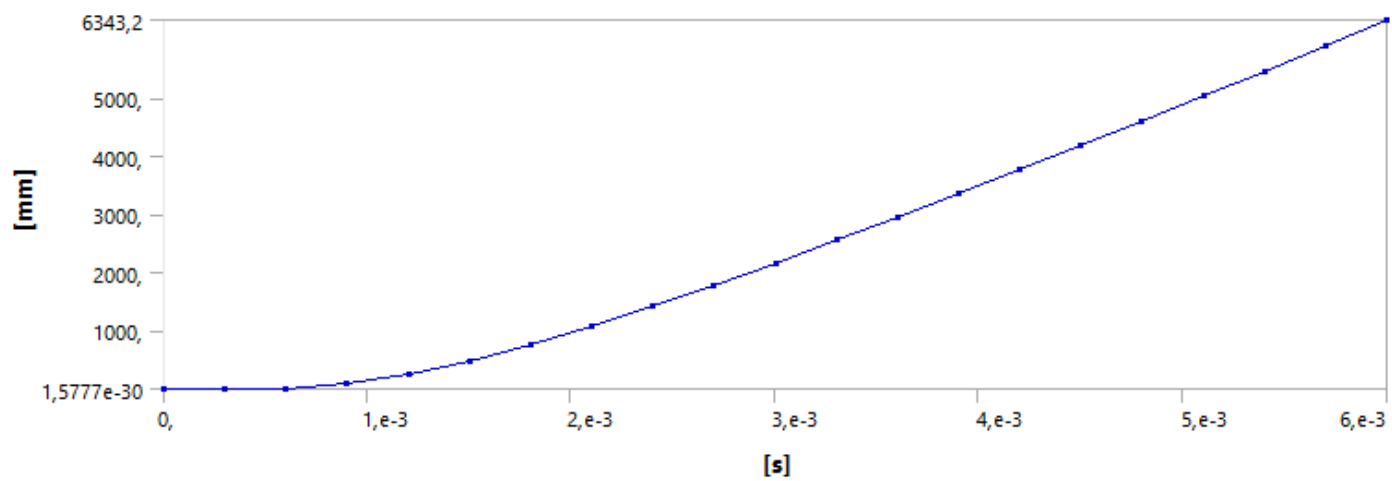
4.1. Souhrn energií



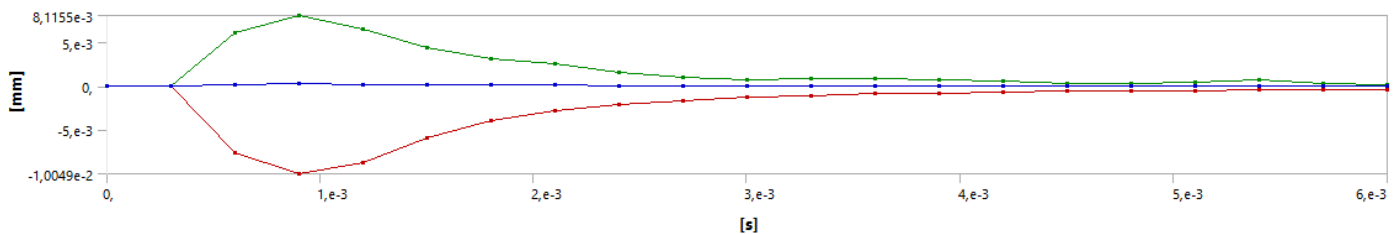
Obr. 20 Kinetická energie (modrá)

4.2. Celkový posuv

Střela za 0,6 ms urazí 6,343 m.



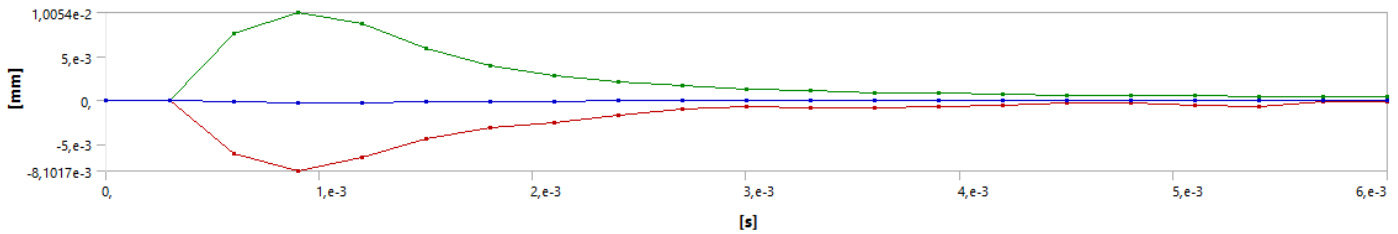
4.3. Posuv v ose X



Obr. 22 Posuv v ose X

4.4. Posuv v ose Z

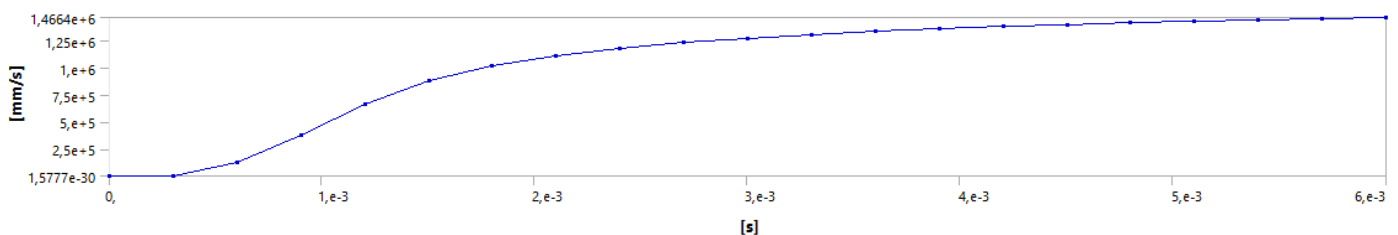
Výsledný posuv v ose X a Z poukazuje na možnost zanedbání vazeb pro dané osy.



Obr. 23 Posuv v ose Z

4.5. Celková rychlosť

Střela dosáhne rychlosti 1464 m/s na ústí hlavně.



Obr. 24 Rychlosť střely v závislosti na čase

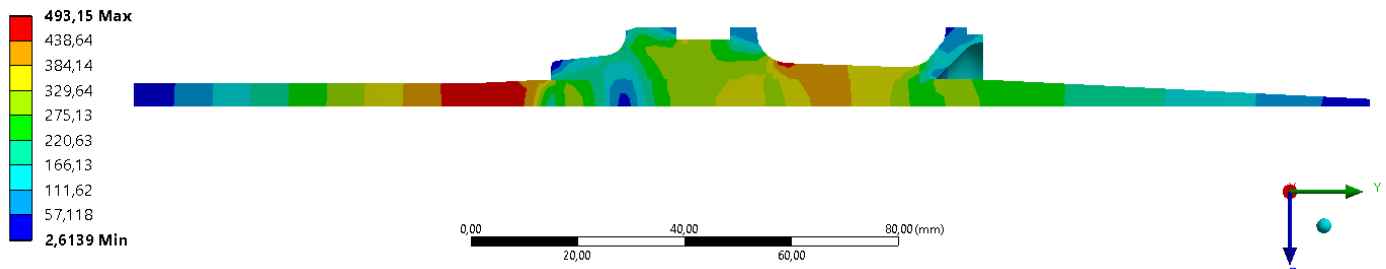
4.6. Napětí von-Mises

4.6.1. Nejvyšší napětí ve střele

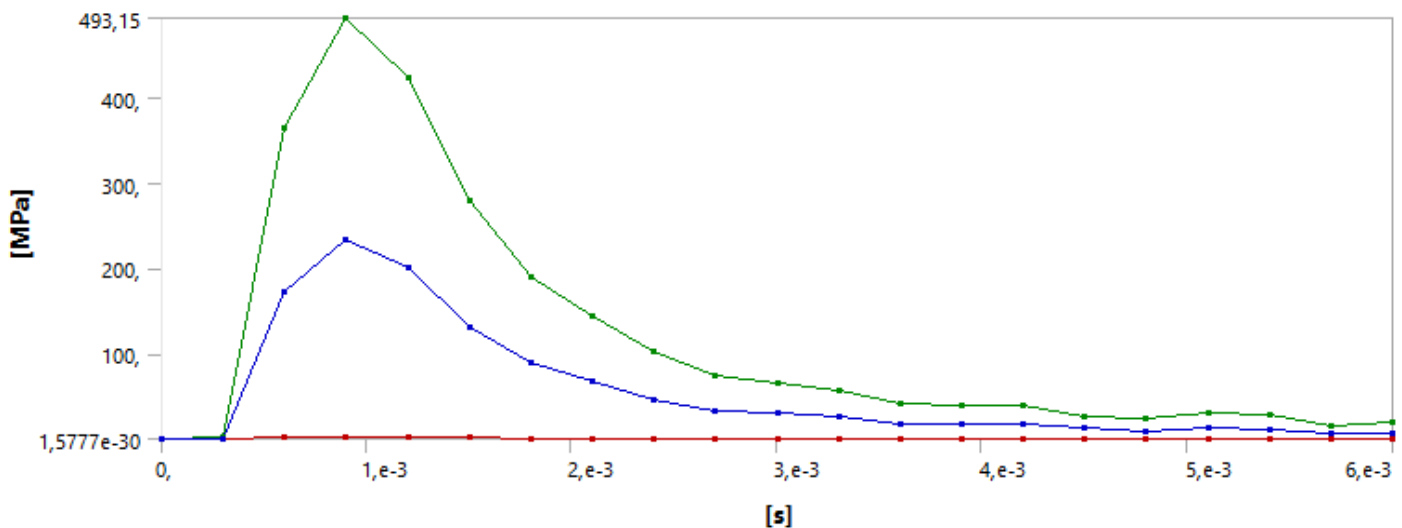
Největší napětí je 493 MPa. Dané napětí se vyskytuje na sabotu i penetrátoru.

B: Explicit Dynamics

Equivalent Stress
Type: Equivalent (von-Mises) Stress
Unit: MPa
Time: 9,00001e-004
Cycle Number: 20842
23.4.2019 23:15



Obr. 25 Celková napjatost střely



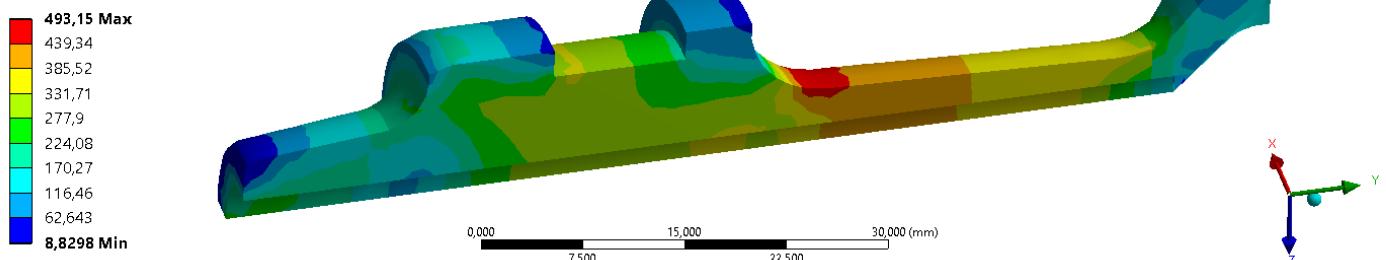
Obr. 26 Průběh napětí v závislosti na čase

4.6.2. Nejvyšší napětí v sabotu

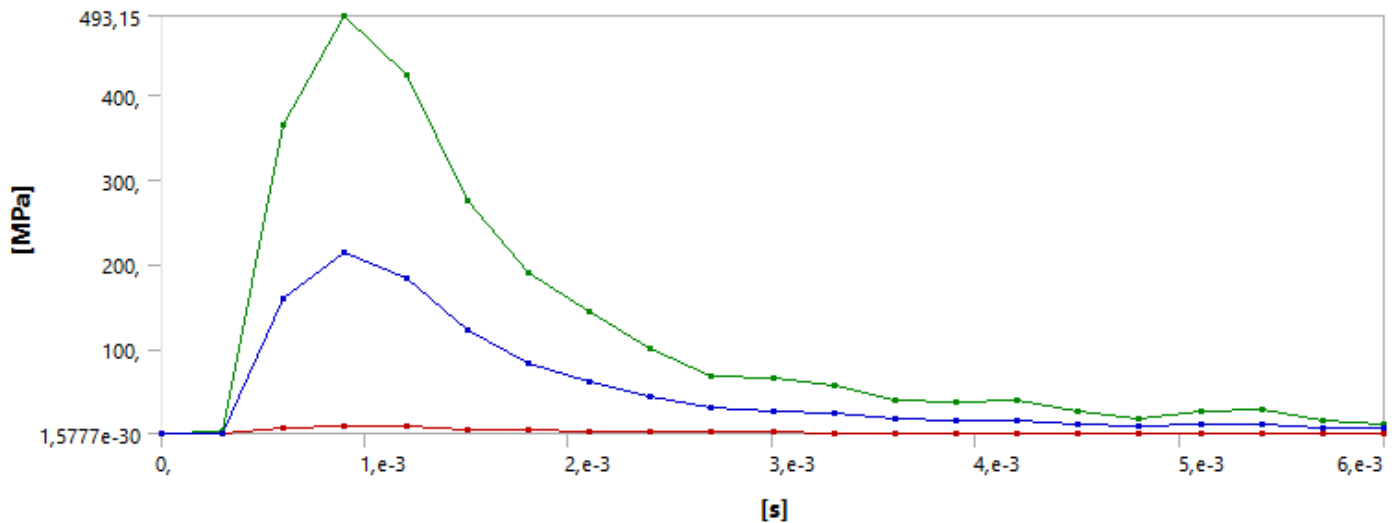
Největší napětí na sabotu je 493 MPa.

B: Explicit Dynamics

Equivalent Stress 2
Type: Equivalent (von-Mises) Stress
Unit: MPa
Time: 9,00001e-004
Cycle Number: 20842
23.4.2019 23:18



Obr. 27 Celková napjatost sabotu

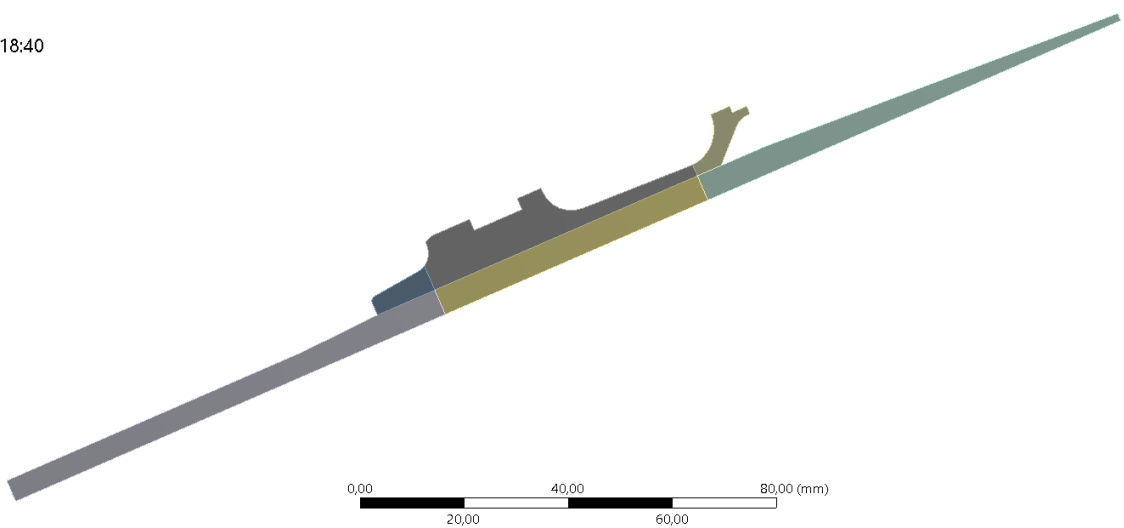


Obr. 28 Průběh napětí v závislosti na čase

VÝPOČTOVÁ ZPRÁVA

Model

1.4.2019 18:40



ÚSTAV
KONSTRUOVÁNÍ

PROJEKT:

Topologicky optimalizovaný sabot

TYP ANALÝZY:

Dynamická analýza, bez tření

DATUM:

1.4.2019

OSTATNÍ:

Příloha 5

POČET STRAN:

14

AUTOR:

Jan Hajda

1. Obsah

2. MODEL.....	2
2.1. GEOMETRIE.....	2
2.1.1. Základní informace	2
2.1.2. Detail nastavení geometrie.....	2
2.2. MATERIÁLOVÉ VLASTNOSTI.....	3
2.2.1. EN AW 7075.....	3
2.2.2. THUG ALLOY.....	4
2.3. SPOJENÍ.....	4
2.3.1. Kontakty.....	4
2.4. SÍŤ PRVKŮ	5
2.4.1. Globální síť.....	5
2.4.2. Kvalita sítě	6
3. EXPLICITNÍ ŘEŠIČ	7
3.1. NASTAVENÍ ŘEŠIČE.....	7
3.2. NASTAVENÍ ANALÝZY	8
3.3. OKRAJOVÉ PODMÍNKY	9
4. VÝSLEDKY.....	10
4.1. SOUHRN ENERGIÍ.....	10
4.2. CELKOVÝ POSUV	10
4.3. POSUVY V OSE X	10
4.4. CELKOVÁ RYCHLOST	11
4.5. NAPĚTÍ VON-MISES	11
4.5.1. Nejvyšší napětí ve střele.....	11
4.5.2. Nejvyšší napětí v sabotu	11
4.6. ELASTICKÉ PŘETVOŘENÍ.....	12
4.7. PLASTICKÉ PŘETVOŘENÍ.....	13
4.7.1. Čas 0,6 ms	13
4.7.2. Čas 0,9 ms	14
4.7.3. Čas 1,5 ms	14

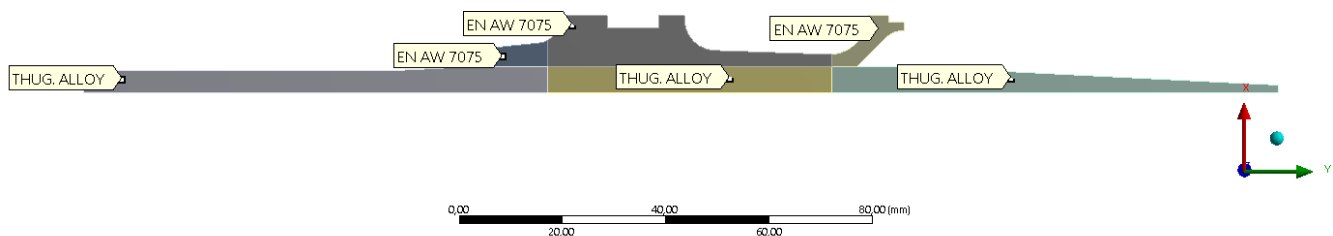
2. Model

2.1. Geometrie

2.1.1. Základní informace

Sabot i penetrátor jsou rozděleny na tři části, které byly spojeny funkcí Shared Topology v modelaři Space Claim. Materiálové vlastnosti společných prvků jsou zachovány.

Geometry
21.5.2019 23:29



Obr. 1 Sestava střely

2.1.2. Detail nastavení geometrie

Details of "Geometry"	
Definition	
Source	E:\Ansys\APFSDS_V1\APF...
Type	SpaceClaim
Length Unit	Meters
2D Behavior	Axisymmetric
Display Style	Body Color

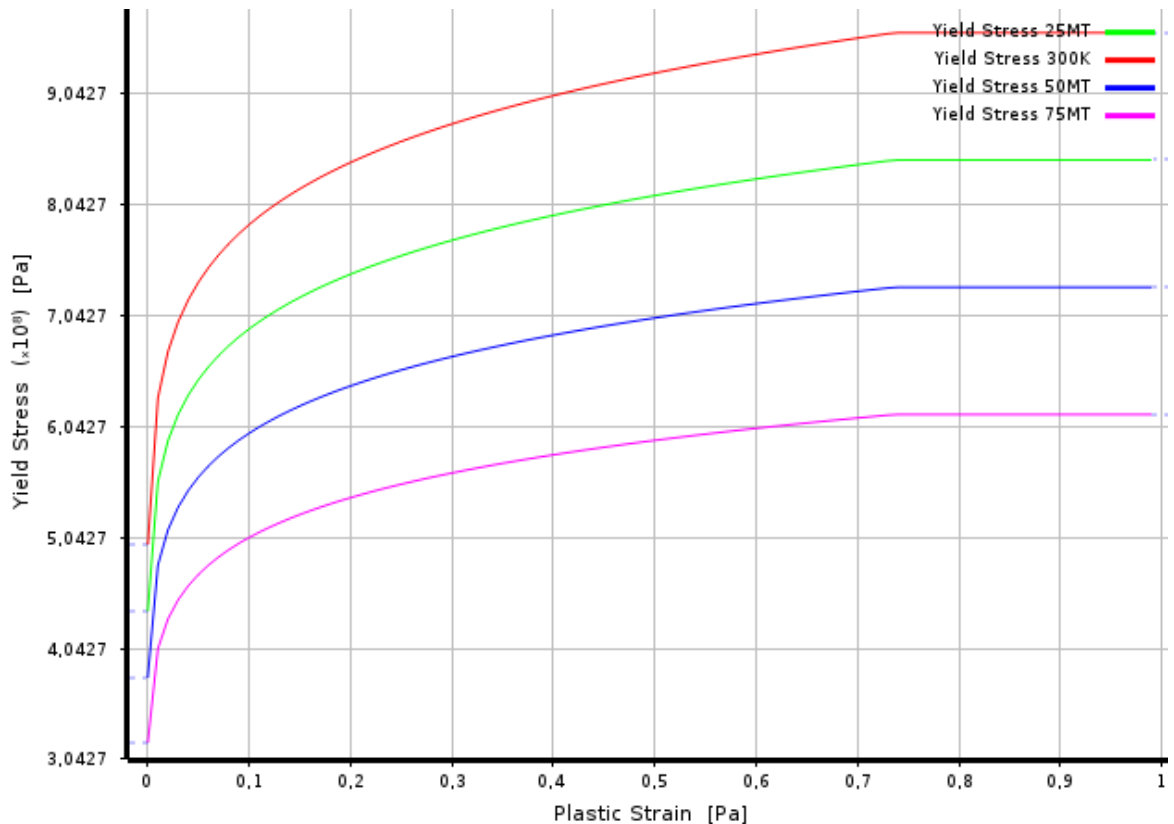
Obr. 2 Detail geometrie

2.2. Materiálové vlastnosti

2.2.1. EN AW 7075

A	B	C
Property	Value	Unit
<input checked="" type="checkbox"/> Material Field Variables	<input checked="" type="checkbox"/> Table	
<input checked="" type="checkbox"/> Density	2804	kg m ⁻³
<input checked="" type="checkbox"/> Specific Heat, C ₀	848	J kg ⁻¹ C ⁻¹
<input checked="" type="checkbox"/> Steinberg Guinan Strength		
Initial Yield Stress Y	420	MPa
Maximum Yield Stress Ymax	810	MPa
Hardening Constant B	965	
Hardening Exponent n	0,1	
Derivative dG/dP G'P	1,741	
Derivative dG/dT GT	-16,45	MPa C ⁻¹
Derivative dy/dP Y'P	0,02738	
Melting Temperature Tmelt	946,85	C
<input checked="" type="checkbox"/> Shear Modulus	26700	MPa
<input checked="" type="checkbox"/> Shock EOS Linear		
Gruneisen Coefficient	2,2	
Parameter C1	5200	m s ⁻¹
Parameter S1	1,36	
Parameter Quadratic S2	0	s m ⁻¹

Obr. 3 Předdefinované materiálové vlastnosti



Obr. 4 Deformační zpevnění dle Steinberg Guinan

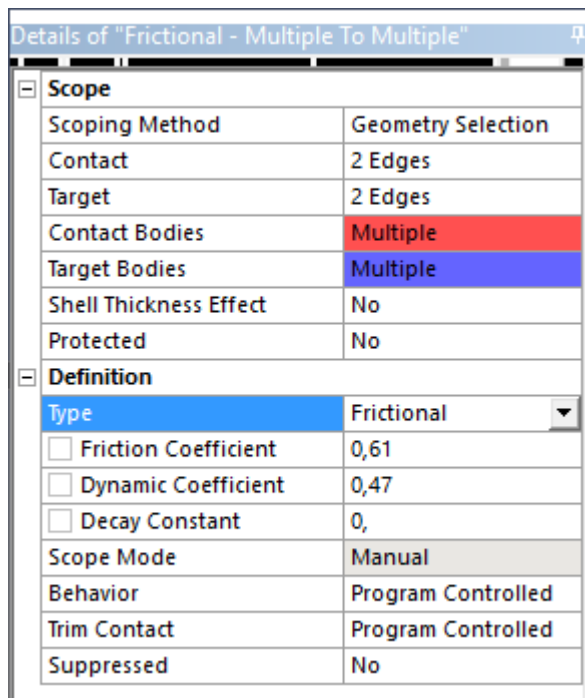
2.2.2. THUG ALLOY

A	B	C
Property	Value	Unit
<input checked="" type="checkbox"/> Material Field Variables	Table	
<input checked="" type="checkbox"/> Density	17000	kg m^-3
<input checked="" type="checkbox"/> Specific Heat, C _s	134	J kg^-1 C^-1
<input checked="" type="checkbox"/> Johnson Cook Strength		
Strain Rate Correction	First-Order	
Initial Yield Stress	1,506E+09	Pa
Hardening Constant	1,77E+08	Pa
Hardening Exponent	0,12	
Strain Rate Constant	0,016	
Thermal Softening Exponent	1	
Melting Temperature	1449,9	C
Reference Strain Rate (/sec)	1	
<input checked="" type="checkbox"/> Shear Modulus	1,6E+11	Pa
<input checked="" type="checkbox"/> Shock EOS Linear		
Gruneisen Coefficient	1,54	
Parameter C1	4029	m s^-1
Parameter S1	1,237	
Parameter Quadratic S2	0	s m^-1

Obr. 5 Předdefinované materiálové vlastnosti

2.3. Spojení

2.3.1. Kontakty



Obr. 6 Součinitel tření pro definované plochy

Frictional - Multiple To Multiple

2.4.2019 17:15

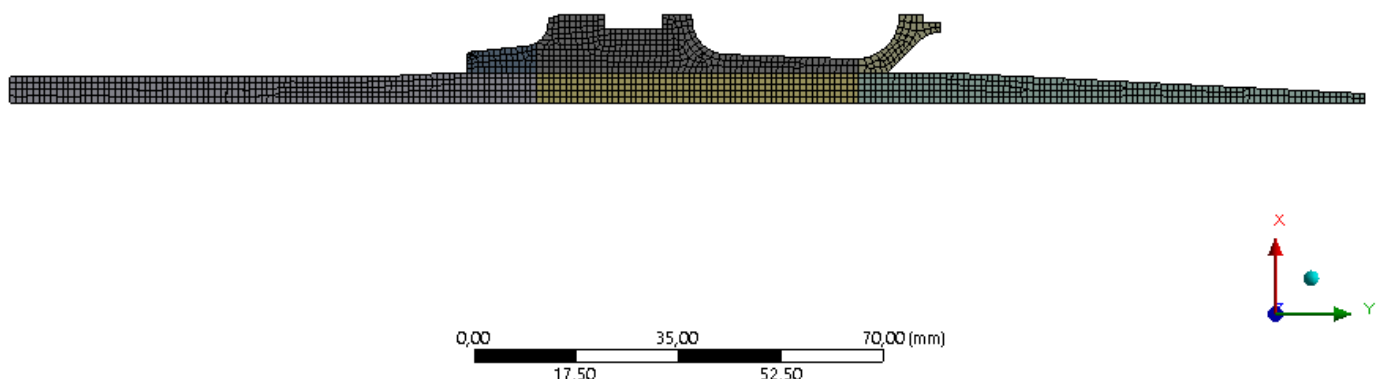
 Frictional - Multiple To Multiple



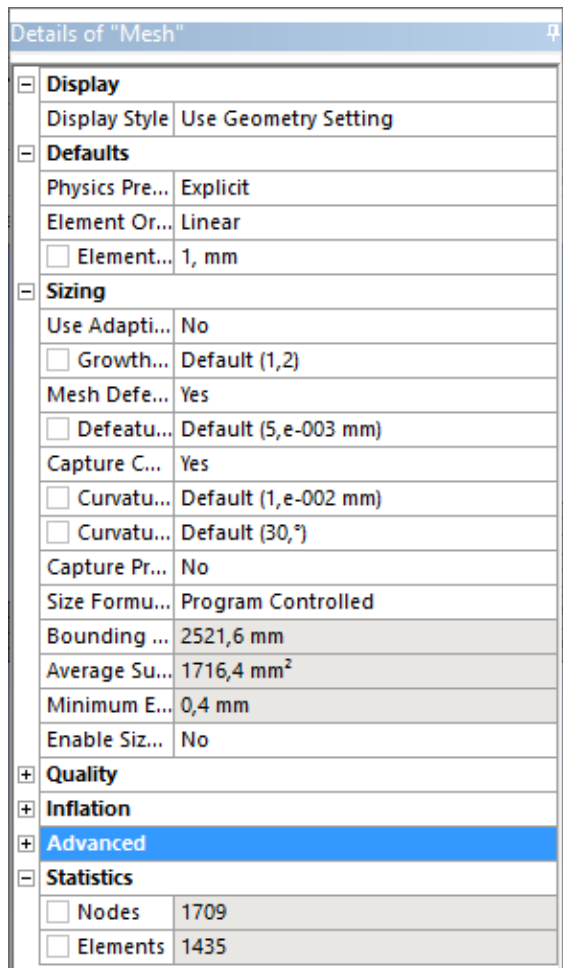
Obr. 7 Definované plochy

2.4. Sít' prvků

2.4.1. Globální síť'



Obr. 8 Pohled na celkově zasíťovaný model



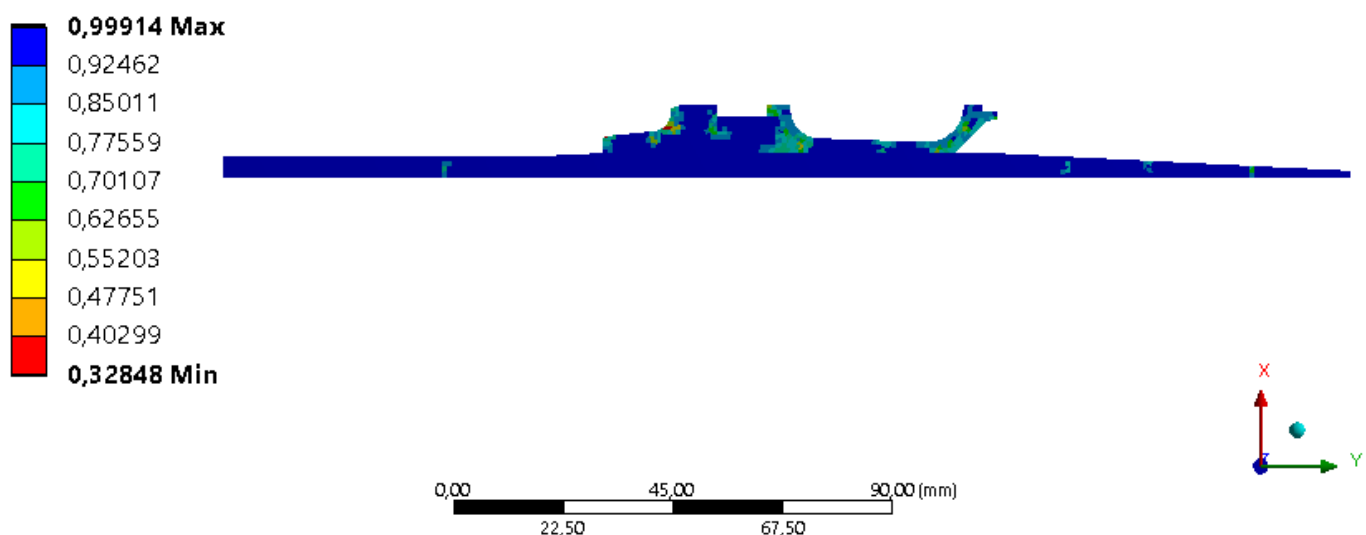
Obr. 9 Detailní nastavení sítě

2.4.2. Kvalita sítě

Mesh

Element Quality

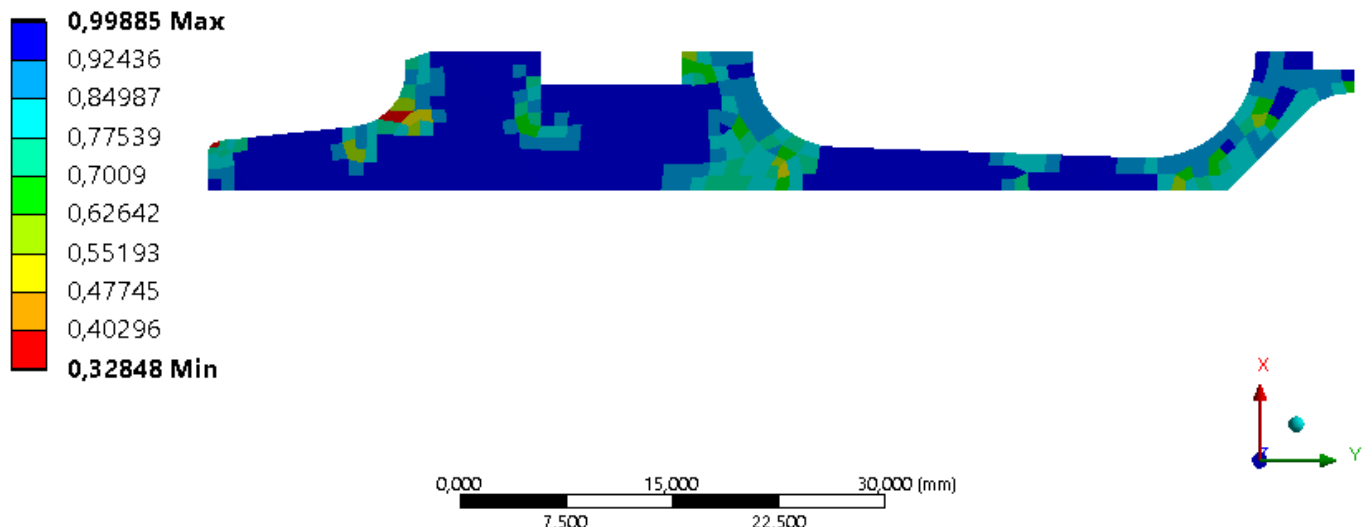
2.4.2019 17:45



Obr. 10 Kvalita sítě na celkové střele

Mesh

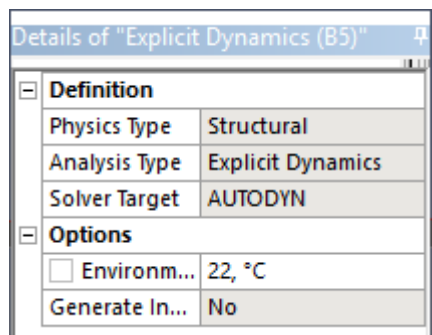
Element Quality
2.4.2019 17:45



Obr. 11 Kvalita sítě na sabotu (detail)

3. Explicitní řešič

3.1. Nastavení řešiče



Obr. 12 Nastavení řešiče, výchozí teplota

3.2. Nastavení analýzy

Details of "Analysis Settings"	
<input checked="" type="checkbox"/>	Analysis Settings Preference
Type	Program Controlled
<input checked="" type="checkbox"/>	Step Controls
Number Of Steps	1
Current Step Number	1
End Time	6,e-003
Resume From Cycle	0
Maximum Number of Cycles	1e+07
Maximum Energy Error	0,8
Reference Energy Cycle	0
Initial Time Step	Program Controlled
Minimum Time Step	Program Controlled
Maximum Time Step	Program Controlled
Time Step Safety Factor	0,9
Characteristic Dimension	Diagonals
Automatic Mass Scaling	No
<input checked="" type="checkbox"/>	Solver Controls
<input checked="" type="checkbox"/>	Euler Domain Controls
<input checked="" type="checkbox"/>	Damping Controls
<input checked="" type="checkbox"/>	Erosion Controls
On Geometric Strain Limit	Yes
Geometric Strain Limit	1,5
On Material Failure	No
On Minimum Element Time Step	No
Retain Inertia of Eroded Material	Yes
<input checked="" type="checkbox"/>	Output Controls
<input checked="" type="checkbox"/>	Analysis Data Management
Solver Files Directory	E:\Ansys\APFSDS_V...
Scratch Solver Files Directory	

Obr. 13 Nastavení analýzy, čas, energetická chyba, vyloučení deformovaných prvků

3.3. Okrajové podmínky

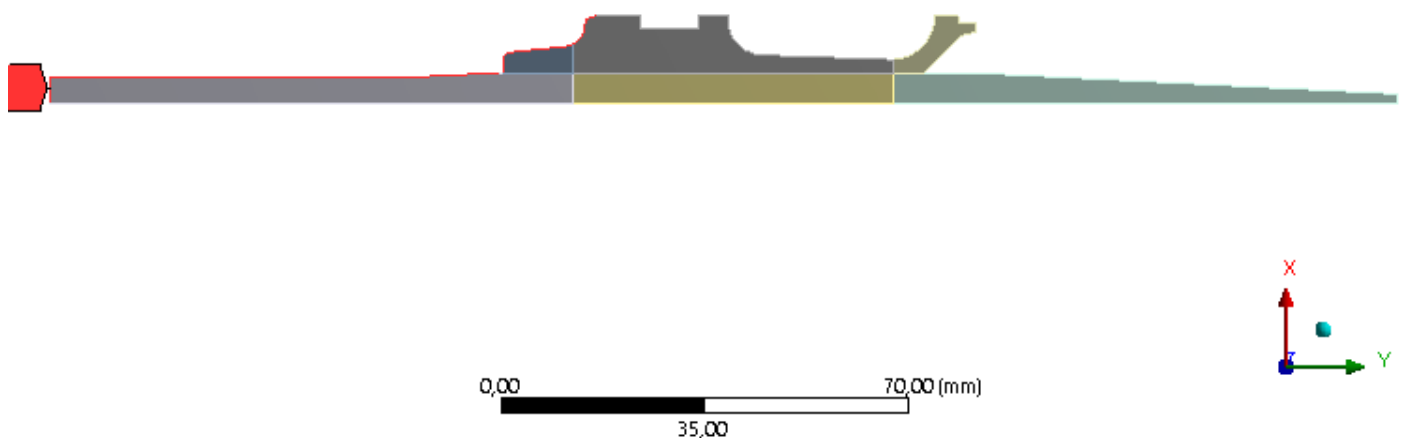
B: Střela, tlakový průběh, bez odporu

Pressure

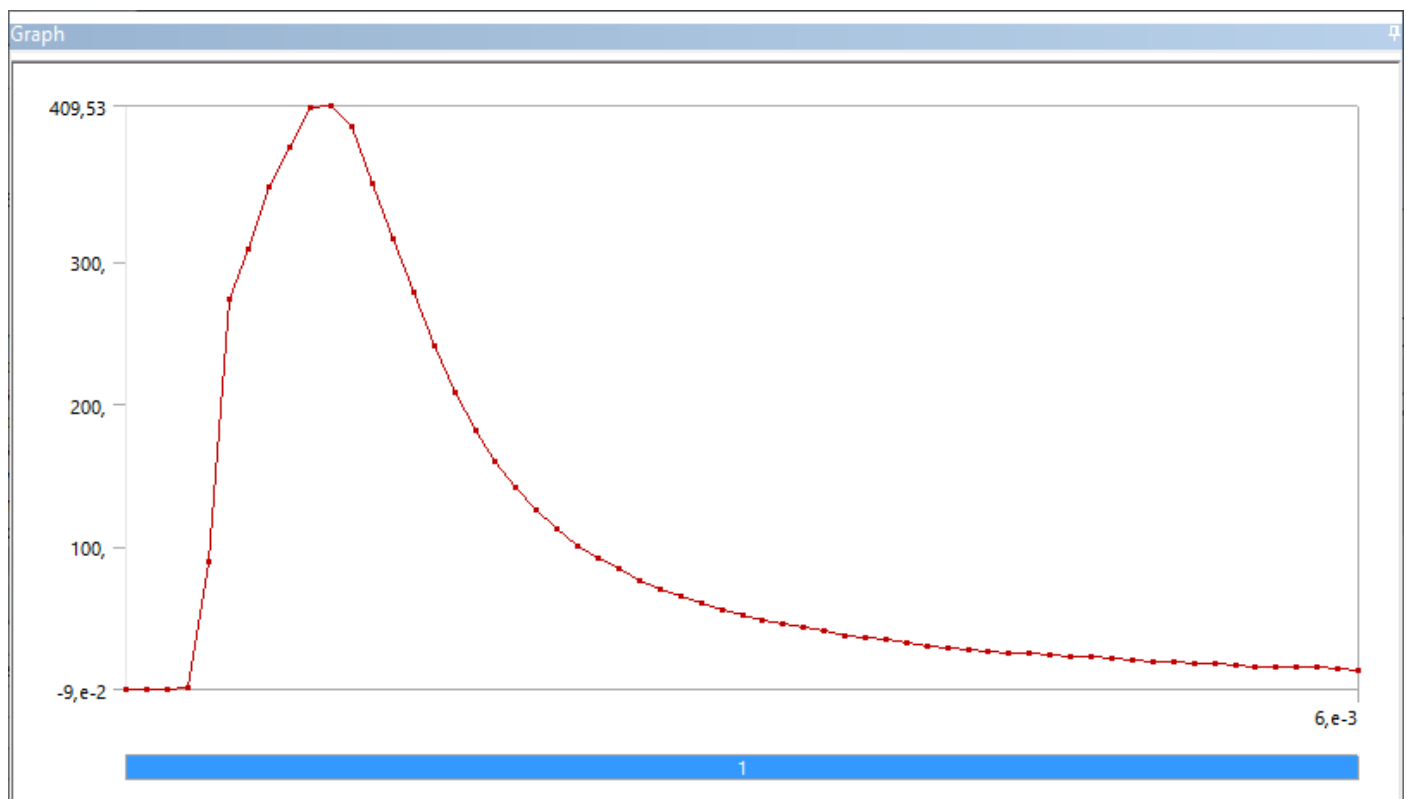
Time: 6,e-003 s

3.4.2019 0:09

Pressure: 13,83 MPa



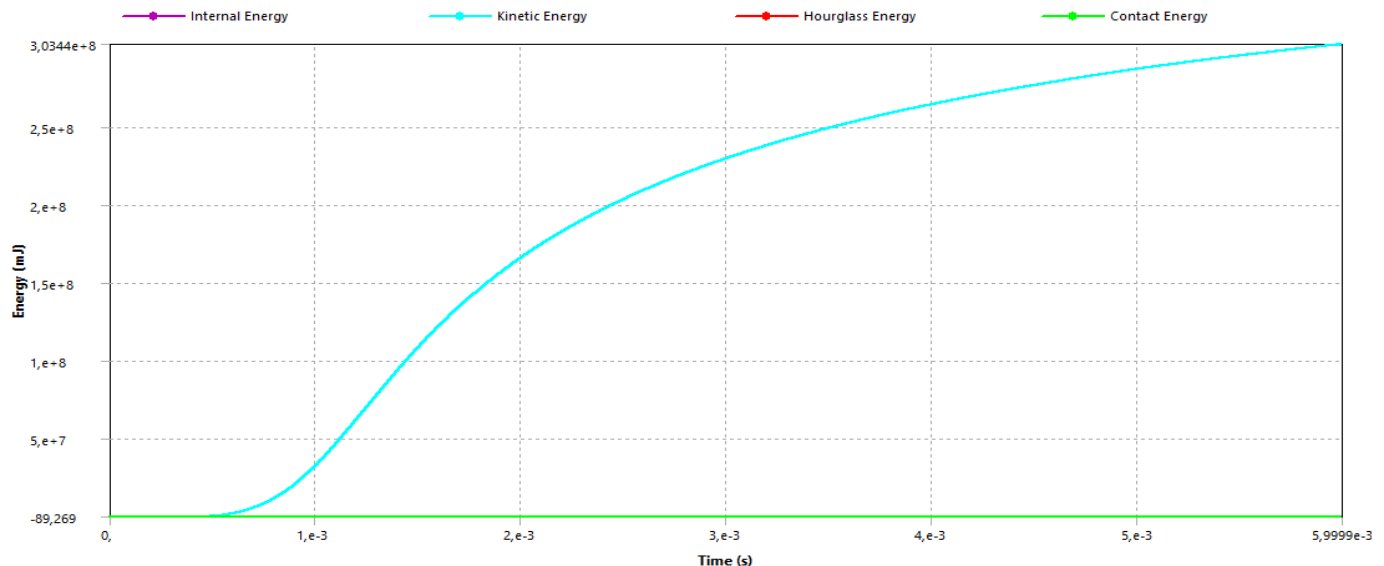
Obr. 14 Hrany zatížené tlakem



Obr. 15 Tlakový průběh

4. Výsledky

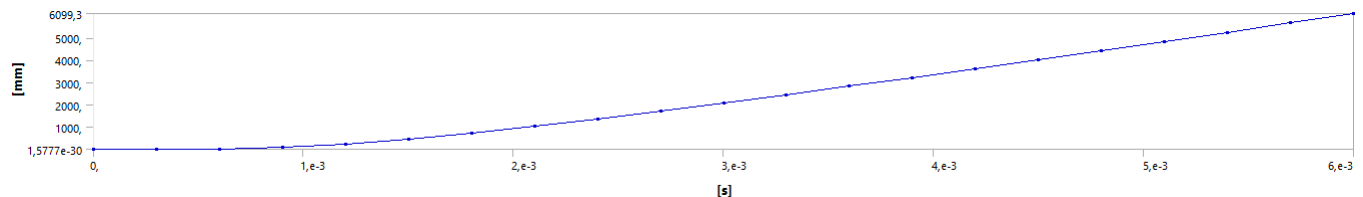
4.1. Souhrn energií



Obr. 16 Kinetická energie (modrá)

4.2. Celkový posuv

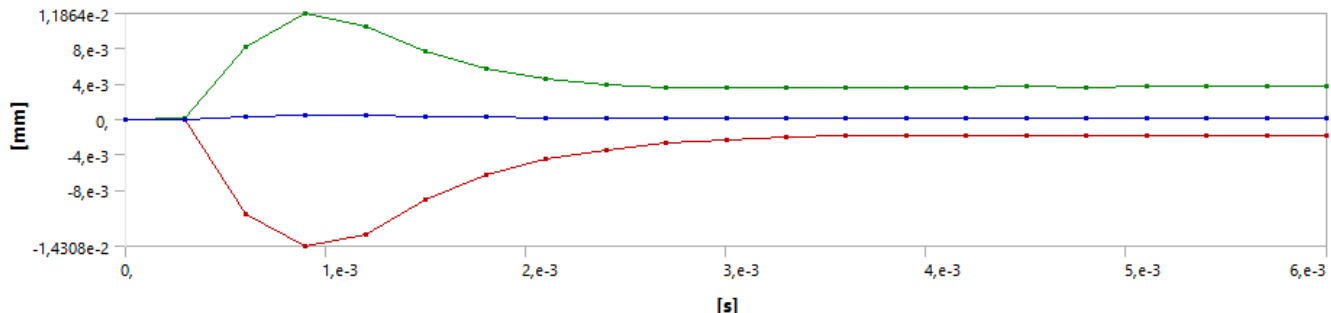
Střela za 0,6 ms urazí 6,099 m



Obr. 17 Posuv střely

4.3. Posuvy v ose X

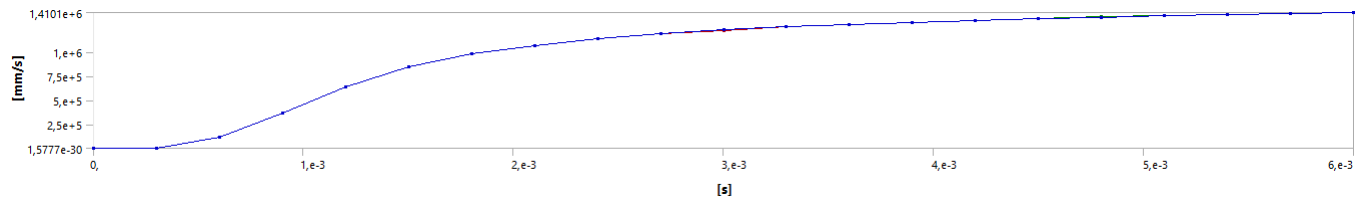
Výsledky poukazují na velmi malé vychýlení střely i bez použití vazby zamezující posuv v této ose.



Obr. 18 Posuv střely v ose X

4.4. Celková rychlosť

Střela dosáhne rychlosti 1410 m/s na ústí hlavně.

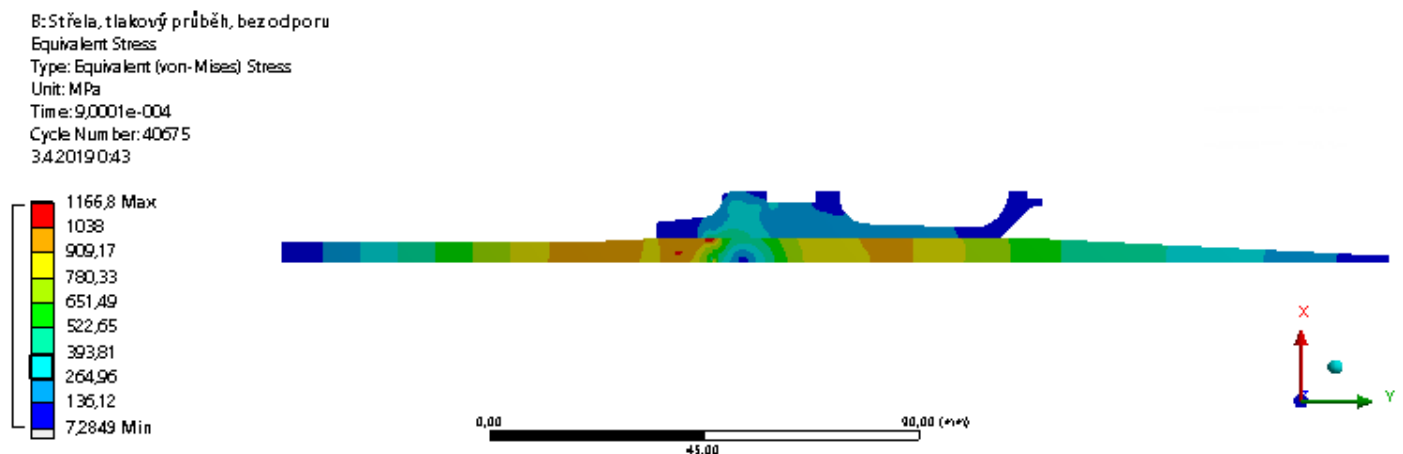


Obr. 19 Rychlosť strelby v závislosti na čase

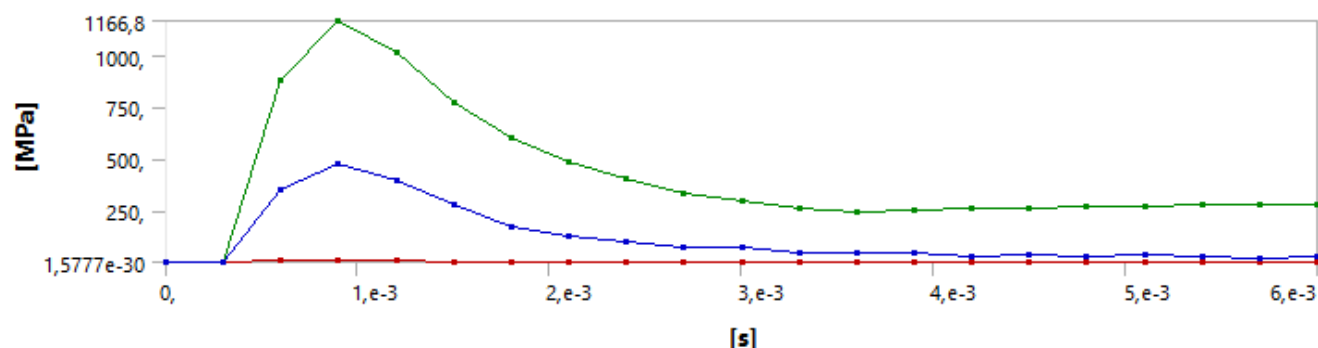
4.5. Napětí von-Mises

4.5.1. Nejvyšší napětí ve střele

Nejvyšší napětí je 1166 MPa, vyskytuje se v penetrátoru.



Obr. 20 Celková napjatost strelby



Obr. 21 Průběh napětí v závislosti na čase

4.5.2. Nejvyšší napětí v sabotu

Největší napjatost sabotu je 557 MPa v místě začátku tuhého spojení s penetrátorem.

B: Střela, tlakový průběh, bezodporu

Equivalent Stress 2

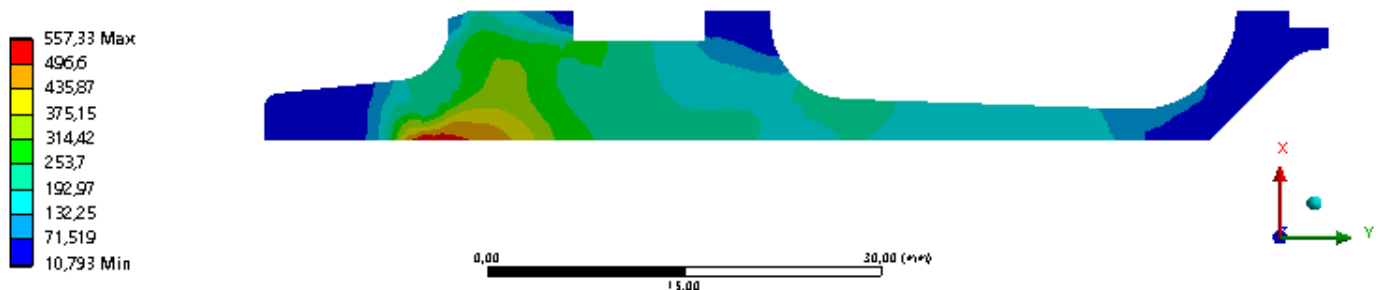
Type: Equivalent (von-Mises) Stress

Unit: MPa

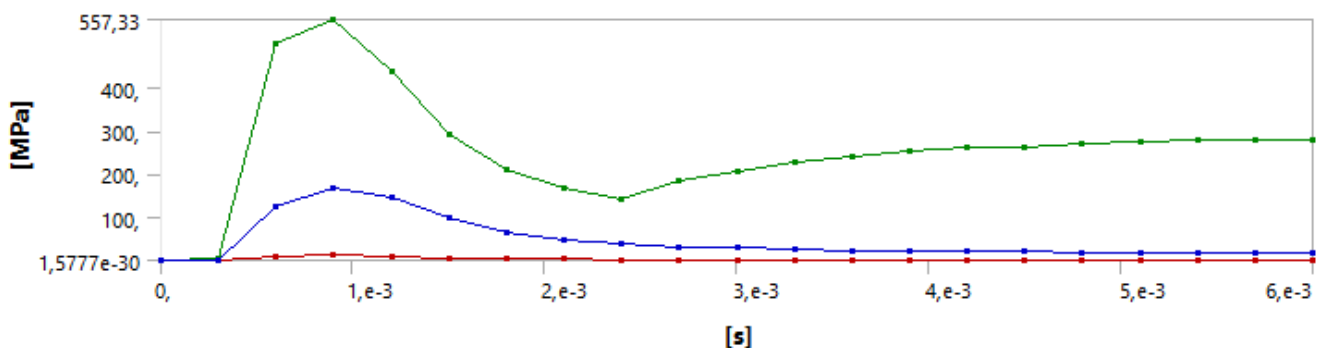
Time: 9,0001e-004

Cycle Number: 40675

3.4.2019 0:44



Obr. 22 Celková napjatost sabotu



Obr. 23 Průběh napětí v závislosti na čase

4.6. Elastické přetvoření

Největší přetvoření se vyskytuje v sabotu, v místě nejvyšší napjatosti.

B: Střela, tlakový průběh, bezodporu

Maximum Principal Elastic Strain

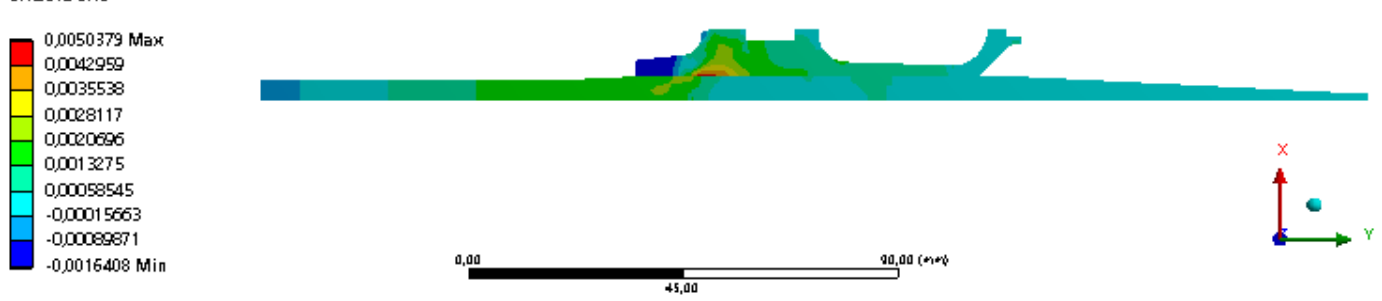
Type: Maximum Principal Elastic Strain

Unit: mm/mm

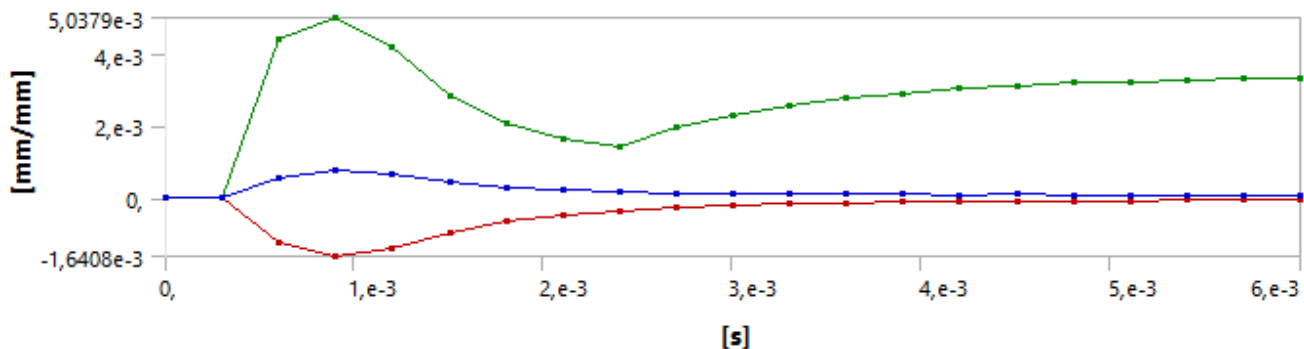
Time: 9,0001e-004

Cycle Number: 40675

3.4.2019 0:43



Obr. 24 Elastické přetvoření



Obr. 25 Průběh elastického přetvoření

4.7. Plasticke přetvoření

Na následujících snímcích je patrný růst plastickeho přetvoření sabotu v závislosti na čase.

4.7.1. Čas 0,6 ms

B: Střela, tlakový průběh, bez odporu

Equivalent Plastic Strain

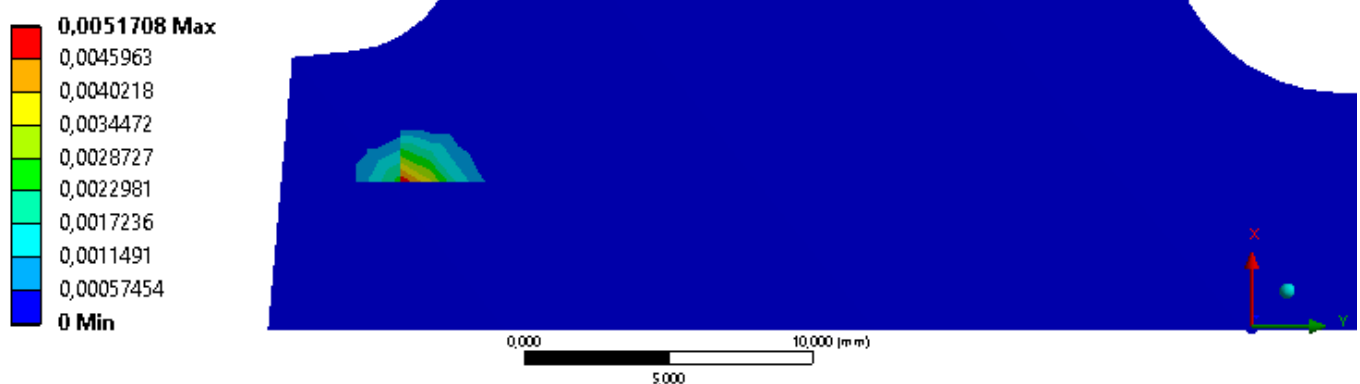
Type: Equivalent Plastic Strain

Unit: mm/mm

Time: 6,0002e-004

Cycle Number: 27049

3.4.2019 0:41



Obr. 26 Plasticita v čase 0,6 ms

4.7.2. Čas 0,9 ms

B: Střela, tlakový průběh, bez odporu

Equivalent Plastic Strain

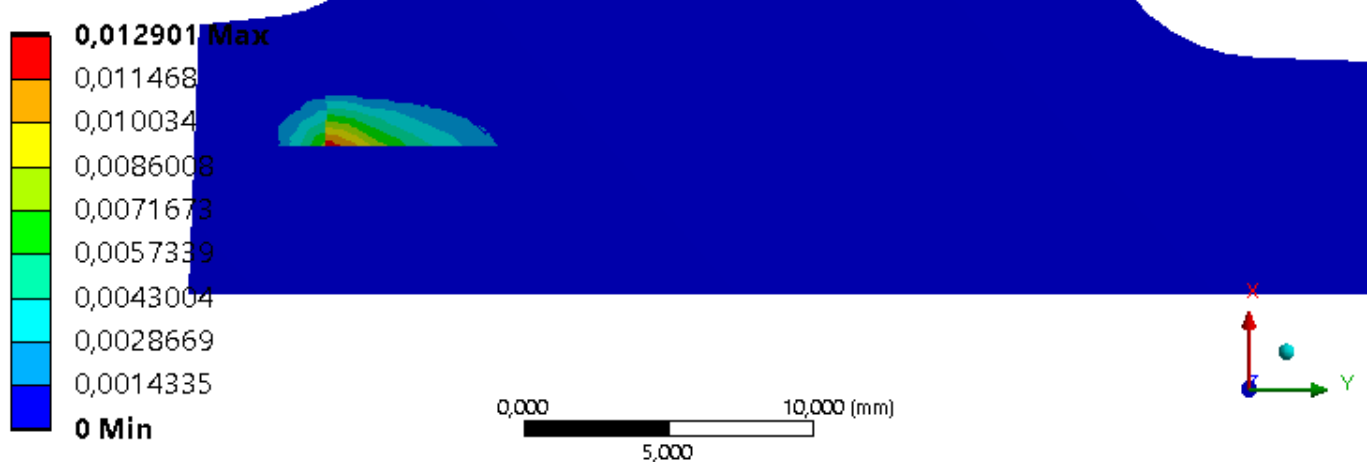
Type: Equivalent Plastic Strain

Unit: mm/mm

Time: 9,0001e-004

Cycle Number: 40675

3.4.2019 0:41



Obr. 27 Plasticita v čase 0,9 ms

4.7.3. Čas 1,5 ms

B: Střela, tlakový průběh, bez odporu

Equivalent Plastic Strain

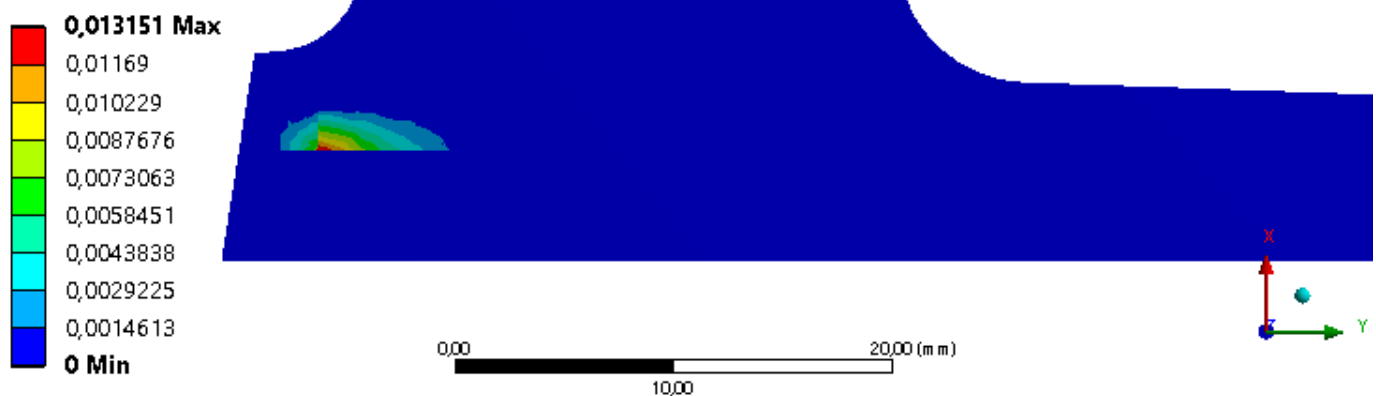
Type: Equivalent Plastic Strain

Unit: mm/mm

Time: 1,5e-003

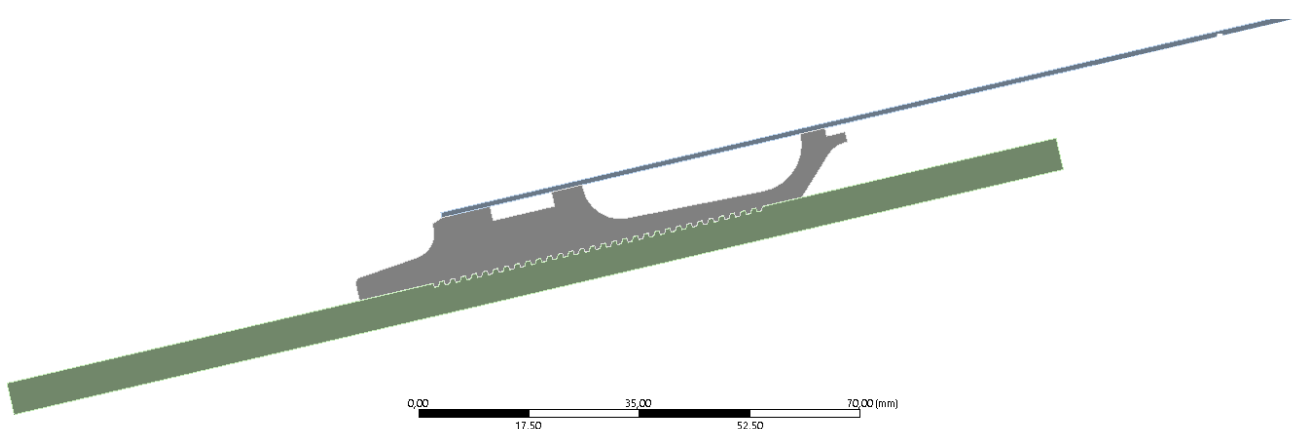
Cycle Number: 67915

3.4.2019 0:42



Obr. 28 Plasticita v čase 1,5 ms

VÝPOČTOVÁ ZPRÁVA



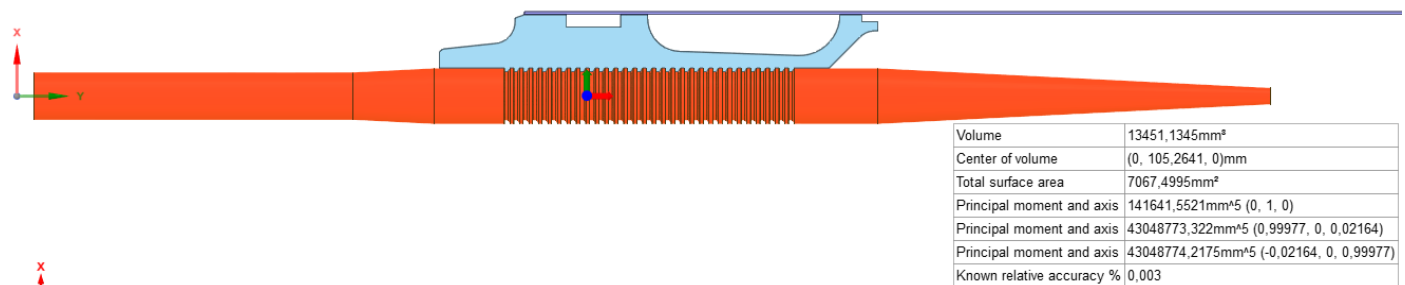
 ÚSTAV KONSTRUOVÁNÍ	PROJEKT: Topologicky optimalizovaný sabot TYP ANALÝZY: Dynamická analýza, se třením
DATUM: 22.5.2019	OSTATNÍ: Příloha 6
POČET STRAN: 17	AUTOR: Jan Hajda

1. Obsah

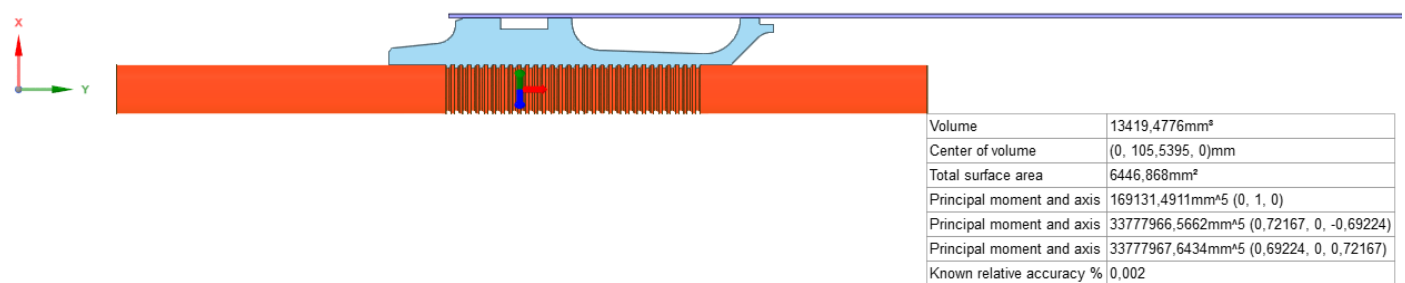
2. MODEL.....	2
2.1. ÚPRAVA PENETRÁTORU	2
2.2. GEOMETRIE.....	2
2.2.1. Základní informace	2
2.2.2. Detail nastavení geometrie.....	3
2.3. MATERIÁLOVÉ VLASTNOSTI.....	3
2.3.1. EN AW 7075.....	3
2.3.2. THUG ALLOY.....	4
2.1.1. STEEL V250.....	5
2.2. SPOJENÍ.....	5
2.2.1. Kontakty.....	6
2.3. SÍŤ PRVKŮ	6
2.3.1. Globální síť.....	6
2.3.2. Kvalita sítě	7
3. EXPLICITNÍ ŘEŠIČ	9
3.1. NASTAVENÍ ŘEŠIČE.....	9
3.2. NASTAVENÍ ANALÝZY	10
3.3. OKRAJOVÉ PODMÍNKY	11
3.3.1 Tlakové působení výmetné náplně	11
3.3.2 Odpor vzduchu	12
3.3.3 Zafixování hlavně	12
3.3.4 Gravitační konstanta.....	13
4. VÝSLEDKY.....	13
4.1. SOUHRN ENERGIÍ.....	13
4.2. POSUV STŘELY	13
4.3. POSUV STŘELY V OSE X	14
4.4. RYCHLOST STŘELY	14
4.5. NAPĚTÍ VON-MISES	14
4.5.1. Nejvyšší napětí ve střele.....	14
4.5.2. Nejvyšší napětí v sabotu	15
4.6. ELASTICKÉ PŘETVOŘENÍ.....	16
4.7. PLASTICKÉ PŘETVOŘENÍ.....	16
4.7.1. Čas 0,6 ms	16
4.7.2. Čas 0,9 ms	17

2. Model

2.1. Úprava penetrátoru



Obr. 1 Původní geometrie střely

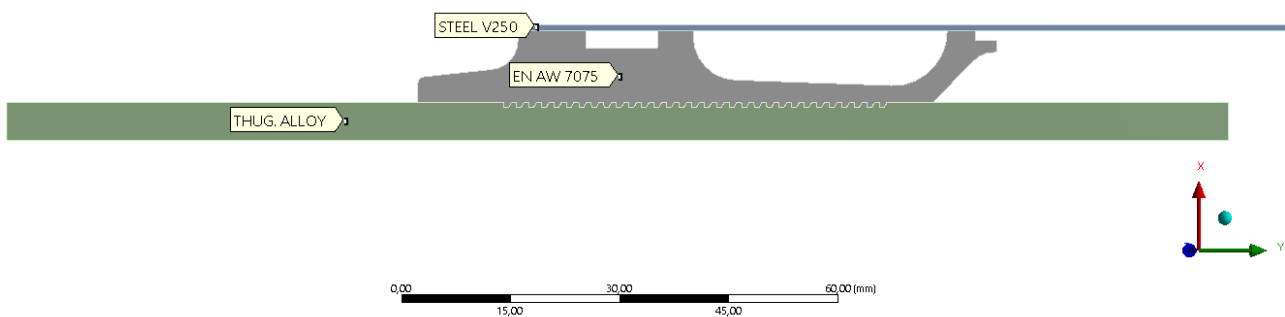


Obr. 2 Nová geometrie střely

2.2. Geometrie

2.2.1. Základní informace

Geometry
22.5.2019 8:41



Obr. 3 Sestava střely

2.2.2. Detail nastavení geometrie

Details of "Geometry"	
Definition	
Source	E:\Ansys\APFSDS_V4\APFSDS_V4.2_files\...
Type	SpaceClaim
Length Unit	Meters
2D Behavior	Axisymmetric
Display Style	Body Color

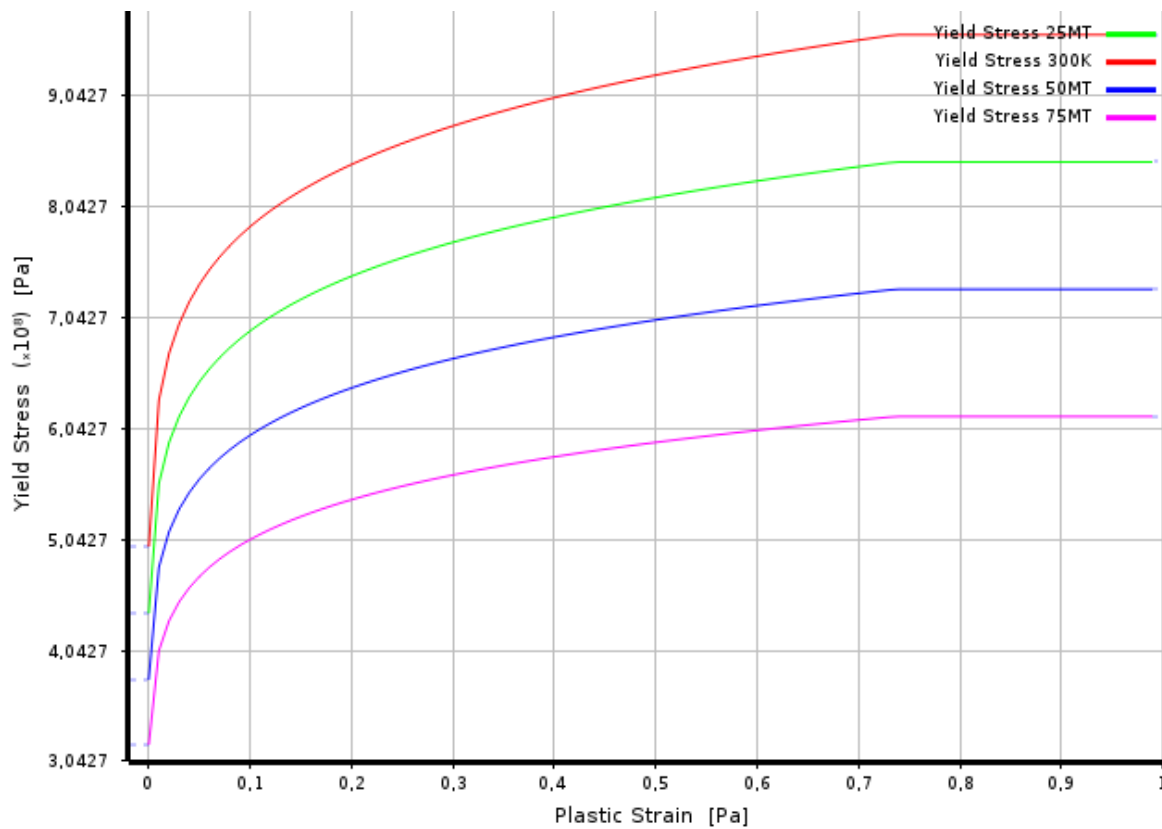
Obr. 4 Detail geometrie

2.3. Materiálové vlastnosti

2.3.1. EN AW 7075

A	B	C
Property	Value	Unit
Material Field Variables	Table	
Density	2804	kg m^-3
Specific Heat, C _s	848	J kg^-1 C^-1
Steinberg Guinan Strength		
Initial Yield Stress Y	420	MPa
Maximum Yield Stress Ymax	810	MPa
Hardening Constant B	965	
Hardening Exponent n	0,1	
Derivative dG/dP G'P	1,741	
Derivative dG/dT G'T	-16,45	MPa C^-1
Derivative dY/dP Y'P	0,02738	
Melting Temperature Tmelt	946,85	C
Shear Modulus	26700	MPa
Shock EOS Linear		
Gruneisen Coefficient	2,2	
Parameter C1	5200	m s^-1
Parameter S1	1,36	
Parameter Quadratic S2	0	s m^-1

Obr. 5 Předdefinované materiálové vlastnosti



Obr. 6 Deformační zpevnění dle Steinberg Guinan

2.3.2. THUG ALLOY

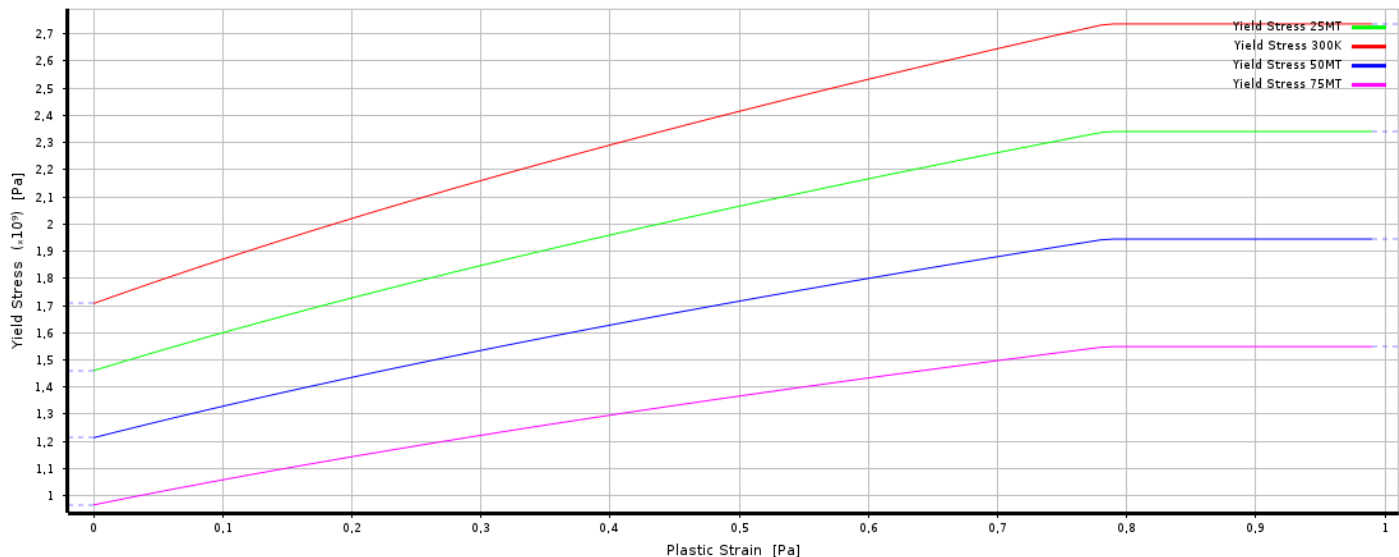
A	B	C
Property	Value	Unit
<input checked="" type="checkbox"/> Material Field Variables	<input type="button" value="Table"/>	
<input checked="" type="checkbox"/> Density	17000	kg m^-3
<input checked="" type="checkbox"/> Specific Heat, C _s	134	J kg^-1 C^-1
<input checked="" type="checkbox"/> Johnson Cook Strength		
Strain Rate Correction	First-Order	
Initial Yield Stress	1,506E+09	Pa
Hardening Constant	1,77E+08	Pa
Hardening Exponent	0,12	
Strain Rate Constant	0,016	
Thermal Softening Exponent	1	
Melting Temperature	1449,9	C
Reference Strain Rate (/sec)	1	
<input checked="" type="checkbox"/> Shear Modulus	1,6E+11	Pa
<input checked="" type="checkbox"/> Shock EOS Linear		
Gruneisen Coefficient	1,54	
Parameter C1	4029	m s^-1
Parameter S1	1,237	
Parameter Quadratic S2	0	s m^-1

Obr. 7 Předdefinované materiálové vlastnosti

2.1.1. STEEL V250

A	B	C
Property	Value	Unit
Material Field Variables	Table	
Density	8129	kg m ⁻³
Specific Heat, C _p	408	J kg ⁻¹ C ⁻¹
Steinberg Guinan Strength		
Shear Modulus	7,18E+10	Pa
Shock EOS Linear		
Gruneisen Coefficient	1,6	
Parameter C1	3980	m s ⁻¹
Parameter S1	1,58	
Parameter Quadratic S2	0	s m ⁻¹

Obr. 8 Předdefinované materiálové vlastnosti

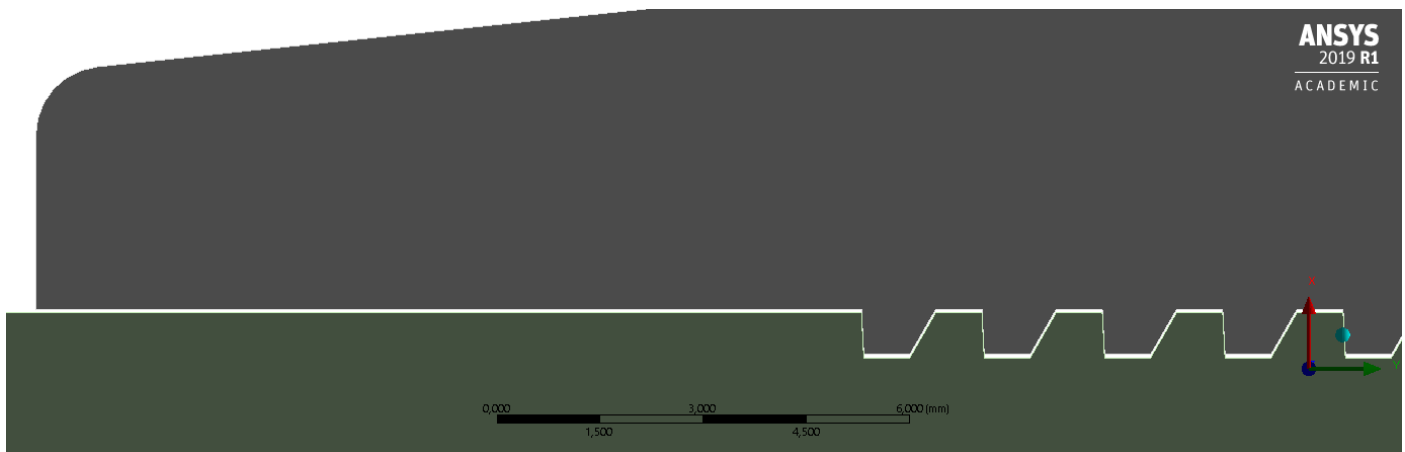


Obr. 9 Deformační zpevnění dle Steinberg Guinan

2.2. Spojení

Odsazení součástí umožnilo použít funkci Body Interaction. Tato funkce usnadnila výběr třecích ploch (výběr byl proveden automaticky).

- Vůle mezi hlavní a sabotem = 0,02 mm
- Vůle mezi penetrátorem a sabotem = 0,05 mm



Obr. 10 Vůle mezi součástmi

2.2.1. Kontakty

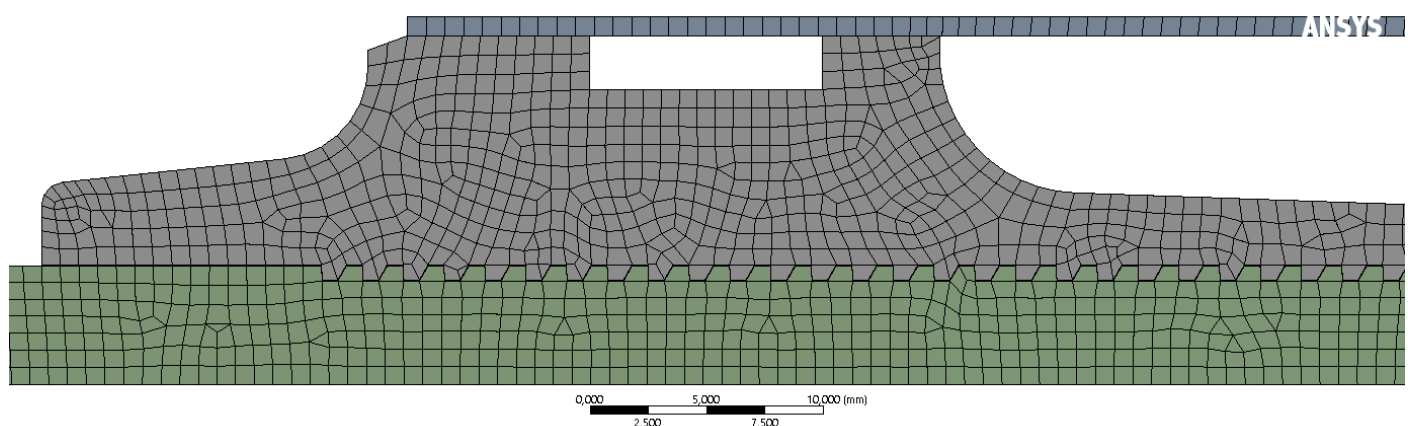
Součinitele tření voleny dle tabulek vykazovali příliš vysoké energetické ztráty. Byly proto voleny nové součinitely společně s kombinací odporu vzduchu. Hodnoty byly voleny experimentálně.

Details of "Body Interaction"	
Scope	
Scoping Method	Geometry Selection
Geometry	
All Bodies	
Definition	
Type	Frictional
Friction Coefficient	0,2
Dynamic Coefficient	0,15
Decay Constant	0,
Suppressed	No

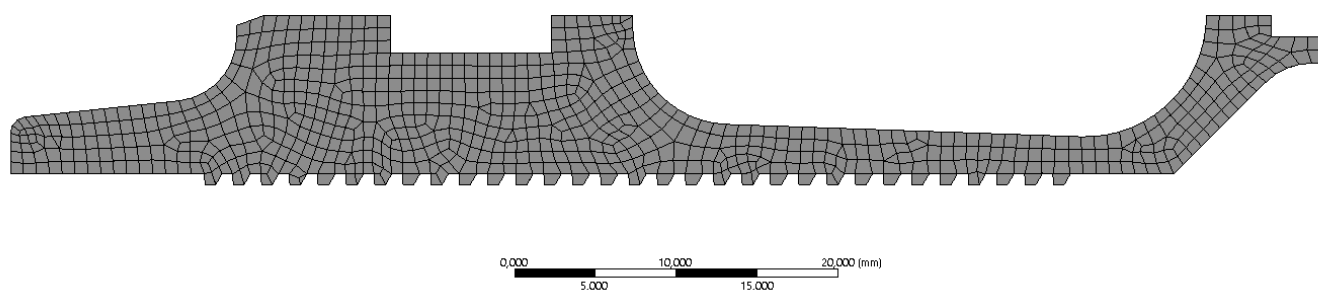
Obr. 11 Součinitel tření pro definované plochy

2.3. Sít' prvků

2.3.1. Globální sít'



Obr. 12 Pohled na celkově zasítovaný model



Obr. 13 Detailní pohled na sabot

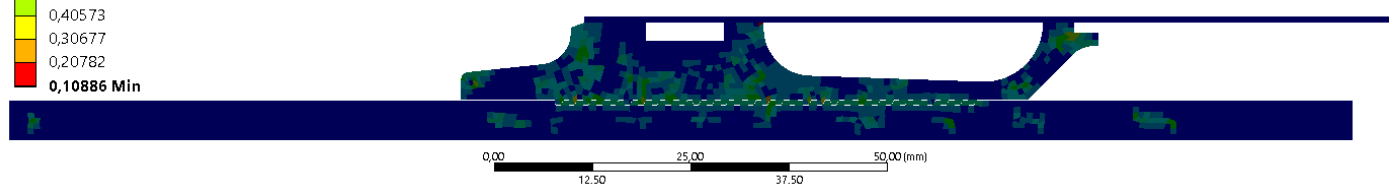
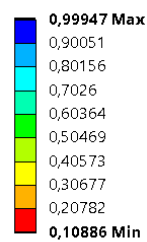
Details of "Mesh"	
[-] Display	
Display Style	Use Geometry Setting
[-] Defaults	
Physics Preference	Explicit
Element Order	Linear
<input type="checkbox"/> Element Size	0,8 mm
[-] Sizing	
Use Adaptive Sizing	No
<input type="checkbox"/> Growth Rate	Default (1,2)
Mesh Defeaturing	Yes
<input type="checkbox"/> Defeature Size	Default (4,e-003 mm)
Capture Curvature	Yes
<input type="checkbox"/> Curvature Min Size	Default (8,e-003 mm)
<input type="checkbox"/> Curvature Normal Angle	Default (30,°)
Capture Proximity	No
Size Formulation (Beta)	Program Controlled
Bounding Box Diagonal	4573,1 mm
Average Surface Area	1630,1 mm ²
Minimum Edge Length	0,49315 mm
Enable Size Field (Beta)	No
[+] Quality	
[+] Inflation	
[+] Batch Connections (Beta)	
[+] Advanced	
[-] Statistics	
<input type="checkbox"/> Nodes	13795
<input type="checkbox"/> Elements	7781

Obr. 14 Detailní nastavení sítě

2.3.2. Kvalita sítě

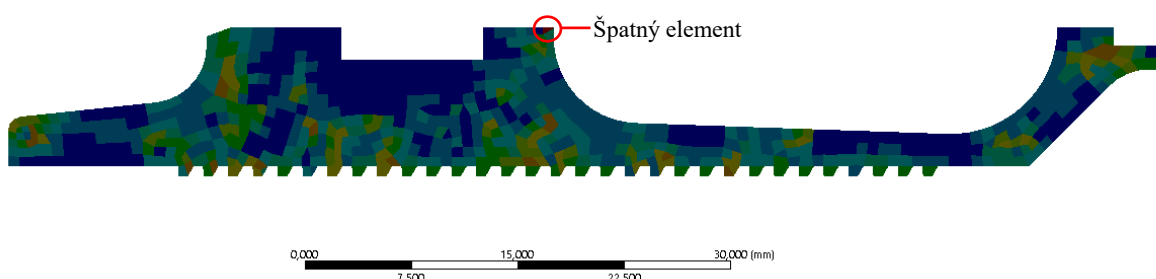
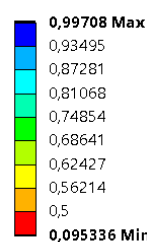
Síť byla upravena pomocí funkce Node Move, aby kvalita sítě byla vyšší nebo rovna hodnotě 0,5. V síti se nacházel pouze jeden špatný prvek, který je zvýrazněn na obrázku 12.

Mesh
Element Quality
22.5.2019 9:21

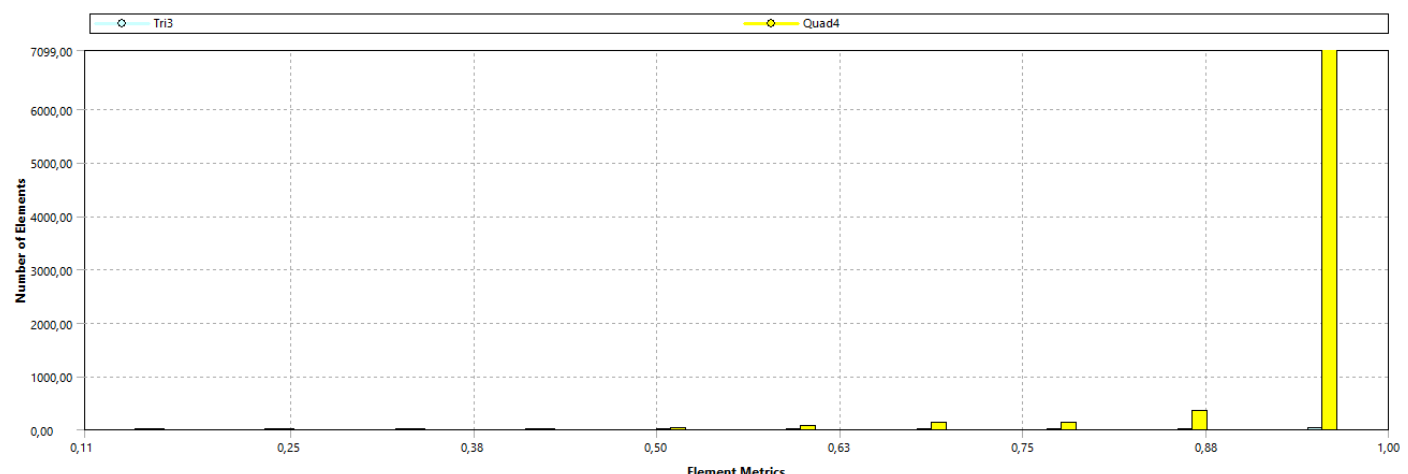


Obr. 15 Kvalita sítě na celkové střele

Mesh
Element Quality
22.5.2019 9:25



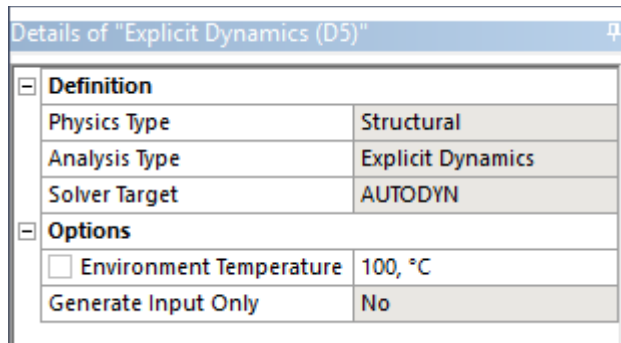
Obr. 16 Kvalita sítě na sabotu, detail



Obr. 17 Četnost kvality prvků

3. Explicitní řešič

3.1. Nastavení řešiče



Obr. 18 Nastavení řešiče, výchozí teplota

3.2. Nastavení analýzy

Details of "Analysis Settings"	
<input type="checkbox"/>	Analysis Settings Preference
Type	Program Controlled
<input type="checkbox"/>	Step Controls
Number Of Steps	1
Current Step Number	1
End Time	6,e-003
Resume From Cycle	0
Maximum Number of Cycles	1e+07
Maximum Energy Error	100,
Reference Energy Cycle	0
Initial Time Step	Program Controlled
Minimum Time Step	Program Controlled
Maximum Time Step	Program Controlled
Time Step Safety Factor	0,9
Characteristic Dimension	Diagonals
Automatic Mass Scaling	No
<input checked="" type="checkbox"/>	Solver Controls
<input checked="" type="checkbox"/>	Euler Domain Controls
<input checked="" type="checkbox"/>	Damping Controls
<input type="checkbox"/>	Erosion Controls
On Geometric Strain Limit	Yes
Geometric Strain Limit	1,5
On Material Failure	Yes
On Minimum Element Time Step	No
Retain Inertia of Eroded Material	Yes
<input checked="" type="checkbox"/>	Output Controls
<input type="checkbox"/>	Analysis Data Management
Solver Files Directory	E:\Ansys\APFSDS_V4...
Scratch Solver Files Directory	

Obr. 19 Nastavení analýzy, čas, energetická chyba, vyloučení deformovaných prvků

3.3. Okrajové podmínky

3.3.1 Tlakové působení výmetné náplně

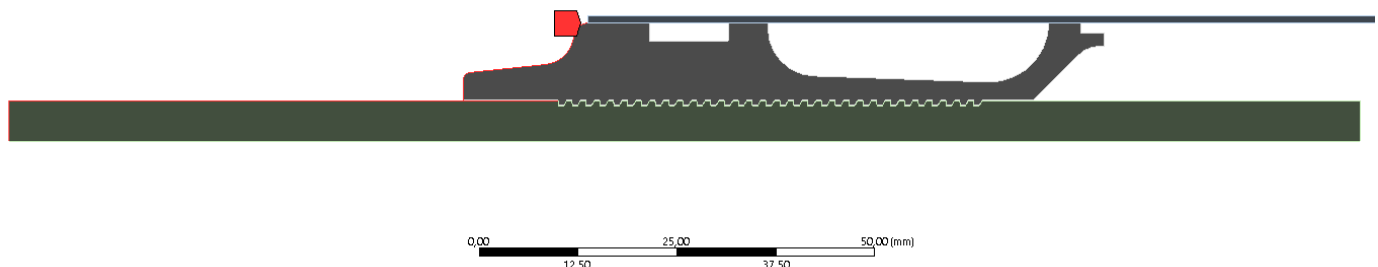
D: Finalní dynamika

Pressure

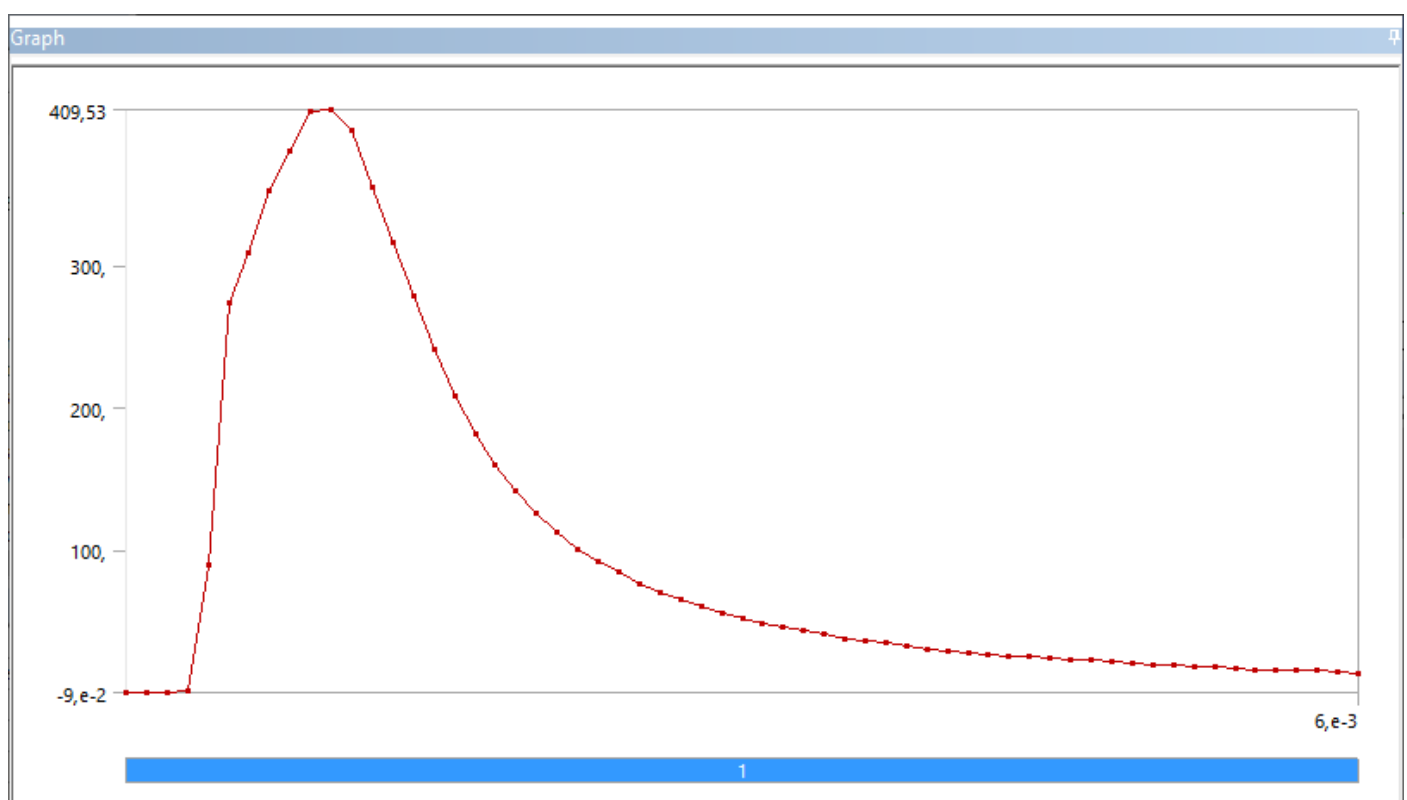
Time: 6.e-003 s

22.5.2019 9:38

Pressure: 13,83 MPa



Obr. 20 Hrany zatížené tlakem



Obr. 21 Tlakový průběh

3.3.2 Odpor vzduchu

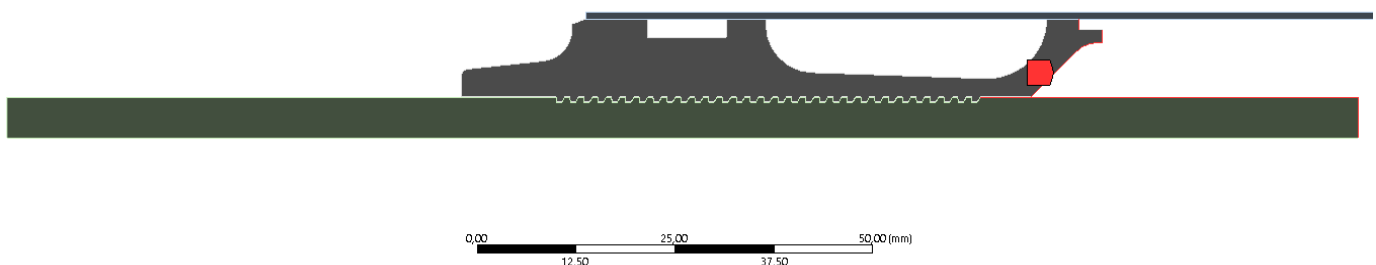
D: Finalní dynamika

Pressure 2

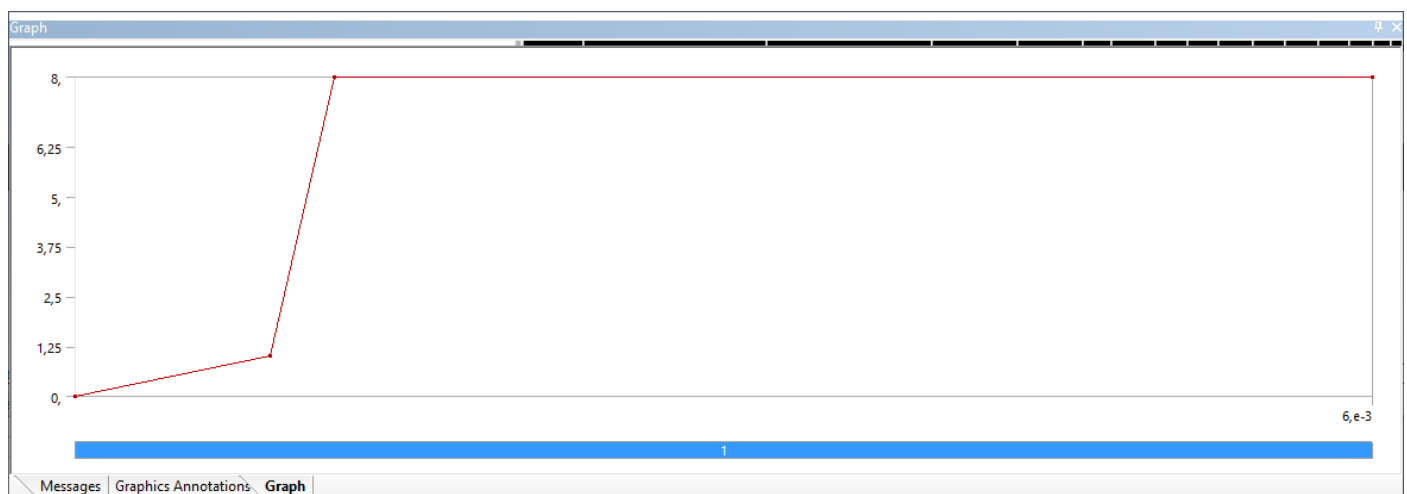
Time: 6.e-003 s

22.5.2019 11:23

Pressure 2: 8, MPa



Obr. 22 Místa namáhána odporem vzduchu



Obr. 23 Odpor vzduchu, graf

3.3.3 Zafixování hlavně

Byla použita fixní vazba aplikovaná na vnější plášť hlavně

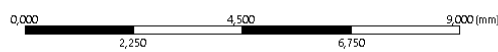
D: Finalní dynamika

Fixed Support

Time: 6.e-003 s

22.5.2019 11:29

Fixed Support



Obr. 24 Fixní vazba

3.3.4 Gravitační konstanta

Aby vzniklo tření dvojce sabot – hlaveň, bylo potřeba do výpočtu přidat gravitační zrychlení. U osové symetrické úlohy zrychlení lze nastavit pouze v ose Y, proto bylo aplikováno v podobě tlaku na plochu o adekvátní hodnotě.

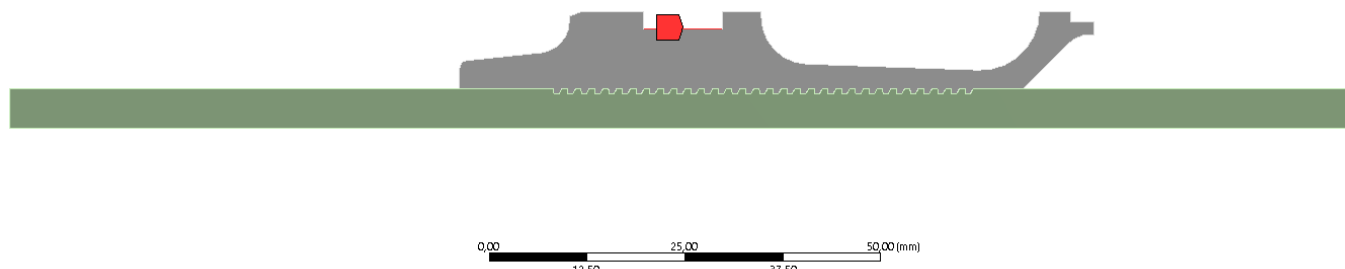
D: Finalni dynamika

Pressure 3

Time: 6.e-003 s

22.5.2019 11:34

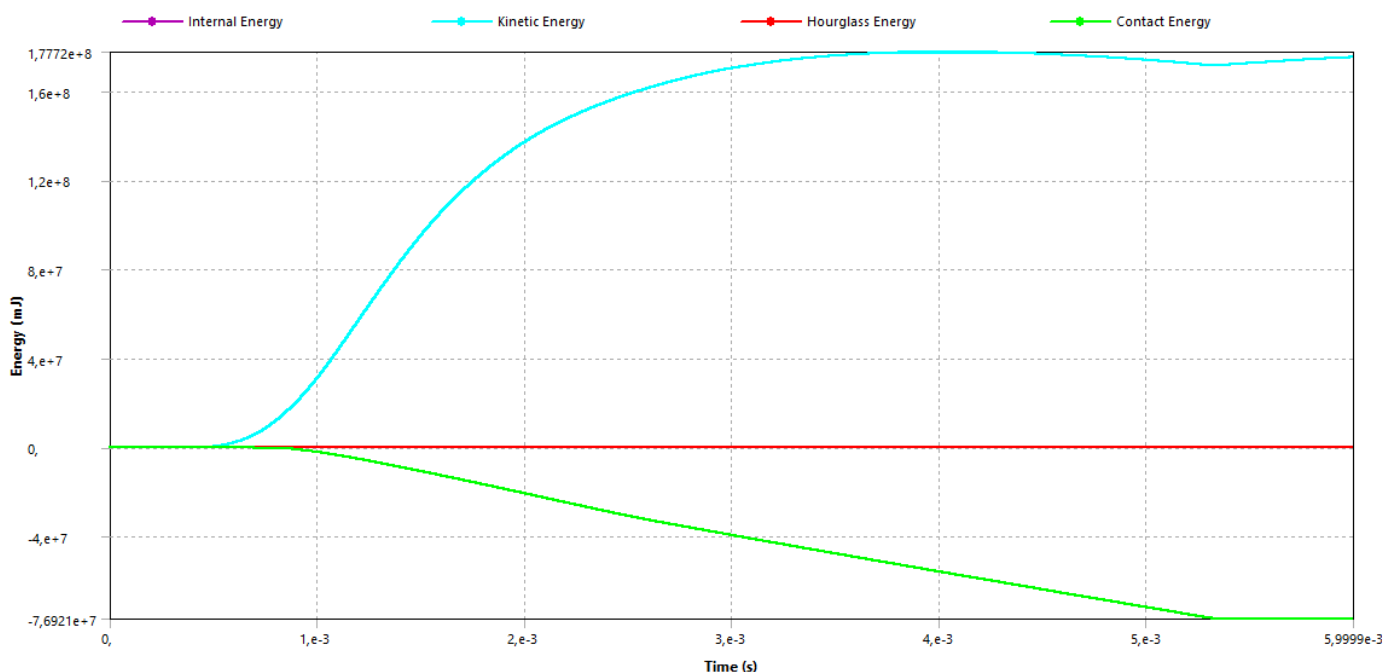
■ Pressure 3: 3,7e-003 MPa



Obr. 25 Gravitační zrychlení

4. Výsledky

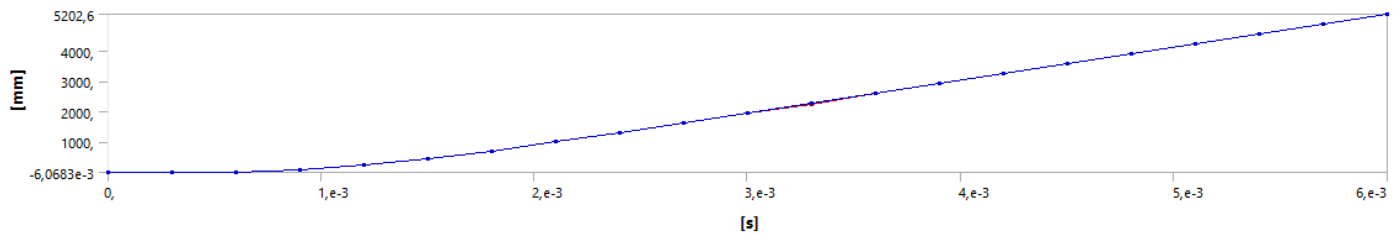
4.1. Souhrn energií



Obr. 26 Kinetická energie (modrá)

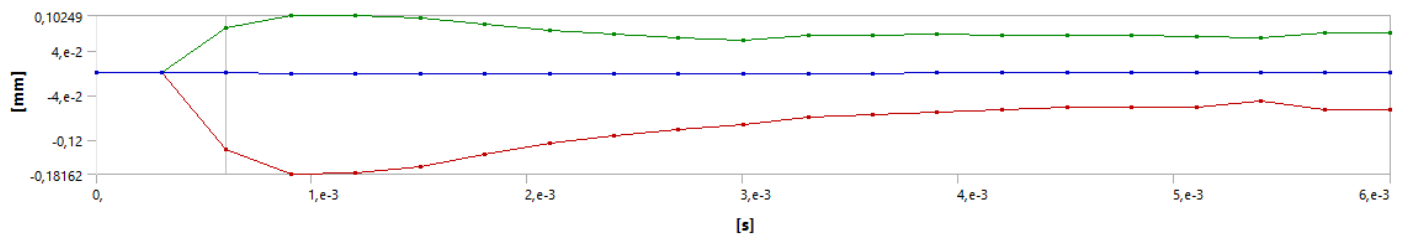
4.2. Posuv střely

Střela za 0,6 ms urazí 5,202 m.



Obr. 27 Posuv střely

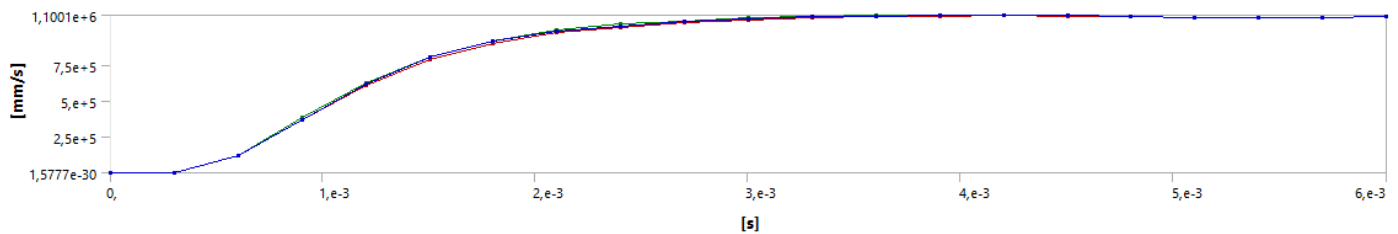
4.3. Posuv střely v ose X



Obr. 28 Posuv střely v ose X

4.4. Rychlosť střely

Střela dosáhne rychlosťi 1100 m/s na ústí hlavně.



Obr. 29 Rychlosť střely v závislosti na čase

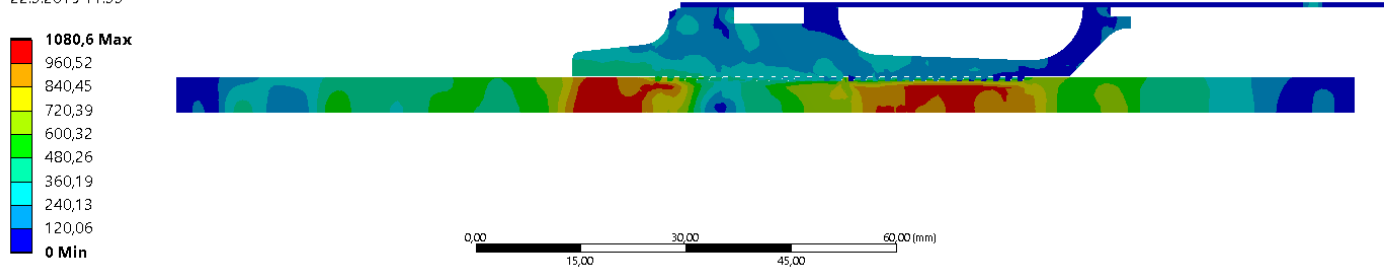
4.5. Napětí von-Mises

4.5.1. Nejvyšší napětí ve střele

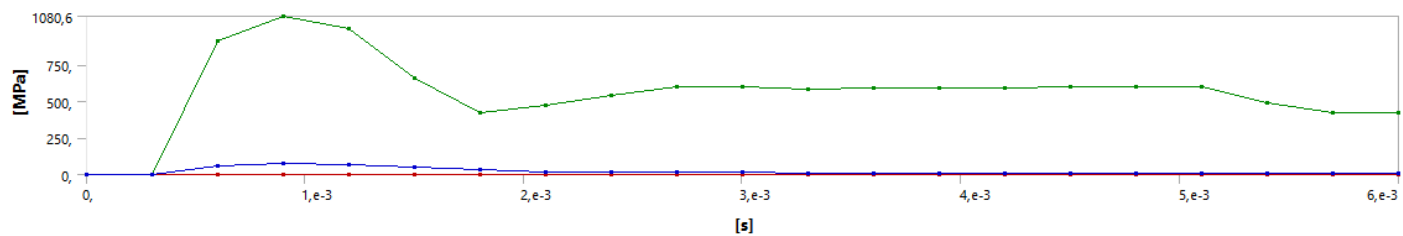
Nejvyšší napětí je 1080 MPa , vyskytuje se v penetrátoru.

D: Finalní dynamika

Equivalent Stress 2
Type: Equivalent (von-Mises) Stress
Unit: MPa
Time: 9,00001e-004
Cycle Number: 46646
22.5.2019 11:55



Obr. 30 Celková napjatost střely



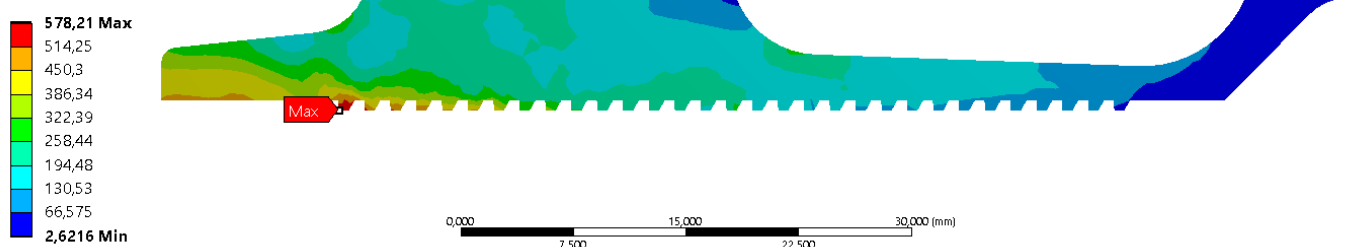
Obr. 31 Průběh napětí v závislosti na čase

4.5.2. Nejvyšší napětí v sabotu

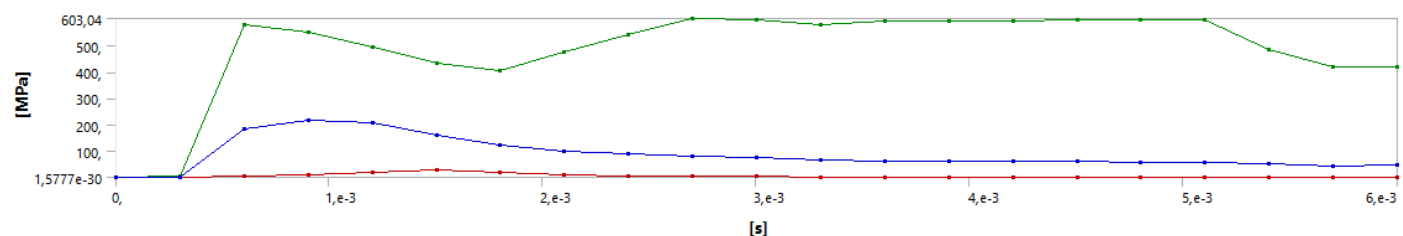
Největší napjatost sabotu je 578 MPa v místě prvního ozubu. Jedná se o děj v čase 0,6 ms. Největší napětí v čase 2,7 ms dosahující hodnoty 603 MPa nelze považovat za relevantní, protože se jedná o pík vyskytující se na hraně.

D: Finalní dynamika

Equivalent Stress
Type: Equivalent (von-Mises) Stress
Unit: MPa
Time: 6,00002e-004
Cycle Number: 31088
22.5.2019 11:59



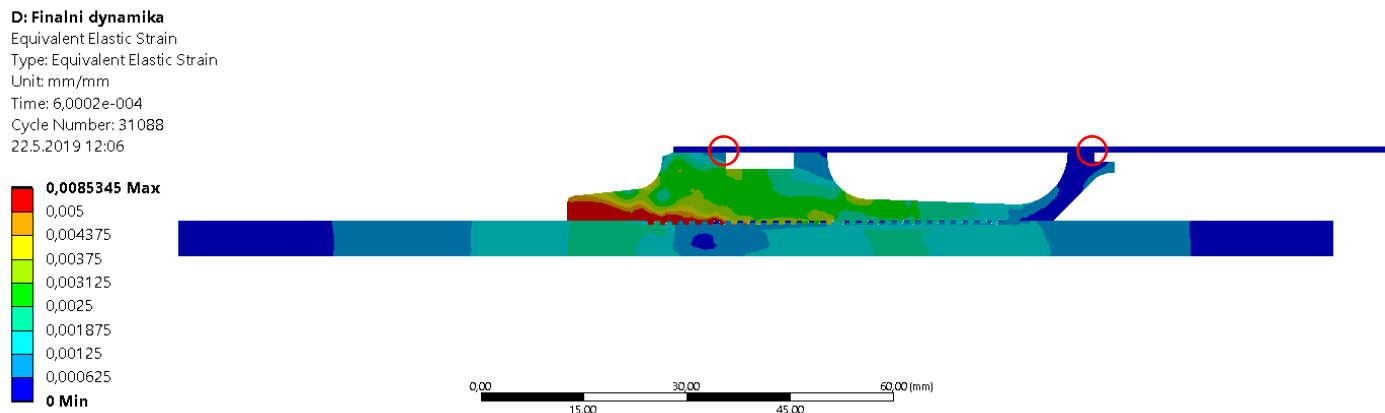
Obr. 32 Celková napjatost sabotu



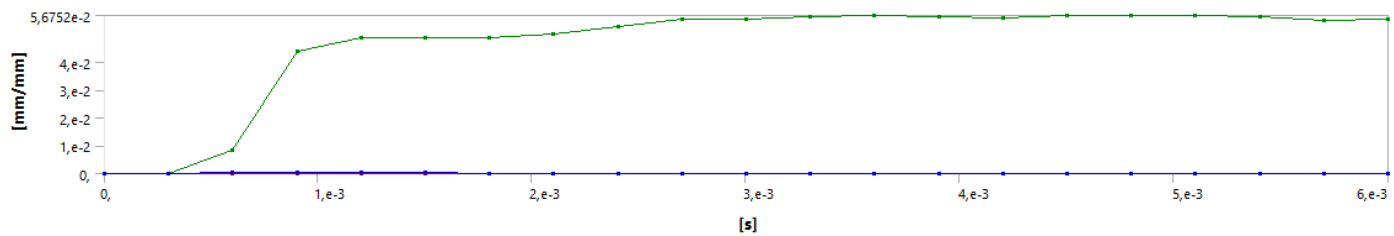
Obr. 33 Průběh napětí v závislosti na čase

4.6. Elastické přetvoření

Elastické přetvoření v čase 0,6 ms poukazuje na velké přetvoření sabotu. Následné největší přetvoření vznikalo v oblastech vyznačených na obrázku 29. Jednalo se o sabot.



Obr. 34 Elastické přetvoření

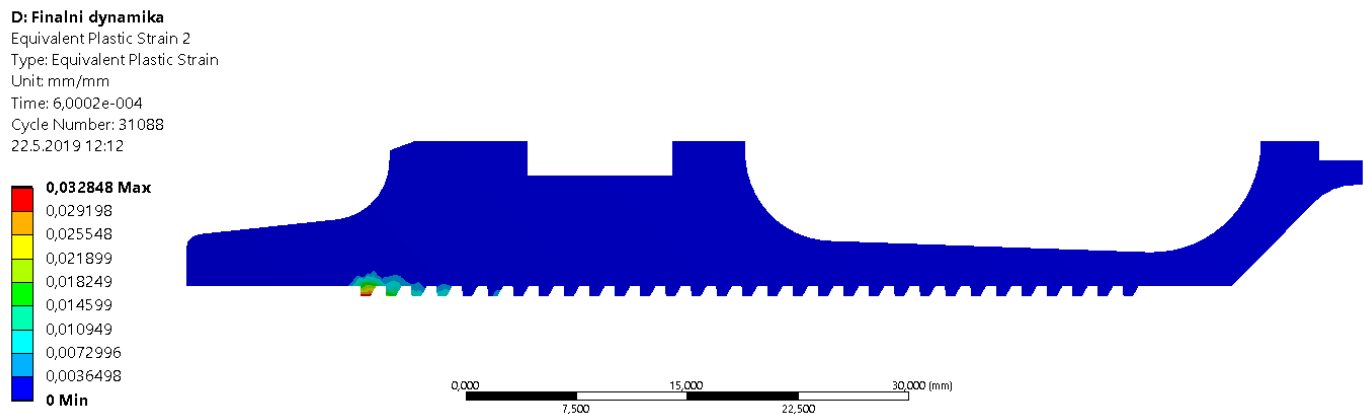


Obr. 35 Průběh elastického přetvoření

4.7. Plasticke přetvoření

Na následujících snímcích je patrný růst plastickeho přetvoření sabotu v závislosti na čase. Plasticita se šířila prvními ozuby. Jiné části střely nebyly plasticky deformovány.

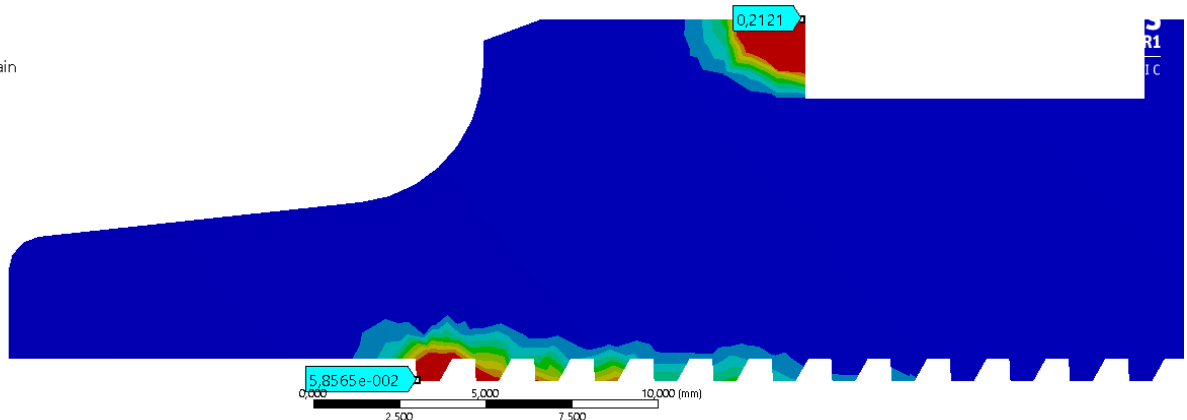
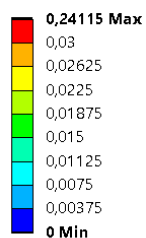
4.7.1. Čas 0,6 ms



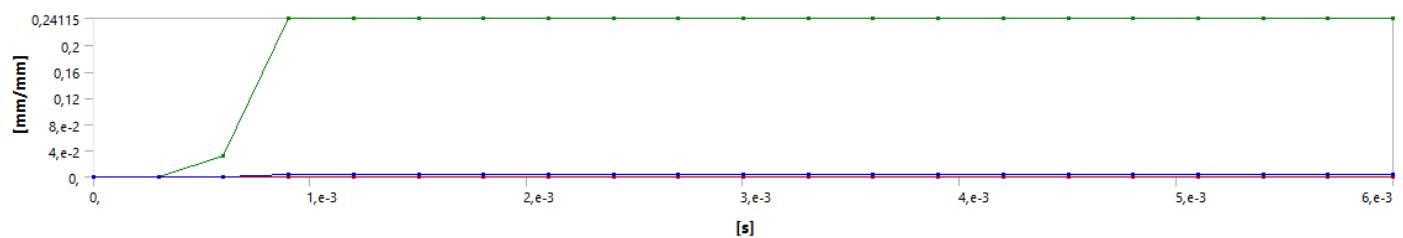
Obr. 36 Plasticita v čase 0,6 ms

4.7.2. Čas 0,9 ms

D: Finalní dynamika
Equivalent Plastic Strain 2
Type: Equivalent Plastic Strain
Unit: mm/mm
Time: 9,0001e-004
Cycle Number: 46646
22.5.2019 12:14



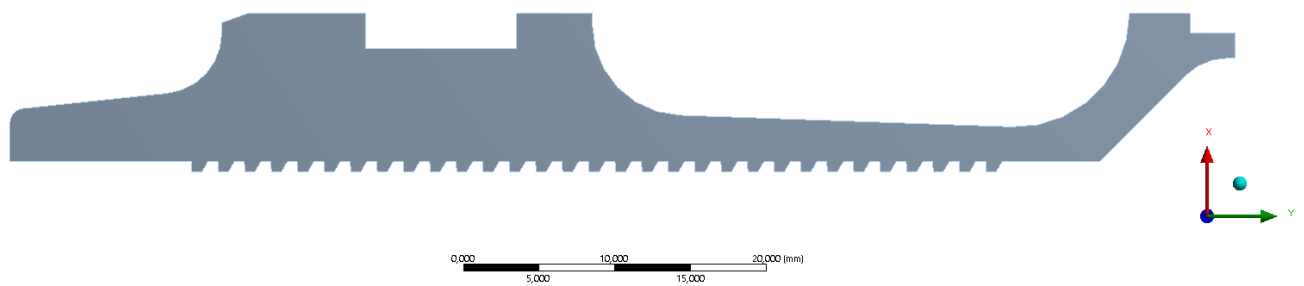
Obr. 37 Plasticita v čase 0,9 ms



Obr. 38 Plastické přetvoření v závislosti na čase

VÝPOČTOVÁ ZPRÁVA

Model
23.5.2019 11:47



 ÚSTAV KONSTRUOVÁNÍ	PROJEKT: Topologicky optimalizovaný sabot TYP ANALÝZY: Topologická optimalizace
DATUM: 23.5.2019	OSTATNÍ: Příloha 7
POČET STRAN: 23	AUTOR: Jan Hajda

1. Obsah

2. MODEL.....	3
2.1. GEOMETRIE.....	3
2.1.1. Základní informace	3
2.1.2. Detail nastavení geometrie.....	3
2.2. MATERIÁLOVÉ VLASTNOSTI.....	4
2.2.1. EN AW 7075.....	4
2.1. SÍŤ PRVKŮ	5
2.1.1. Globální síť.....	5
2.1.2. Kvalita sítě	5
3. ZÁTĚŽNÉ STAVY.....	6
3.1. PYROSTATIKA.....	7
3.1.1. Posuvy v ose X.....	7
3.1.2. Posuvy v ose Y.....	8
3.1.3. Výsledek.....	8
3.2. ČASOVÝ OKAMŽIK 0,6 ms	9
3.2.1. Posuvy v ose X.....	9
3.2.2. Posuvy v ose Y.....	10
3.2.3. Výsledek.....	10
3.3. ČASOVÝ OKAMŽIK 0,9 ms	11
3.3.1. Posuvy v ose X.....	11
3.3.2. Posuvy v ose Y.....	12
3.3.3. Výsledek.....	12
3.4. ČASOVÝ OKAMŽIK 1,2 ms	13
3.4.1. Posuvy v ose X.....	13
3.4.2. Výsledek.....	14
3.5. ČASOVÝ OKAMŽIK 1,5 ms	14
3.5.1. Posuvy v ose X.....	14
3.5.2. Výsledek.....	15
3.6. ČASOVÝ OKAMŽIK 3 ms	16
3.6.1. Posuvy v ose X.....	16
3.6.2. Výsledek.....	17
4. TOPOLOGICKÁ OPTIMALIZACE	17
4.1.1. Obálka.....	17
4.1.2. Optimalizační podmínka	18
4.1.3. Dodatečná omezující podmínka.....	18
5. VÝSLEDKY TOPOLOGICKÉ OPTIMALIZACE	19
5.1. TOPOLOGICKÁ OPTIMALIZACE.....	19
5.2. VÝSLEDNÝ MODEL PRO VALIDACI.....	19
6. VERIFIKACE MODELU	19
6.1. SOUHRN ENERGIÍ.....	19
6.2. POSUV STŘELY	20
6.3. RYCHLOST STŘELY	20
6.4. PLASTICKÉ PŘETVOŘENÍ.....	21
7. DODATEK	21

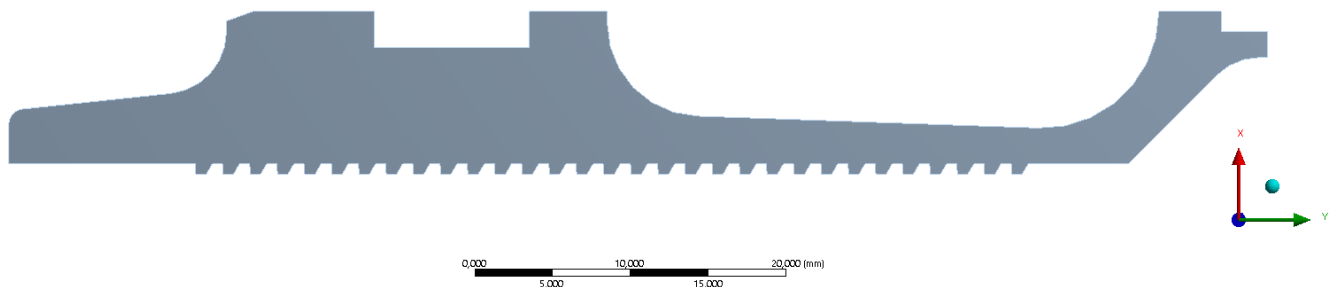
7.1.	GEOMETRIE.....	21
7.2.	MATERIÁLOVÉ VLASTNOSTI.....	21
7.3.	SÍŤ.....	22
7.4.	OKRAJOVÉ PODMÍNKY	22
7.5.	CELKOVÝ POSUV.....	23

2. Model

2.1. Geometrie

2.1.1. Základní informace

Model
23.5.2019 11:47



Obr. 1 Sabot

2.1.2. Detail nastavení geometrie

Details of "Geometry"	
Definition	
Source	E:\Ansys\APFSDS_V4\APFSDS_V4.2_files\...
Type	SpaceClaim
Length Unit	Meters
2D Behavior	Axisymmetric
Display Style	Body Color

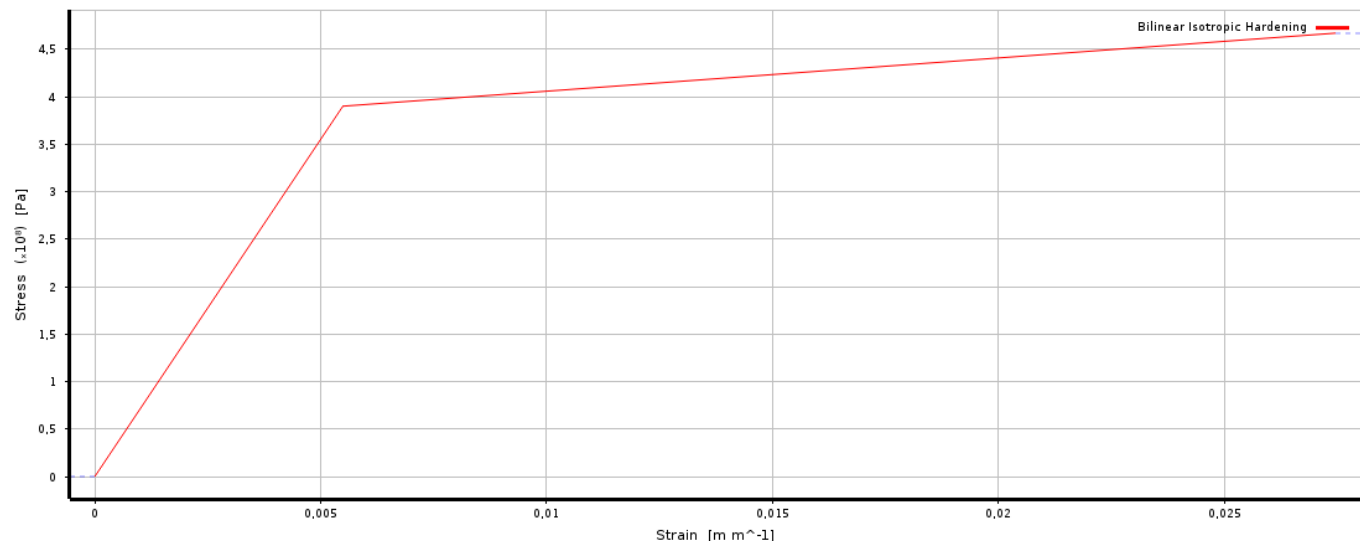
Obr. 2 Detail geometrie

2.2. Materiálové vlastnosti

2.2.1. EN AW 7075

A	B	C
Property	Value	Unit
<input checked="" type="checkbox"/> Material Field Variables	<input type="button" value="Table"/>	
<input checked="" type="checkbox"/> Density	2804	kg m ⁻³
<input checked="" type="checkbox"/> Isotropic Elasticity		
Derive from	Young's Modulus a...	<input type="button" value="▼"/>
Young's Modulus	71000	MPa
Poisson's Ratio	0,33	
Bulk Modulus	6,9608E+10	Pa
Shear Modulus	2,6692E+10	Pa
<input checked="" type="checkbox"/> Bilinear Isotropic Hardening		
Yield Strength	390	MPa
Tangent Modulus	3500	MPa

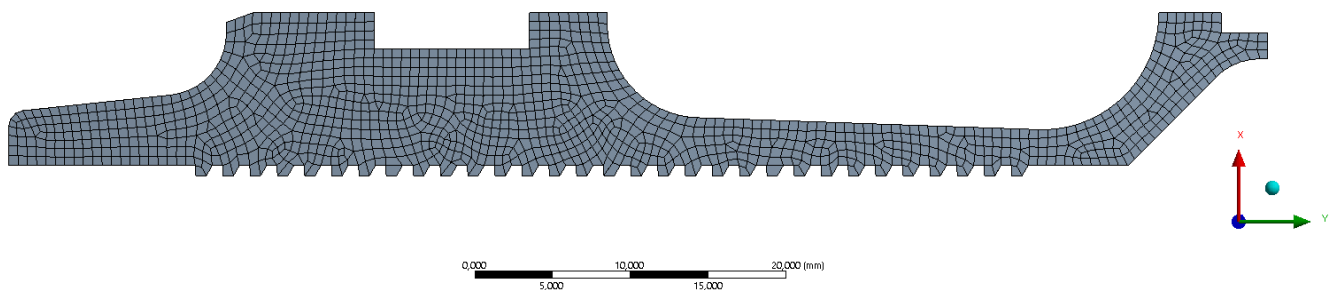
Obr. 3 Předdefinované materiálové vlastnosti



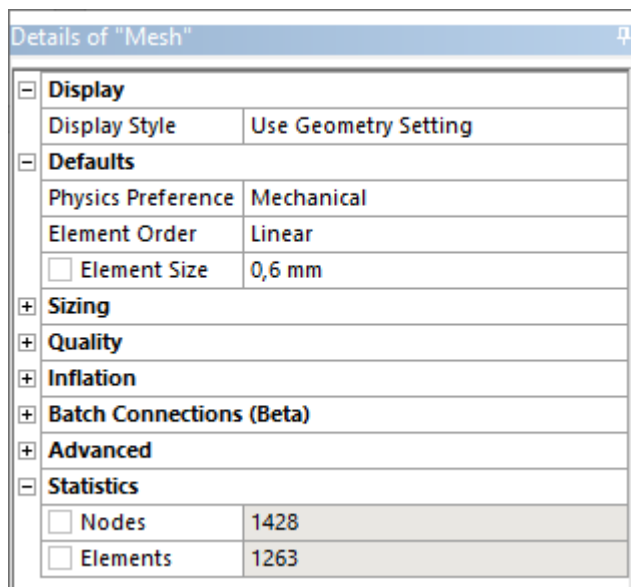
Obr. 4 Bilineární diagram

2.1. Sít' prvků

2.1.1. Globální sít'



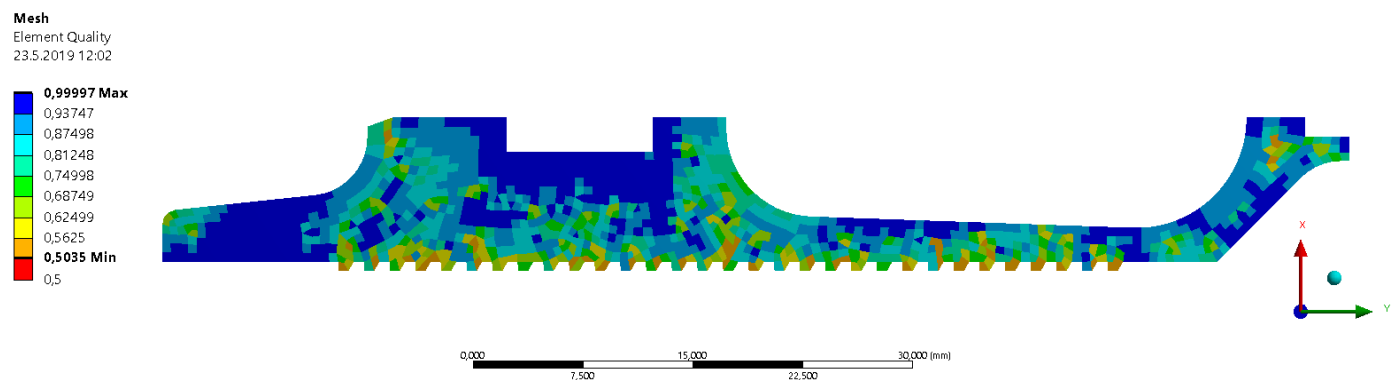
Obr. 5 Pohled na sít' midelu



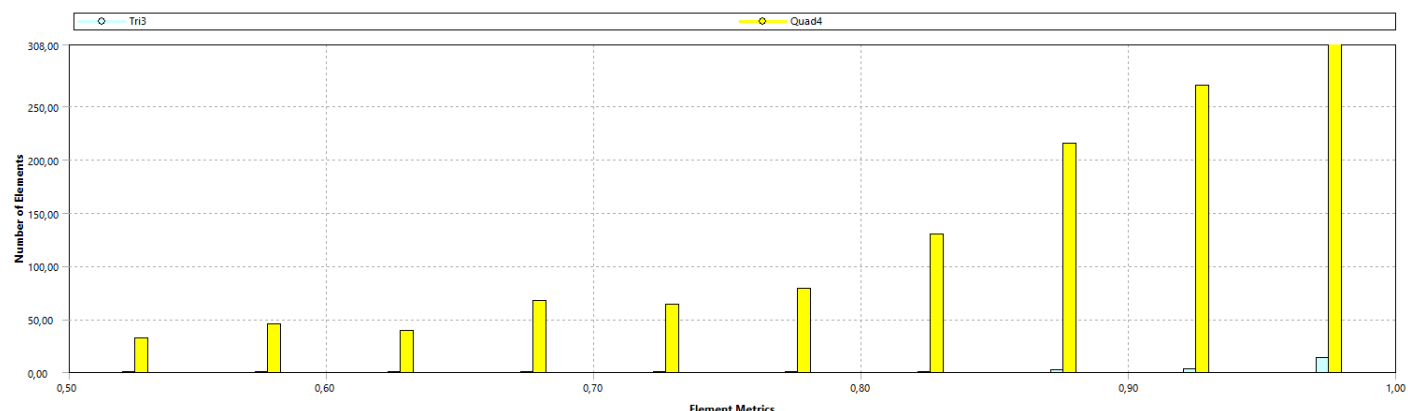
Obr. 6 Detailní nastavení sítě

2.1.2. Kvalita sítě

Sít' byla upravena pomocí funkce Node Move, aby kvalita sítě byla vyšší nebo rovna hodnotě 0,5.



Obr. 7 Kvalita sítě



Obr. 8 Četnost kvality prvků

3. Zátěžné stavy

	A	B	C
1	Data Source	Location	Identifier
2	E:\Ansys\APFSDS_V4\pyrostatika\x-def.txt	...	File1
3	E:\Ansys\APFSDS_V4\pyrostatika\y-def.txt	...	File2

Obr. 9 Importované soubory

	A	B	C
1	Property	Value	Unit
2	Definition		
3	Dimension	2D	
4	Start Import At Line	1	
5	Format Type	Delimited	
6	Delimiter Type	Tab	
7	Delimiter Character	Tab	
8	Length Unit	mm	
9	Coordinate System Type	Cartesian	
10	Material Field Data		
11	Analytical Transformation		
12	X Coordinate	x	
13	Y Coordinate	y	

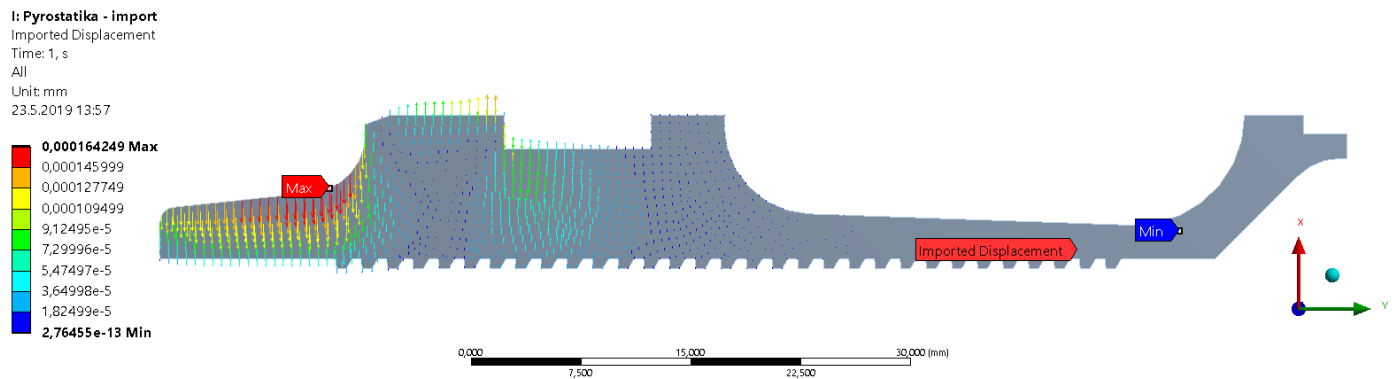
Obr. 10 Nastavení souboru

Table of File - E:\Ansys\APFSDS_V4\pyrostatika\x-def.txt : Delimiter - 'Tab'					
	A	B	C	D	E
1	Column	Data Type	Data Unit	Data Identifier	Combined Identifier
2	A	Not Used			File1
3	B	X Coordinate	mm		File1
4	C	Y Coordinate	mm		File1
5	D	Not Used			File1
6	E	Displacement	mm	dx	File1:dx

Obr. 11 Přiřazení hodnot ze souboru

3.1. Pyrostatika

3.1.1. Posuvy v ose X



Obr. 12 Importované posuvy v ose X

Wed Mar 20, 2019 19:39:49

Using multiple cores: [Yes]
Number of cores requested: 8

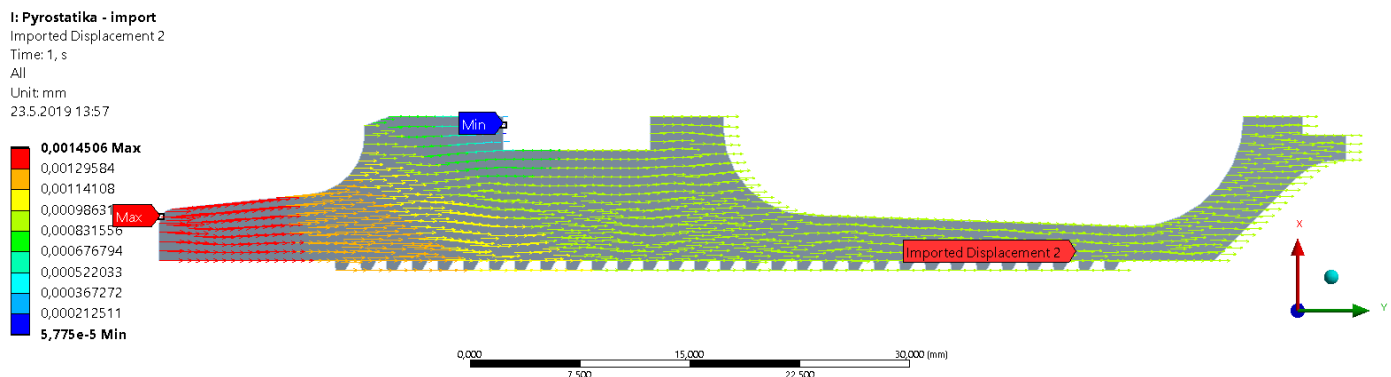
Maximum source mesh bounding box length: 0.159 (m)
Maximum range used in sorting closest nodes: 0.00318 (m)

Number of source nodes: 5744
Number of target nodes: 1428

Number of nodes mapped : 1428
Number of nodes not mapped : 0
Number of nodes outside : 0

Percent nodes mapped: 100%
Weight calculation time: 0.157 (s)
Number of variables to interpolate: 1.
Interpolation time: 0. (s)

3.1.2. Posuvy v ose Y



Obr. 13 Importované posuvy v ose Y

Wed Mar 20, 2019 19:39:51

Using multiple cores: [Yes]
Number of cores requested: 8

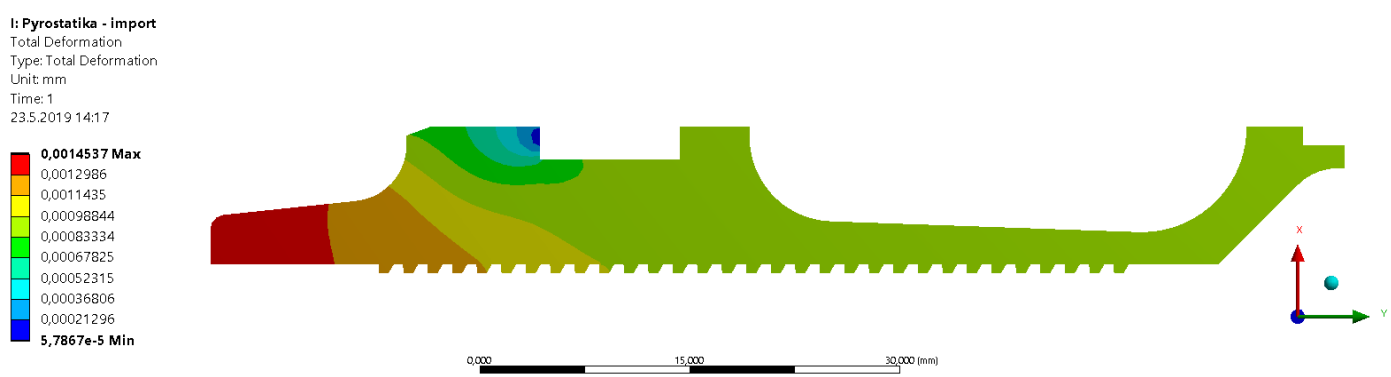
Maximum source mesh bounding box length: 0.159 (m)
Maximum range used in sorting closest nodes: 0.00324 (m)

Number of source nodes: 5743
Number of target nodes: 1428

Number of nodes mapped : 1428
Number of nodes not mapped : 0
Number of nodes outside : 0

Percent nodes mapped: 100%
Weight calculation time: 0.159 (s)
Number of variables to interpolate: 1.
Interpolation time: 0. (s)

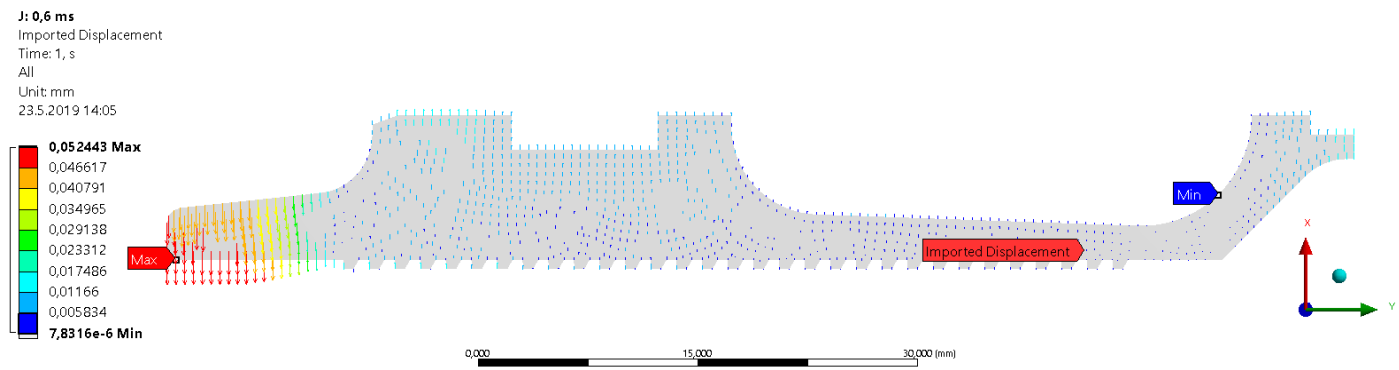
3.1.3. Výsledek



Obr. 14 Výsledný posuv

3.2. Časový okamžik 0,6 ms

3.2.1. Posuvy v ose X



Obr. 15 Importované posuvy v ose X

Wed Mar 20, 2019 18:44:30

Using multiple cores: [Yes]
Number of cores requested: 8

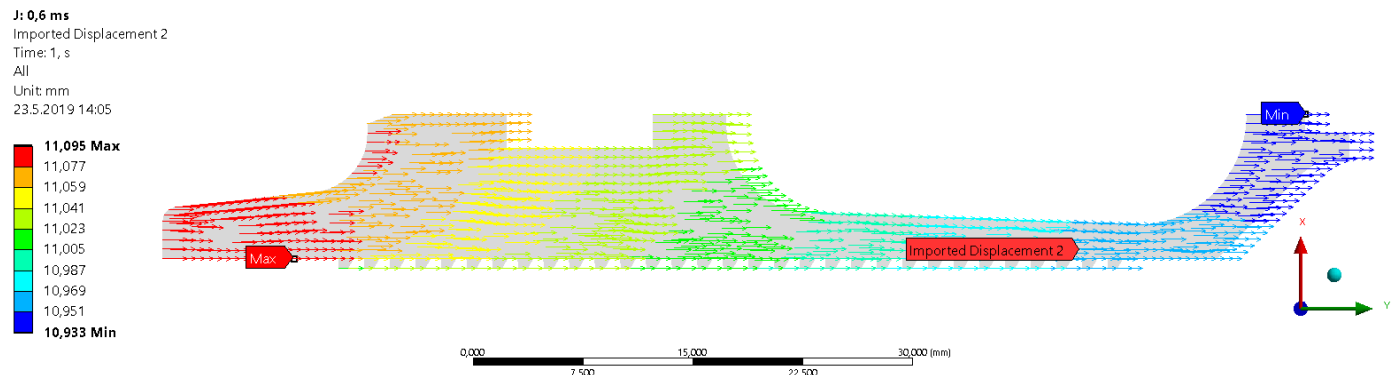
Maximum source mesh bounding box length: 0.15619 (m)
Maximum range used in sorting closest nodes: 0.0002 (m)

Number of source nodes: 1426
Number of target nodes: 1428

Number of nodes mapped : 1127
Number of nodes not mapped : 301
Number of nodes outside : 0

Percent nodes mapped: 78%
Weight calculation time: 0.248 (s)
Number of variables to interpolate: 1.
Interpolation time: 1.e-003 (s)

3.2.2. Posuvy v ose Y



Obr. 16 Importované posuvy v ose Y

Wed Mar 20, 2019 18:44:42

Using multiple cores: [Yes]
Number of cores requested: 8

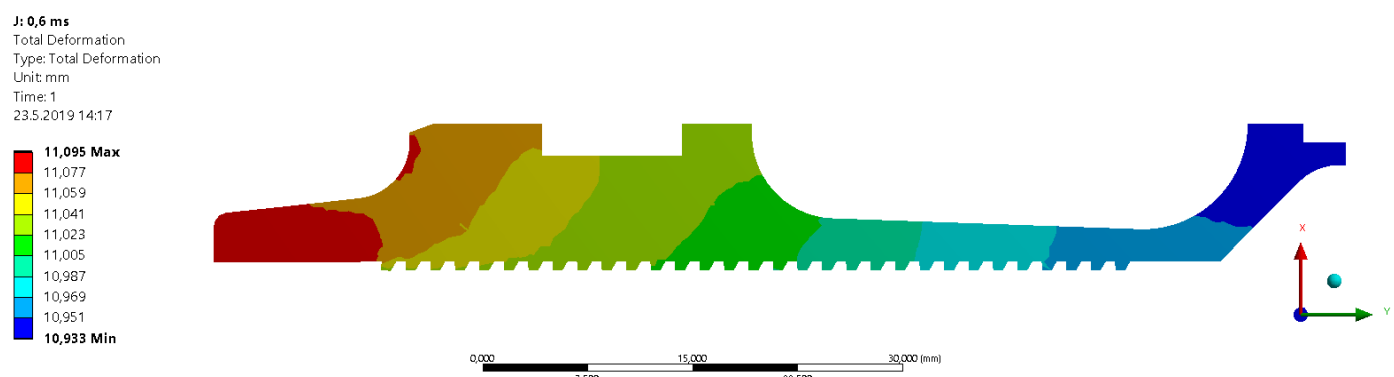
Maximum source mesh bounding box length: 0.15619 (m)
Maximum range used in sorting closest nodes: 0.0002 (m)

Number of source nodes: 1426
Number of target nodes: 1428

Number of nodes mapped : 1127
Number of nodes not mapped : 301
Number of nodes outside : 0

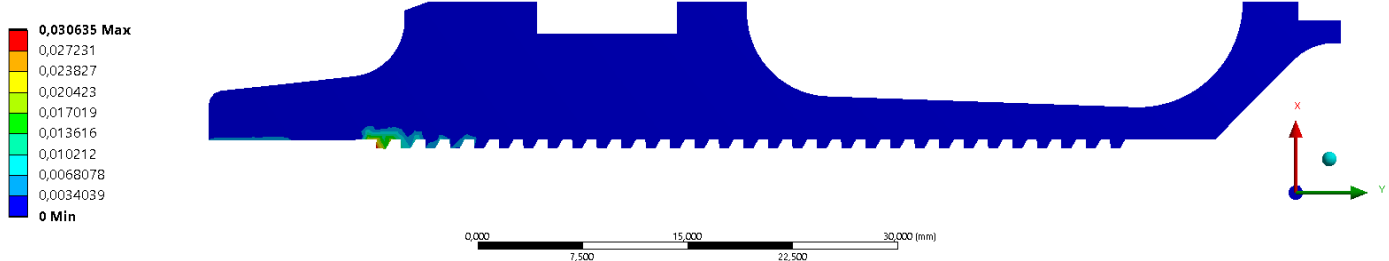
Percent nodes mapped: 78%
Weight calculation time: 0.24 (s)
Number of variables to interpolate: 1.
Interpolation time: 1.e-003 (s)

3.2.3. Výsledek



Obr. 17 Výsledný posuv

J: 0,6 ms
Equivalent Plastic Strain
Type: Equivalent Plastic Strain
Unit: mm/mm
Time: 1
23.5.2019 14:17

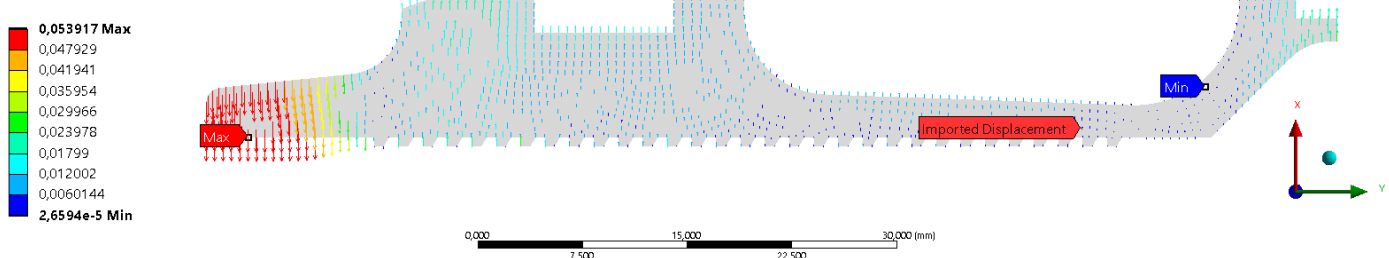


Obr. 18 Výsledná plasticita

3.3. Časový okamžik 0,9 ms

3.3.1. Posuvy v ose X

K: 0,9 ms
Imported Displacement
Time: 1, s
All
Unit: mm
23.5.2019 14:18



Obr. 19 Importované posuvy v ose X

Wed Mar 20, 2019 18:48:01

Using multiple cores: [Yes]
Number of cores requested: 8

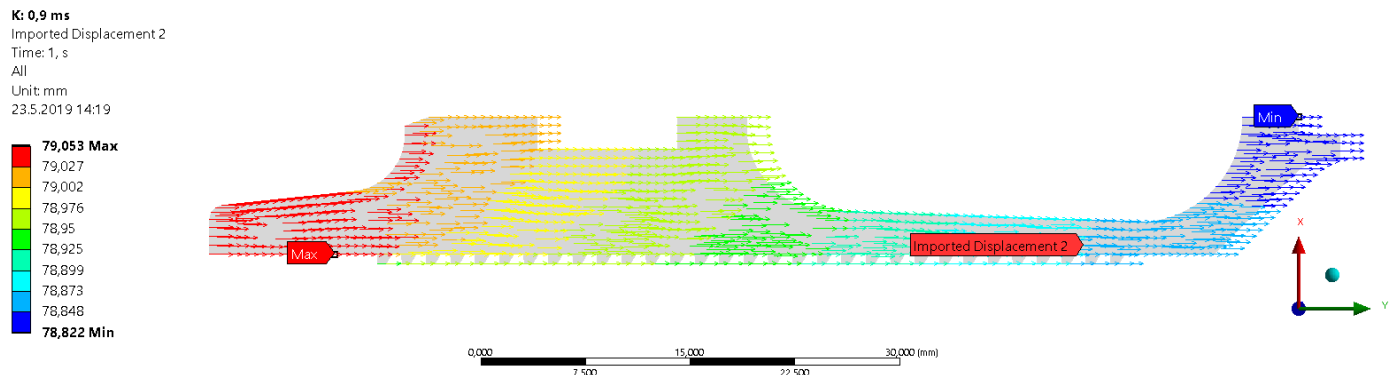
Maximum source mesh bounding box length: 0.15619 (m)
Maximum range used in sorting closest nodes: 0.0002 (m)

Number of source nodes: 1426
Number of target nodes: 1428

Number of nodes mapped : 1127
Number of nodes not mapped : 301
Number of nodes outside : 0

Percent nodes mapped: 78%
Weight calculation time: 0.234 (s)
Number of variables to interpolate: 1.
Interpolation time: 1.e-003 (s)

3.3.2. Posuvy v ose Y



Obr. 20 Importované posuvy v ose Y

Wed Mar 20, 2019 18:48:04

Using multiple cores: [Yes]
Number of cores requested: 8

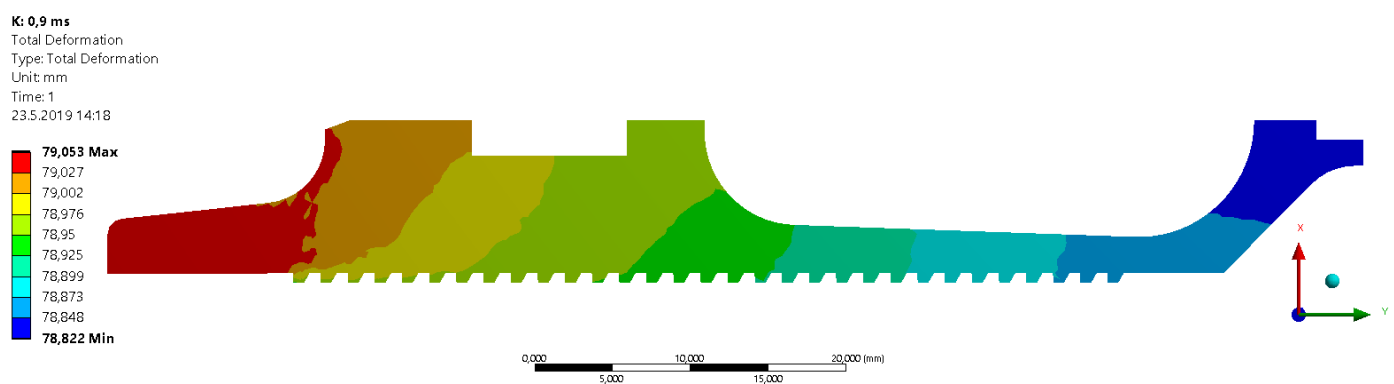
Maximum source mesh bounding box length: 0.15619 (m)
Maximum range used in sorting closest nodes: 0.0002 (m)

Number of source nodes: 1426
Number of target nodes: 1428

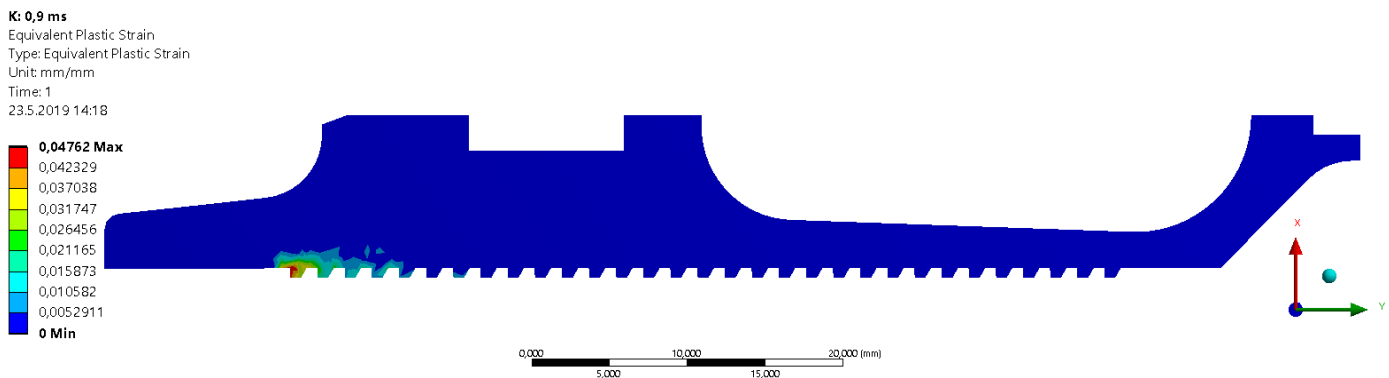
Number of nodes mapped : 1127
Number of nodes not mapped : 301
Number of nodes outside : 0

Percent nodes mapped: 78%
Weight calculation time: 0.216 (s)
Number of variables to interpolate: 1.
Interpolation time: 0. (s)

3.3.3. Výsledek



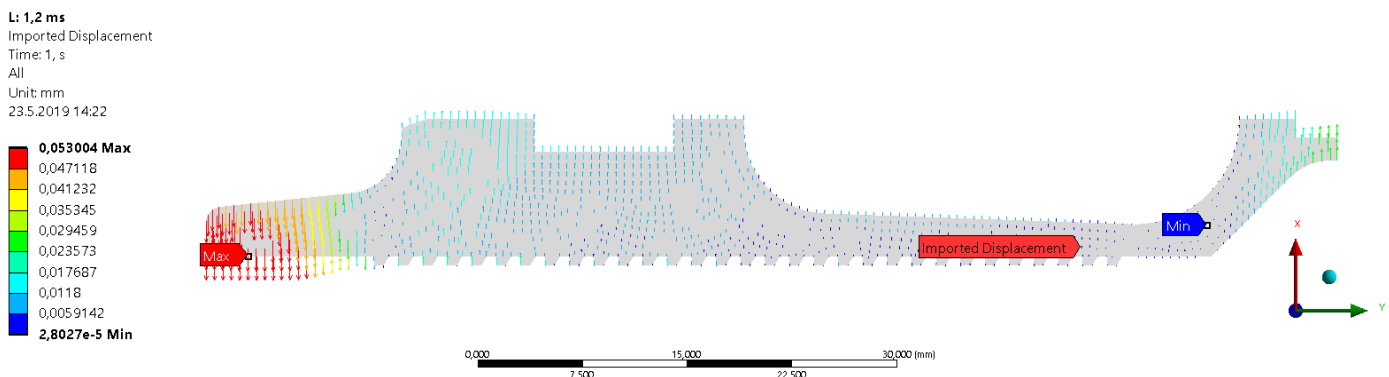
Obr. 21 Výsledný posuv



Obr. 22 Výsledná plasticita

3.4. Časový okamžik 1,2 ms

3.4.1. Posuvy v ose X



Obr. 23 Importované posuvy v ose X

Wed Mar 20, 2019 18:56:52

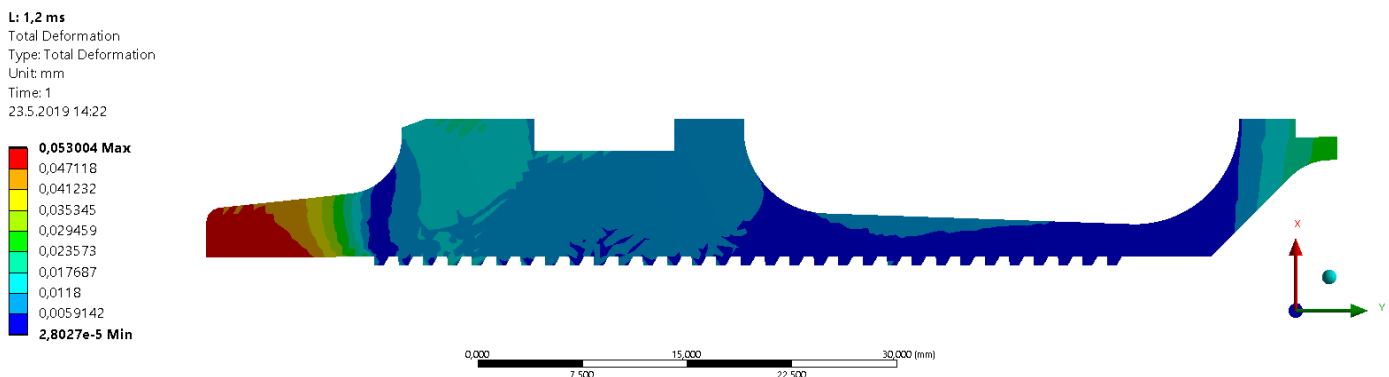
Using multiple cores: [Yes]
Number of cores requested: 8

Maximum source mesh bounding box length: 0.15619 (m)
Maximum range used in sorting closest nodes: 0.0002 (m)

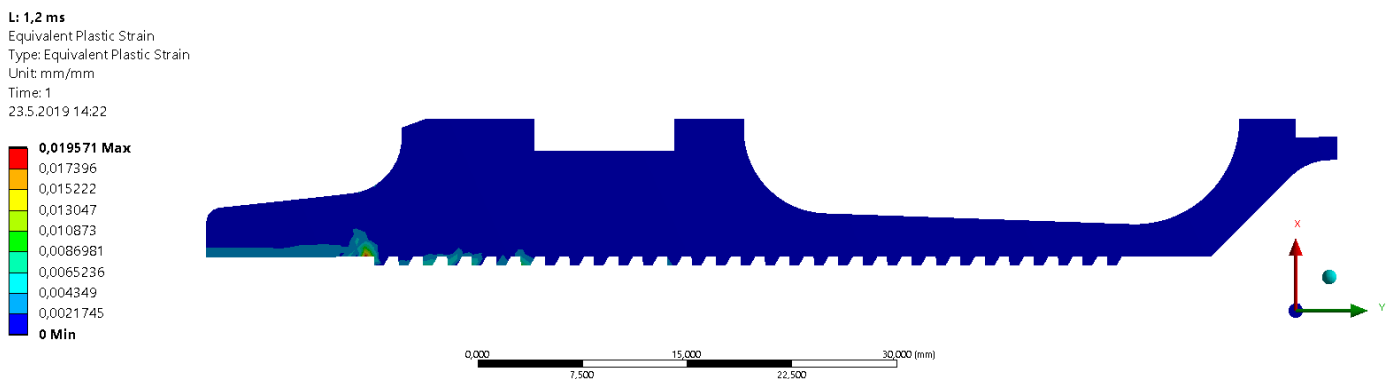
Number of source nodes: 1426
Number of target nodes: 1428

Number of nodes mapped : 1127
Number of nodes not mapped : 301
Number of nodes outside : 0

3.4.2. Výsledek



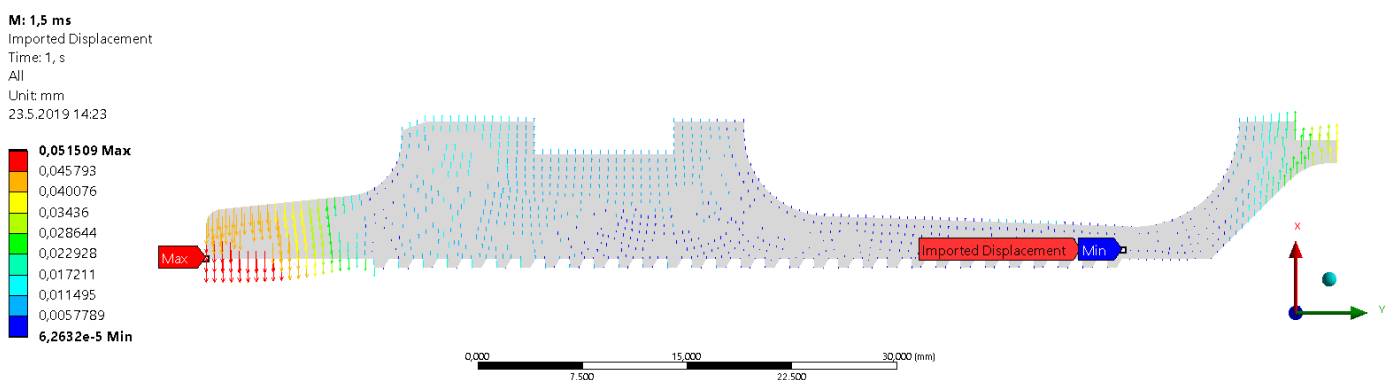
Obr. 24 Výsledný posuv



Obr. 25 Výsledná plasticita

3.5. Časový okamžik 1,5 ms

3.5.1. Posuvy v ose X



Obr. 26 Importované posuvy v ose X

Wed Mar 20, 2019 19:29:32

Using multiple cores: [Yes]
Number of cores requested: 8

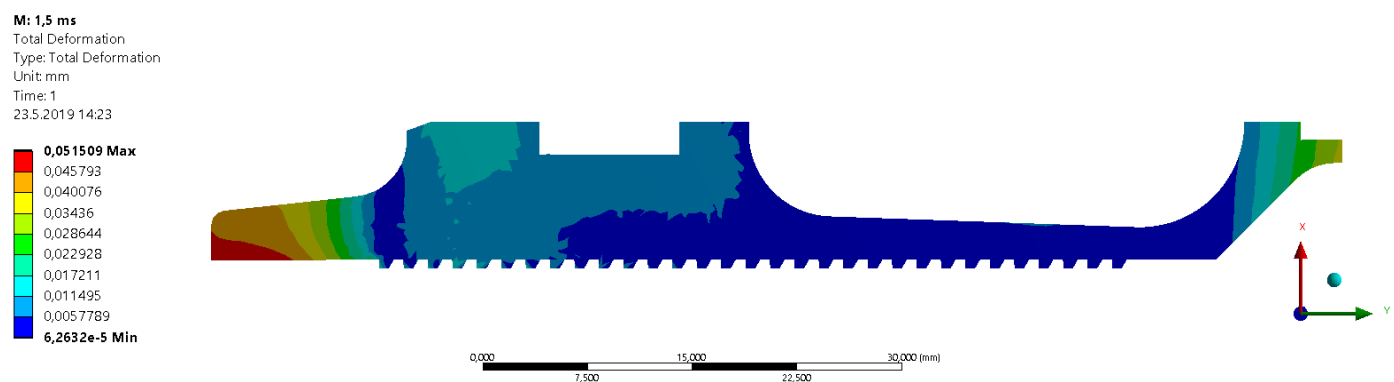
Maximum source mesh bounding box length: 0.15619 (m)
Maximum range used in sorting closest nodes: 0.0002 (m)

Number of source nodes: 1426
Number of target nodes: 1428

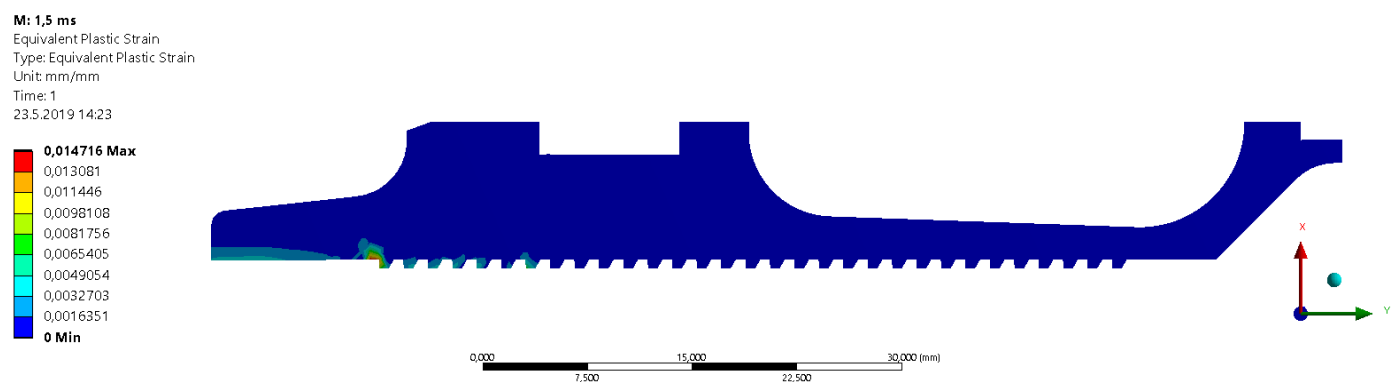
Number of nodes mapped : 1127
Number of nodes not mapped : 301
Number of nodes outside : 0

Percent nodes mapped: 78%
Weight calculation time: 0.265 (s)
Number of variables to interpolate: 1.
Interpolation time: 1.e-003 (s)

3.5.2. Výsledek



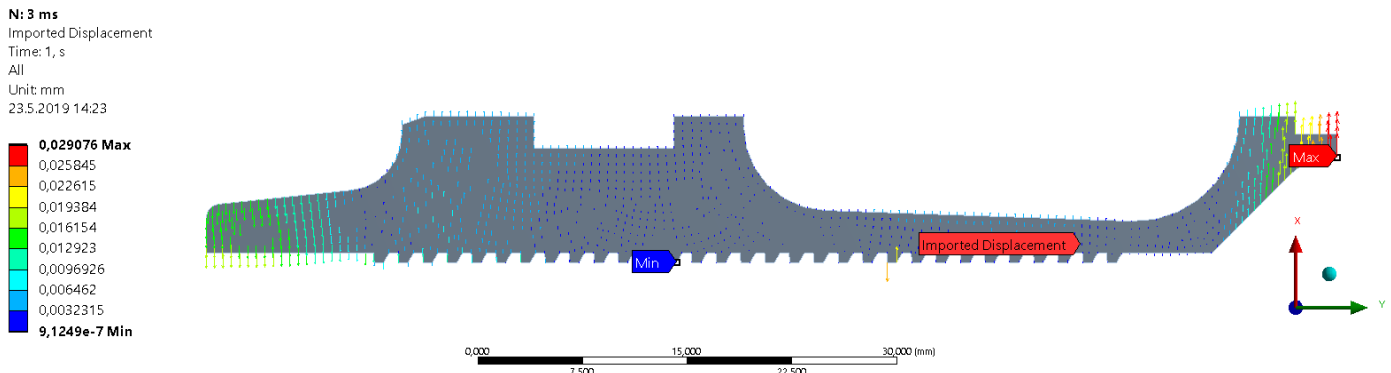
Obr. 27 Výsledný posuv



Obr. 28 Výsledná plasticita

3.6. Časový okamžik 3 ms

3.6.1. Posuvy v ose X



Obr. 29 Importované posuvy v ose X

Wed Mar 20, 2019 19:38:46

Using multiple cores: [Yes]
Number of cores requested: 8

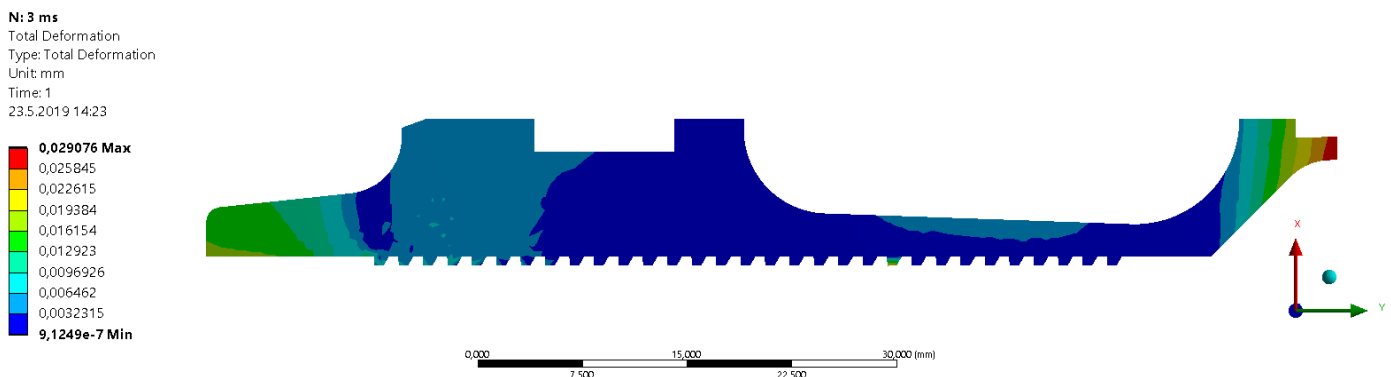
Maximum source mesh bounding box length: 0.15619 (m)
Maximum range used in sorting closest nodes: 0.0002 (m)

Number of source nodes: 1426
Number of target nodes: 1428

Number of nodes mapped : 1127
Number of nodes not mapped : 301
Number of nodes outside : 0

Percent nodes mapped: 78%
Weight calculation time: 0.295 (s)
Number of variables to interpolate: 1.
Interpolation time: 1.e-003 (s)

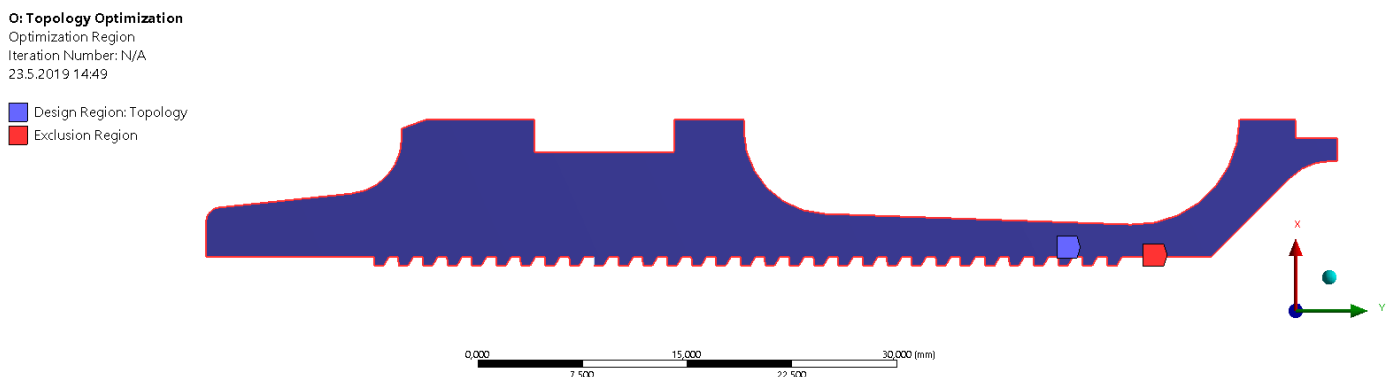
3.6.2. Výsledek



Obr. 30 Výsledný posuv

4. Topologická optimalizace

4.1.1. Obálka



Obr. 31 zvolená oblast

Details of "Optimization Region"	
<input checked="" type="checkbox"/>	Design Region
Scoping Method	Geometry Selection
Geometry	1 Body
<input checked="" type="checkbox"/>	
Exclusion Region	
Define By	Geometry Selection
Geometry	146 Edges
<input checked="" type="checkbox"/>	
Optimization Option	
Optimization Type	Topology Optimization - Density B...

Obr. 32 nastavení hranic optimalizace

4.1.2. Optimalizační podmínka

Details of "Response Constraint"	
Scope	
Scoping Method	Optimization Region
Optimization Region Selection	Optimization Region
Definition	
Type	Response Constraint
Response	Volume
Define By	Range
<input type="checkbox"/> Percent to Retain (Min)	40 %
<input type="checkbox"/> Percent to Retain (Max)	60 %
Suppressed	No

Obr. 33 Optimalizační podmínka

4.1.3. Dodatečná omezující podmínka

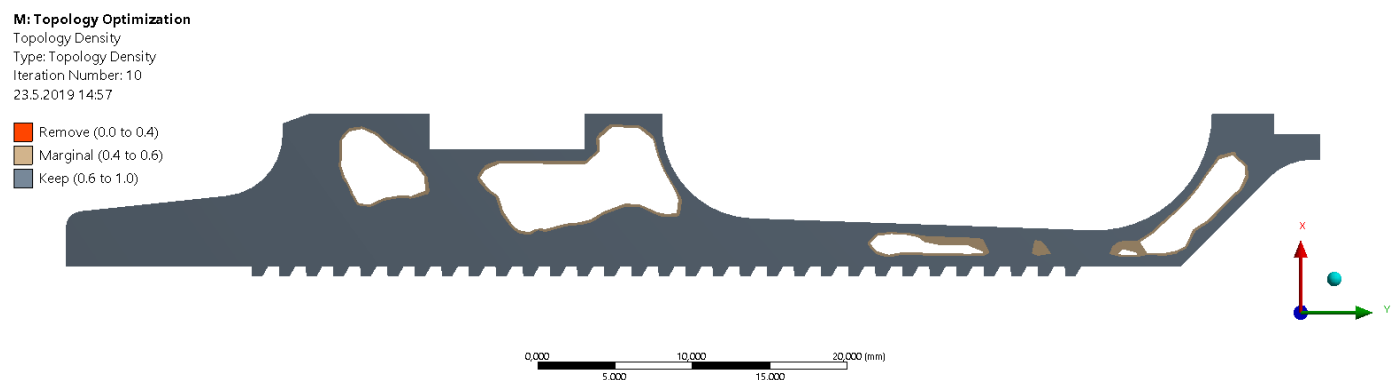
Minimální tloušťka stěny musí být 1,5 mm.

Details of "Manufacturing Constraint"	
Scope	
Scoping Method	Optimization Region
Optimization Region Selection	Optimization Region
Definition	
Type	Manufacturing Constr...
Subtype	Member Size
Suppressed	No
Member Size	
Minimum	Manual
<input type="checkbox"/> --Min Size	1,5 mm
Maximum	Program Controlled

Obr. 34 Nastavení minimální tloušťky stěny

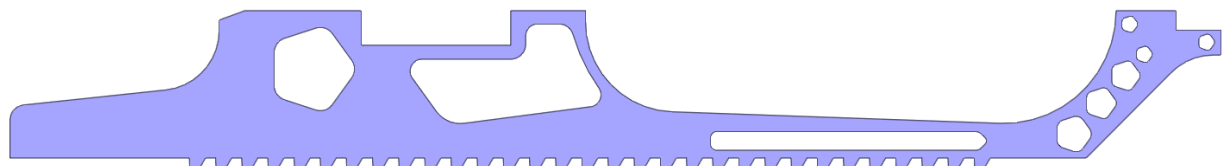
5. Výsledky topologické optimalizace

5.1. Topologická optimalizace

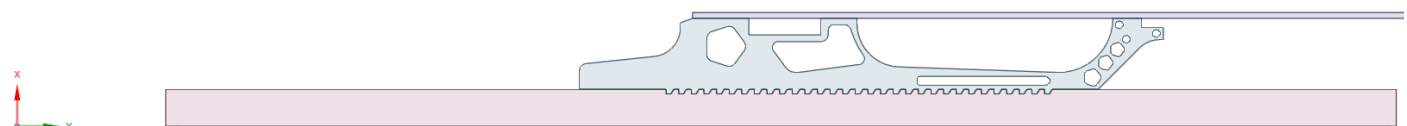


Obr. 35 Kinetická energie (modrá)

5.2. Výsledný model pro validaci



Obr. 36 Posuv střely



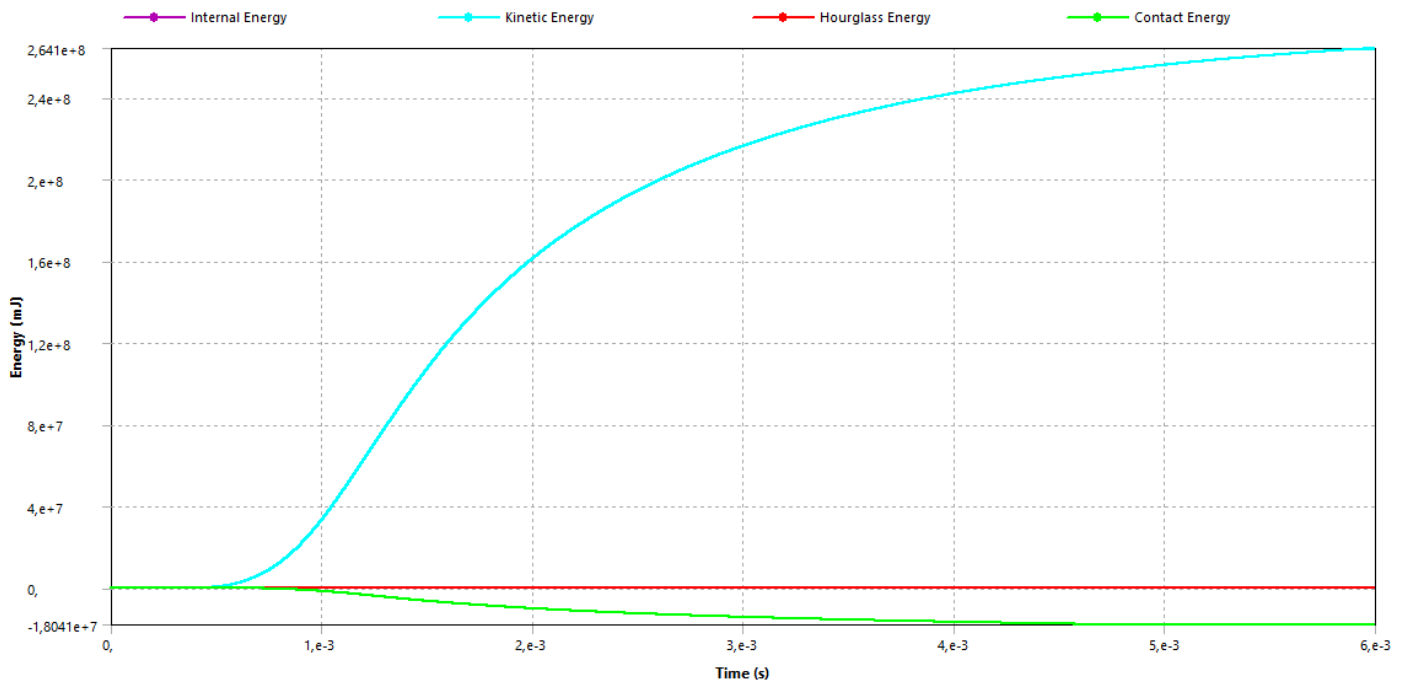
Obr. 37 kompletní geometrie

6. Verifikace modelu

Verifikace byla provedena v podobě dynamické analýzy, kde se nová geometrie vložila do stávající analýzy. Dynamická analýza a její nastavení je podrobně popsáno v příloze 6, zde budou vyobrazeny pouze výsledky.

6.1. Souhrn energií

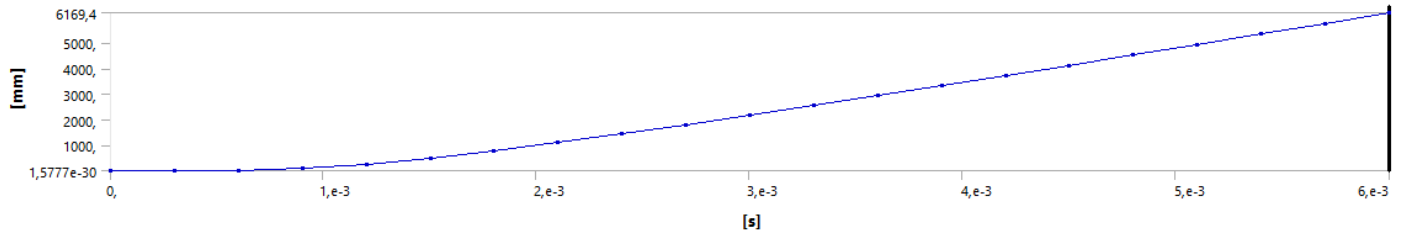
Z grafu je patrné, že při výstřelu nedošlo k poškození střely (Vnitřní energie = 0)



Obr. 38 souhrn energií

6.2. Posuv střely

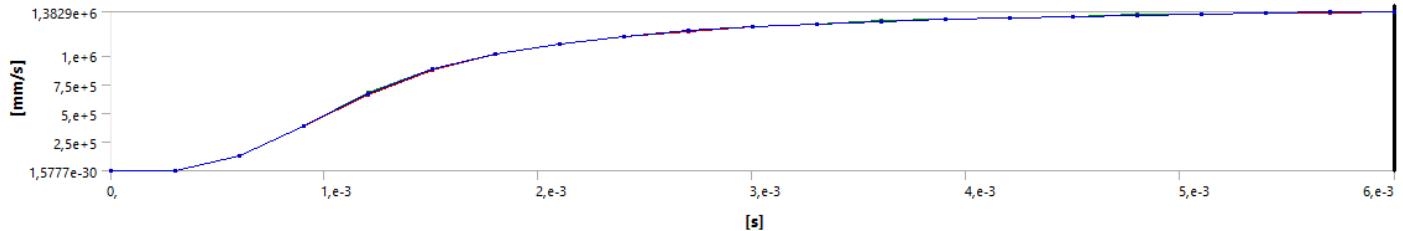
Střela urazila $6,2\text{ m}$ za 6 ms .



Obr. 39 posuv střely

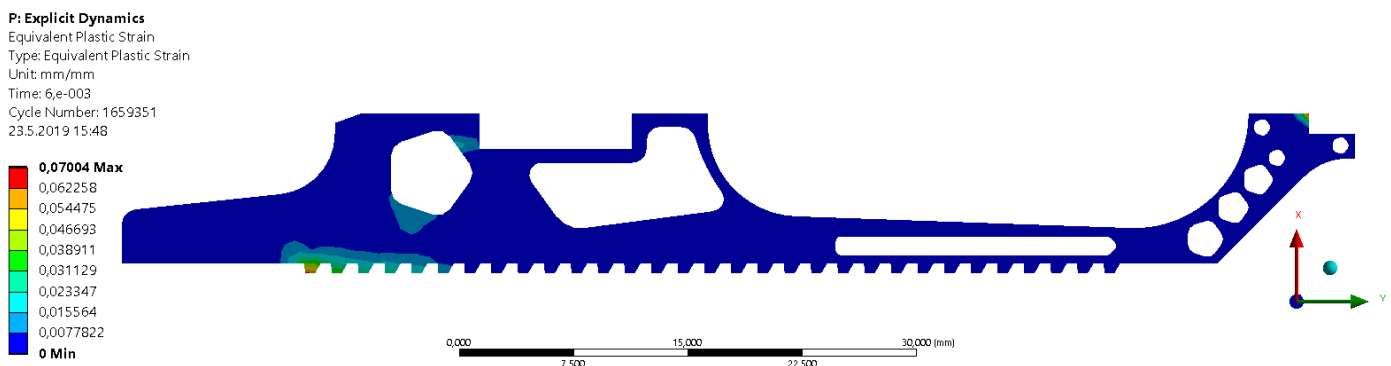
6.3. Rychlosť strelby

Rychlosť strely na ústnej hlavni je 1382 m/s .



Obr. 40 rychlosť strelky

6.4. Plasticke přetvoření



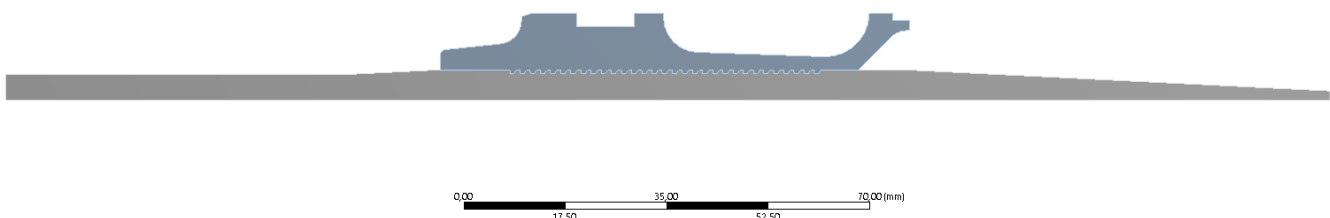
Obr. 41 Plasticke přetvoření v čase 6 ms

7. Dodatek

Zde je popsáno nastavení pyrostatiky, jehož výsledky reprezentovali jeden zátěžný stav pro topologickou optimalizaci

7.1. Geometrie

Model
23.5.2019 15:31

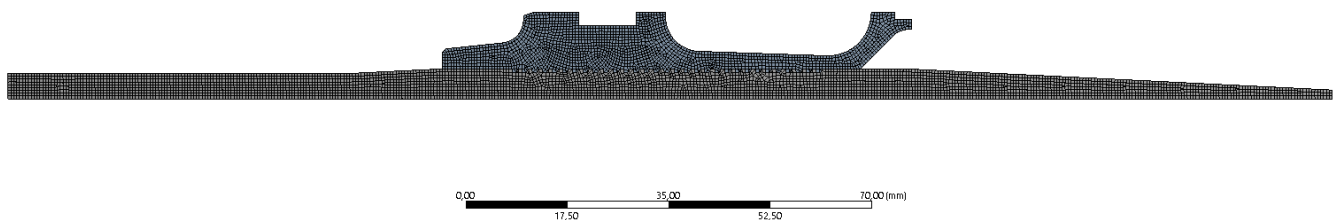


Obr. 42 geometrie střely

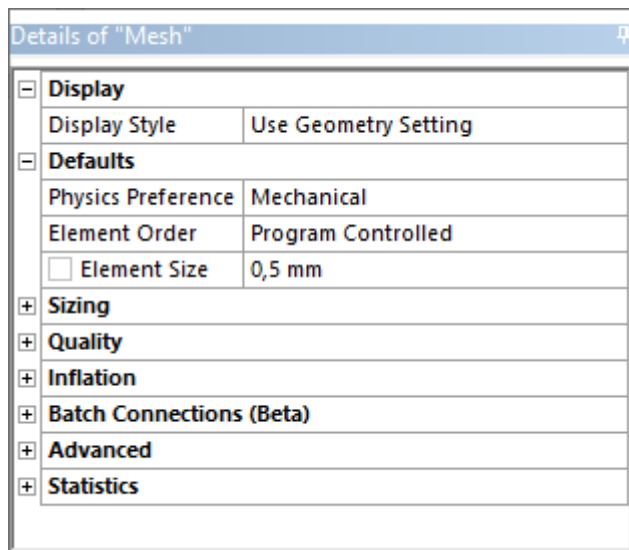
7.2. Materiálové vlastnosti

Jsou shodné s topologickou optimalizací, viz kapitola 2.2

7.3. Sít'



Obr. 43 síť střely

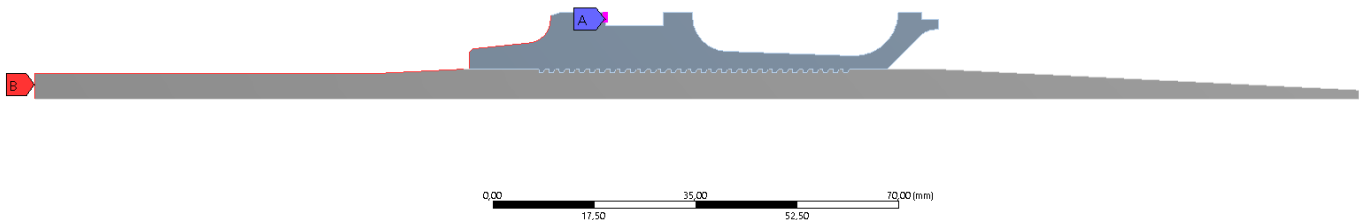


Obr. 44 Nastavení sítě

7.4. Okrajové podmínky

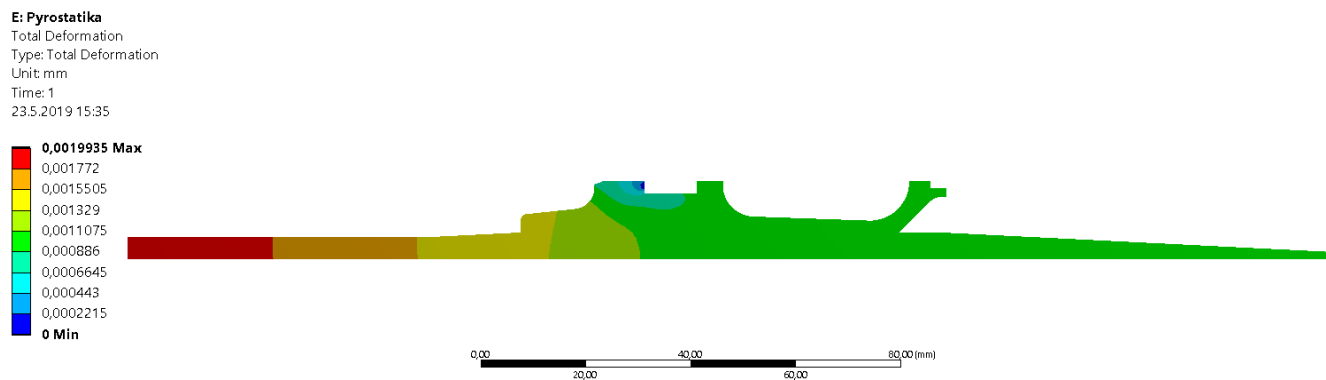
E: Pyrostatika
Static Structural
Time: 1, s
23.5.2019 15:33

A Fixed Support
B Pressure: 4, MPa

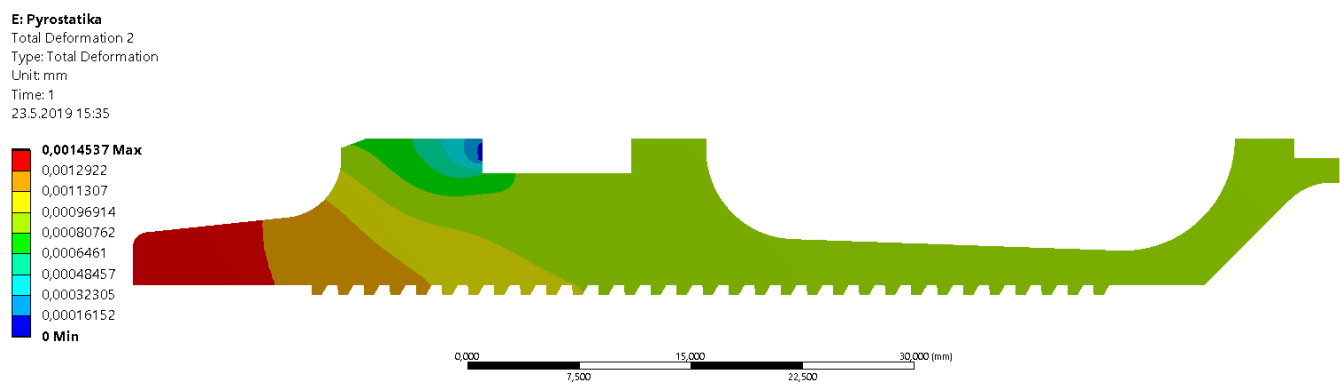


Obr. 45 Okrajové podmínky

7.5. Celkový posuv



Obr. 46 Celkový posuv

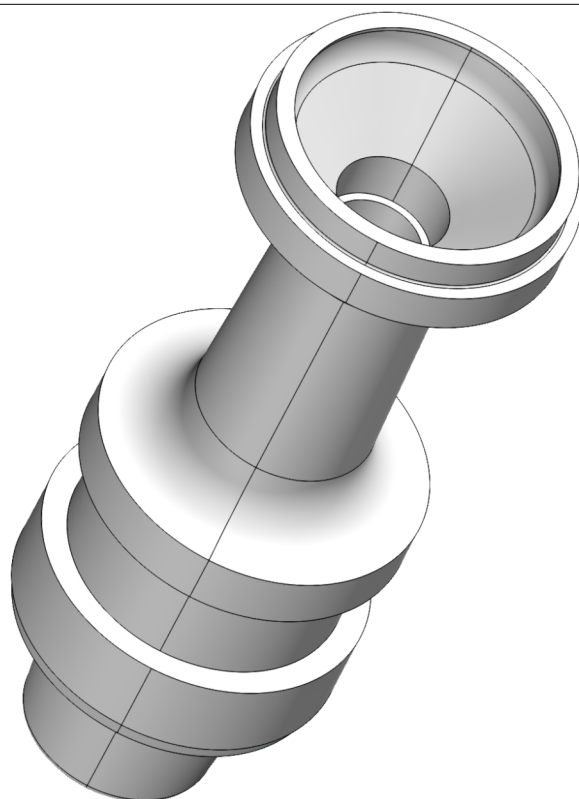


Obr. 47 Detail sabotu

Příloha 8

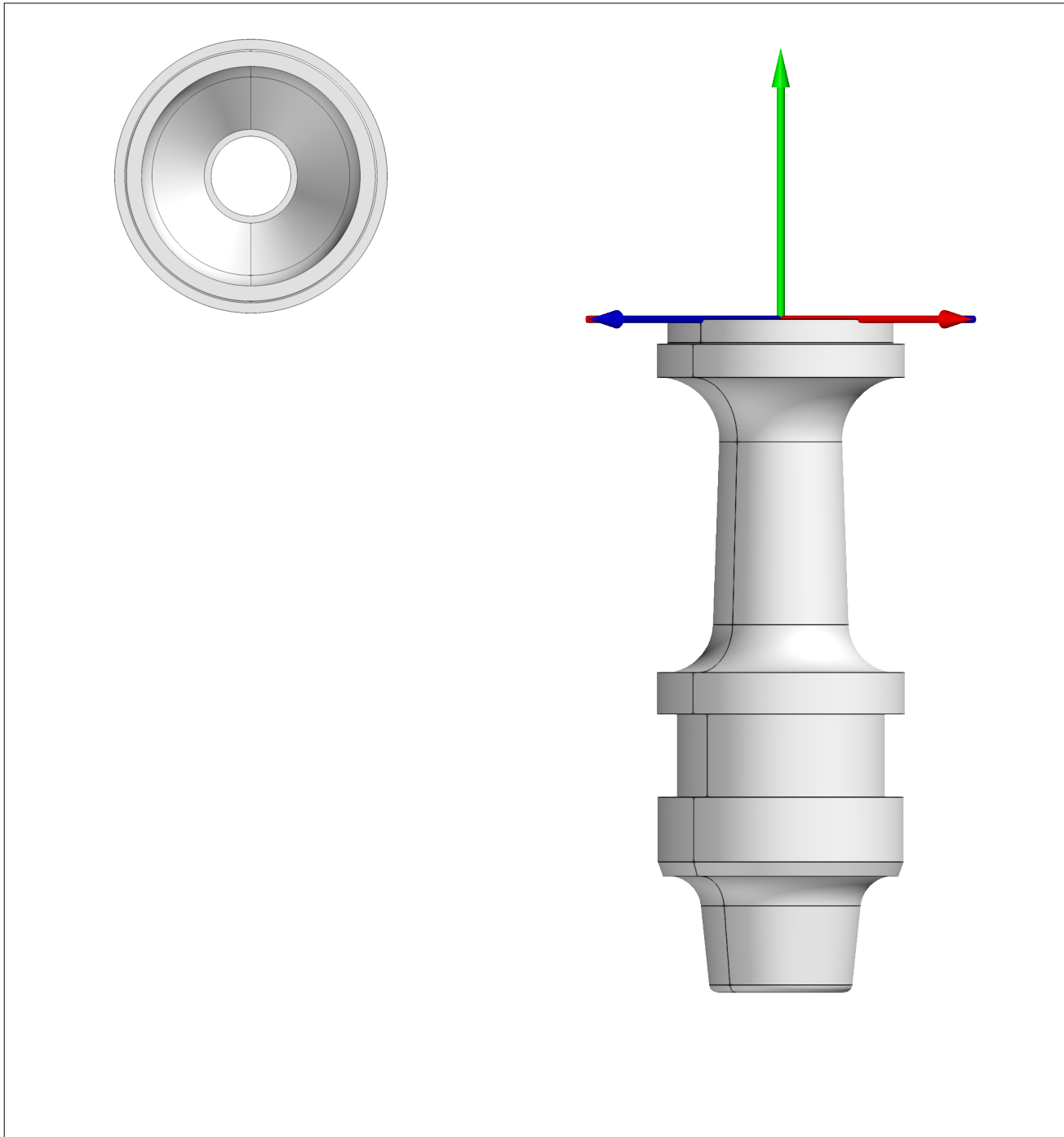
GOM ATOS TRIPLE SCAN Report
Inspekce sabotu

Date: 28.2.2019



Part: Sabot, celek, po stavbě

Inspector: Jan Hajda

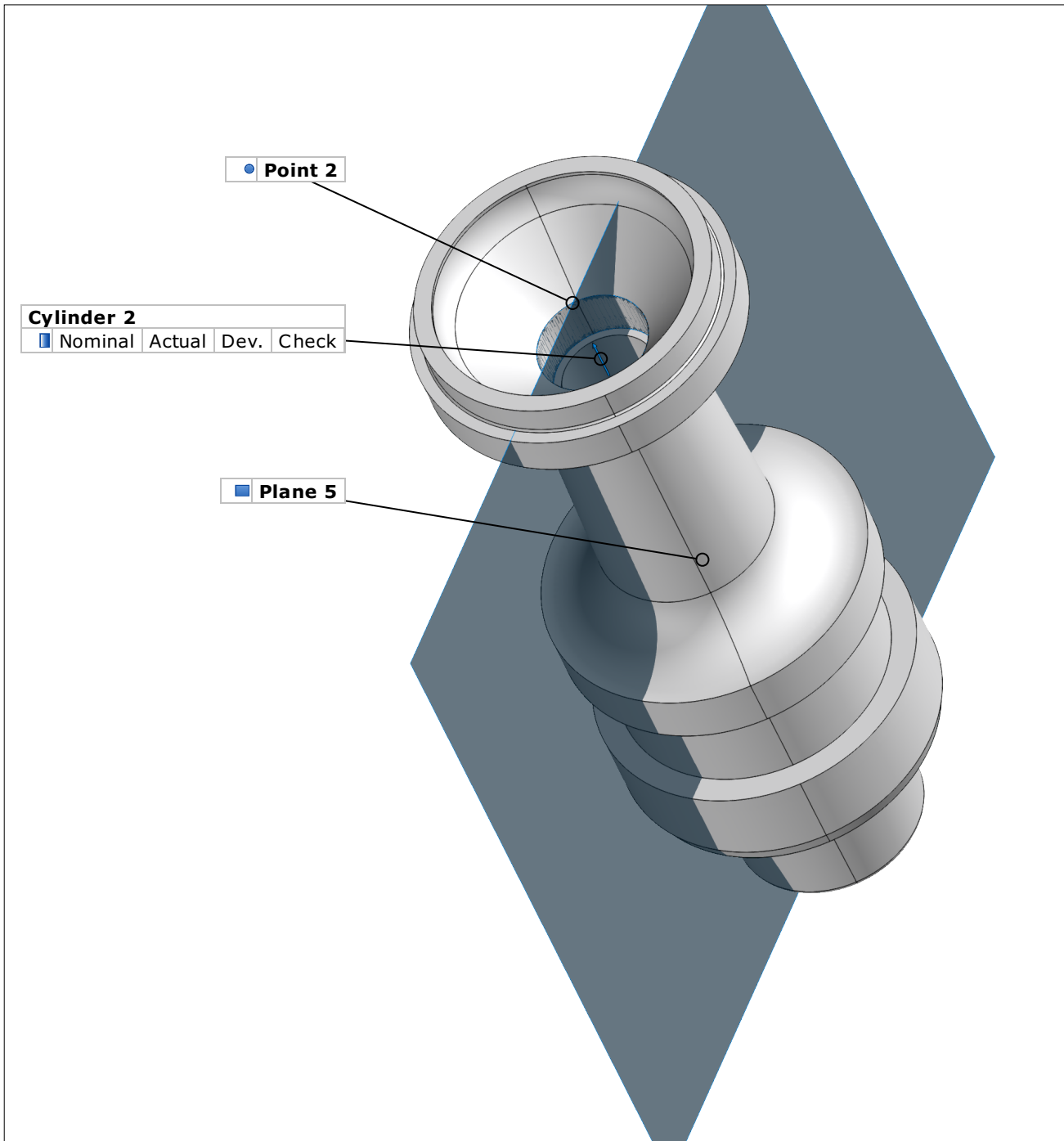


Length unit: mm

Inspector: Jan Hajda
Company: VUT
Department: UK
Location: Brno, CZ
Project: Inspekcí sabotu

Date: 28.2.2019
Part no.: 2019-02-01_01
System: GOM Inspect 2018
Alignment:



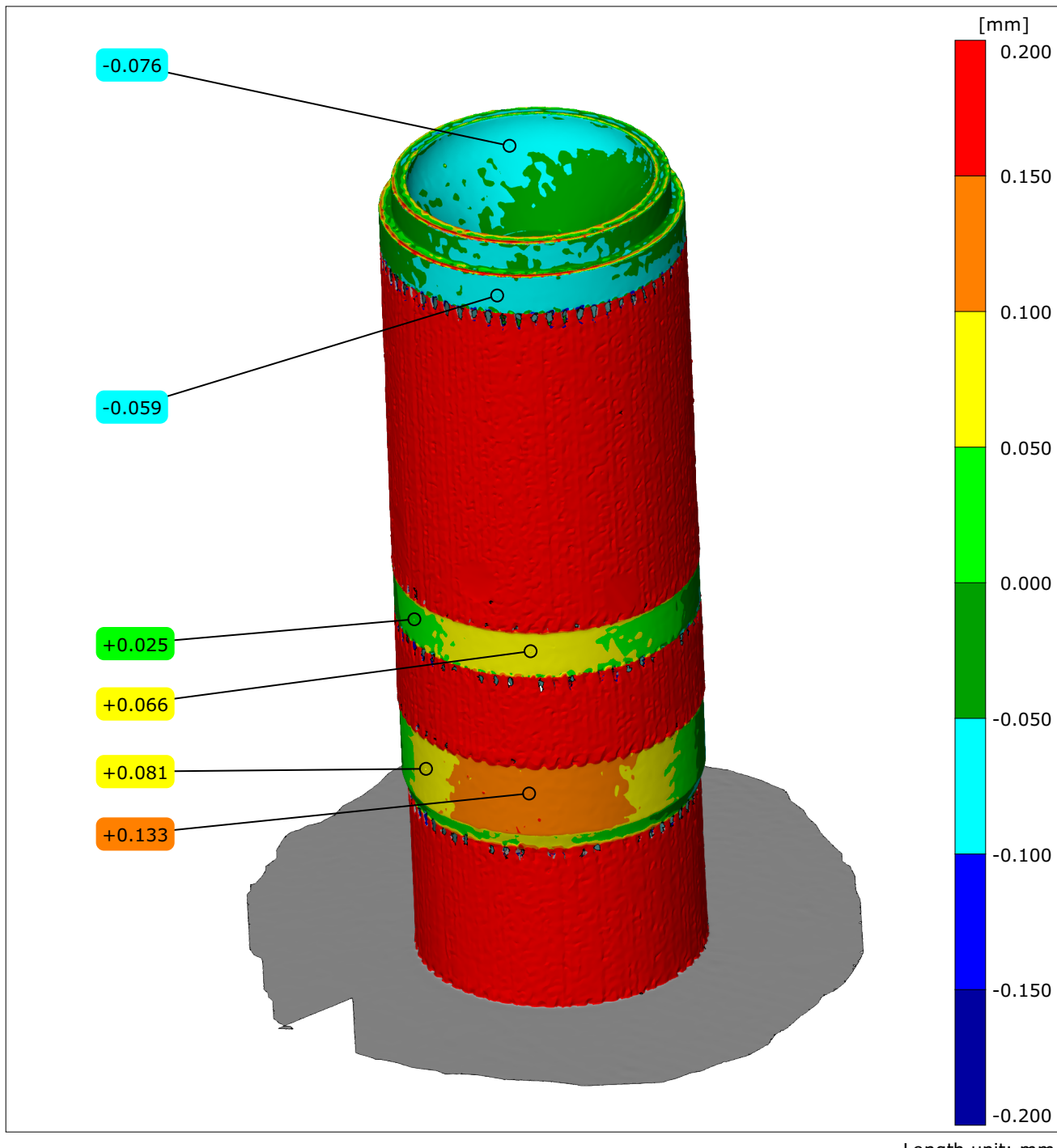


Length unit: mm

Inspector: Jan Hajda
Company: VUT
Department: UK
Location: Brno, CZ
Project: Inspekcí sabotu

Date: 28.2.2019
Part no.: 2019-02-01_01
System: GOM Inspect 2018
Alignment: Plane-line-point

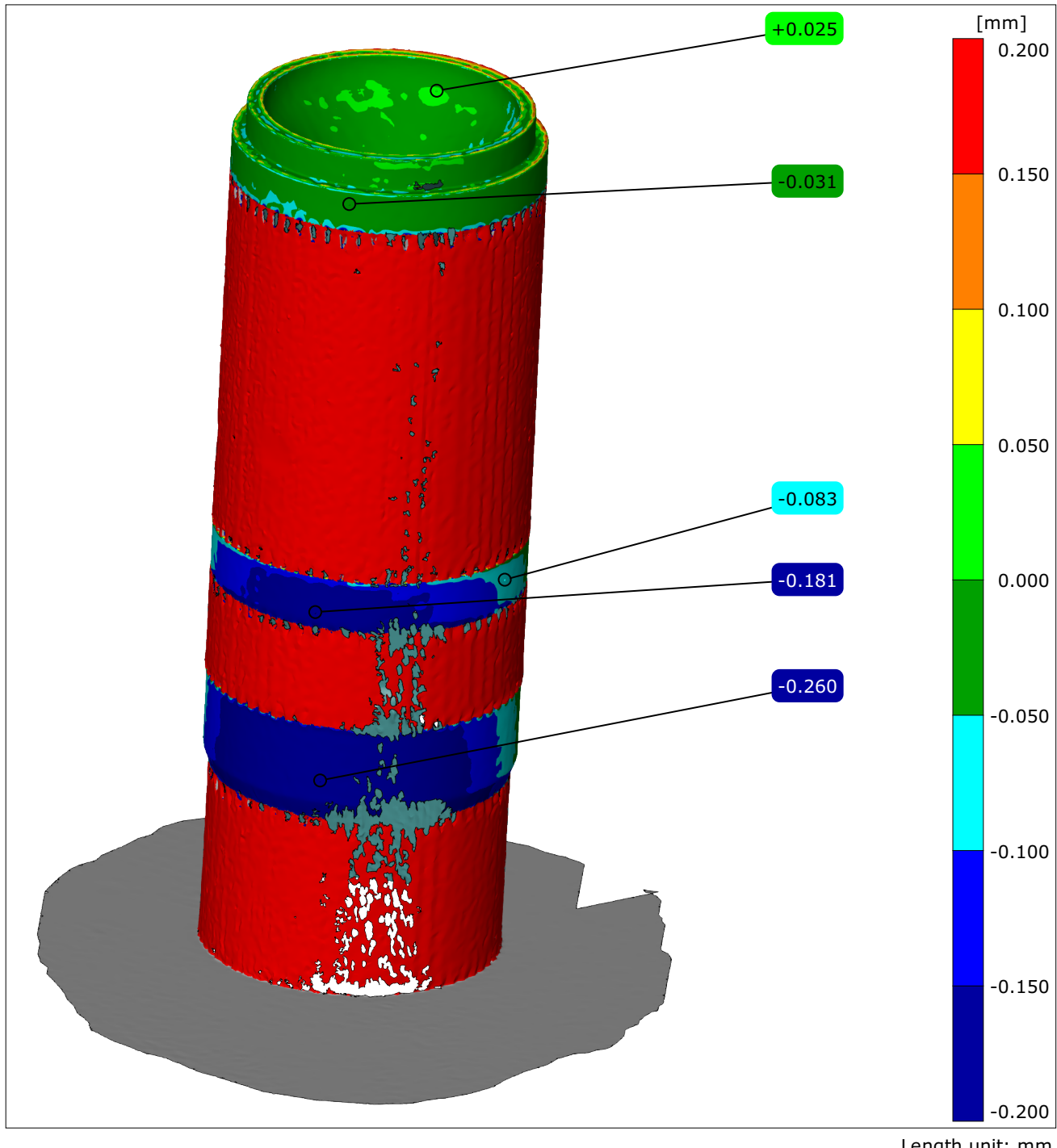




Inspector: Jan Hajda
Company: VUT
Department: UK
Location: Brno, CZ
Project: Inspekcí sabotu

Date: 28.2.2019
Part no.: 2019-02-01_01
System: GOM Inspect 2018
Alignment: Plane-line-point

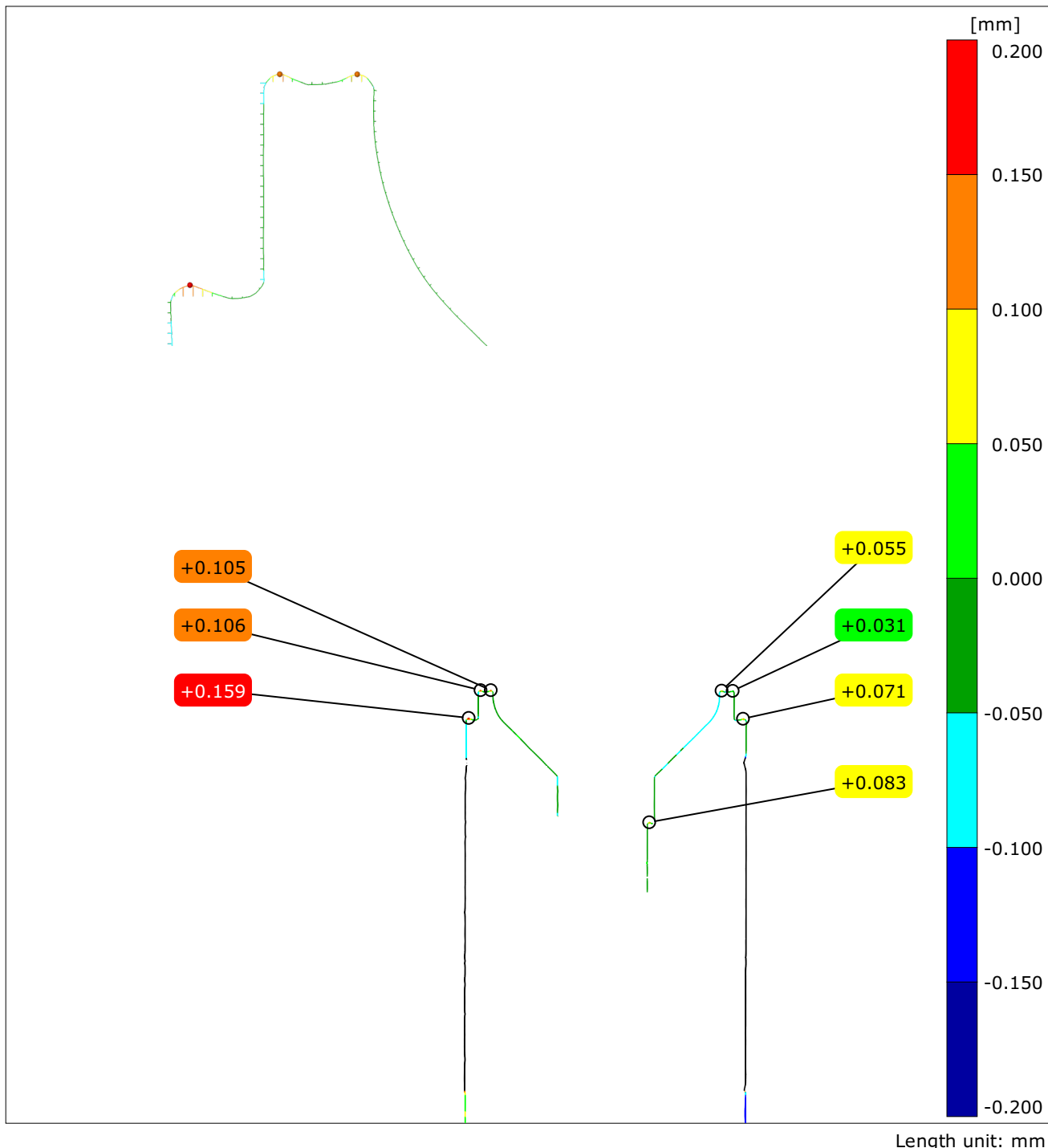




Inspector: Jan Hajda
Company: VUT
Department: UK
Location: Brno, CZ
Project: Inspekcí sabotu

Date: 28.2.2019
Part no.: 2019-02-01_01
System: GOM Inspect 2018
Alignment: Plane-line-point



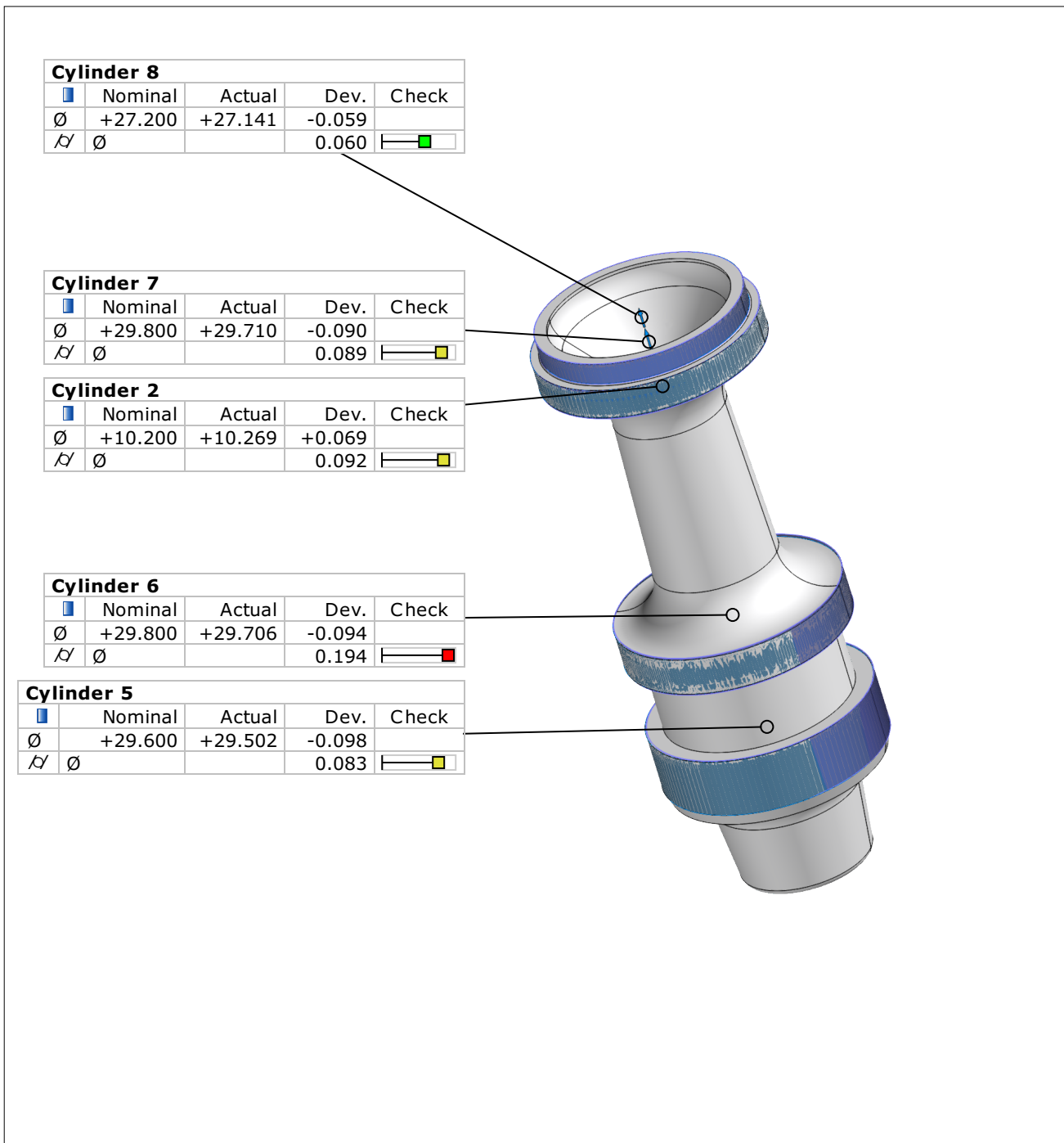


Length unit: mm

Inspector: Jan Hajda
Company: VUT
Department: UK
Location: Brno, CZ
Project: Inspekcí sabotu

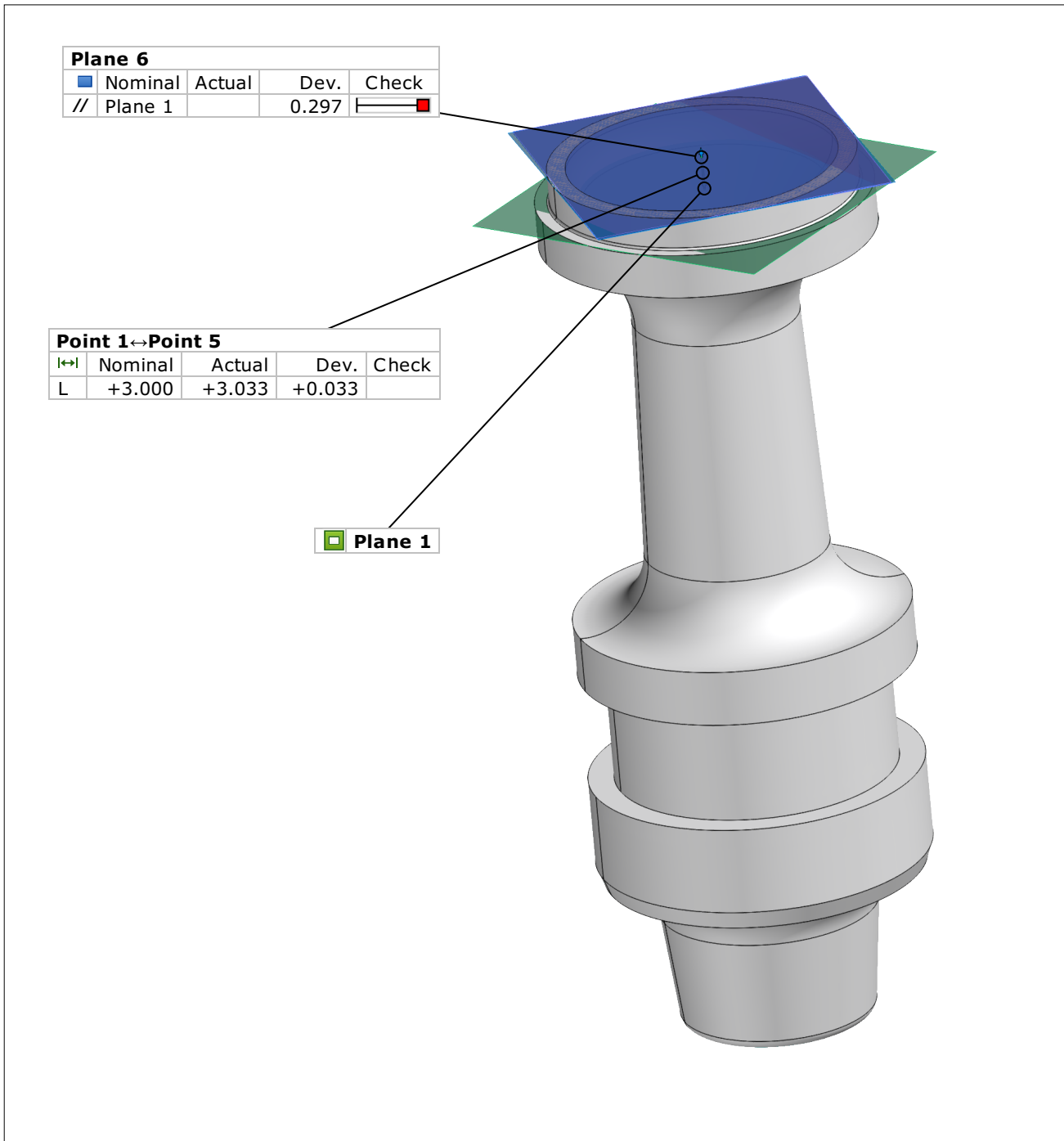
Date: 28.2.2019
Part no.: 2019-02-01_01
System: GOM Inspect 2018
Alignment: Plane-line-point





Length unit: mm

Inspector: Jan Hajda Company: VUT Department: UK Location: Brno, CZ Project: Inspekcí sabotu	 NETME Centre <i>Centre for Research and Development</i>
Date: 28.2.2019 Part no.: 2019-02-01_01 System: GOM Inspect 2018 Alignment: Plane-line-point	



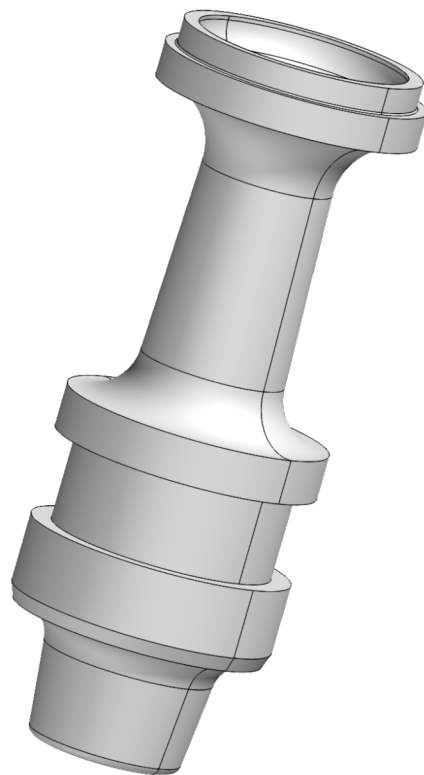
Length unit: mm

Inspector: Jan Hajda Company: VUT Department: UK Location: Brno, CZ Project: Inspekcí sabotu	Date: 28.2.2019 Part no.: 2019-02-01_01 System: GOM Inspect 2018 Alignment: Plane-line-point	 NETME Centre Centre for Research and Development
--	---	--

Příloha 9

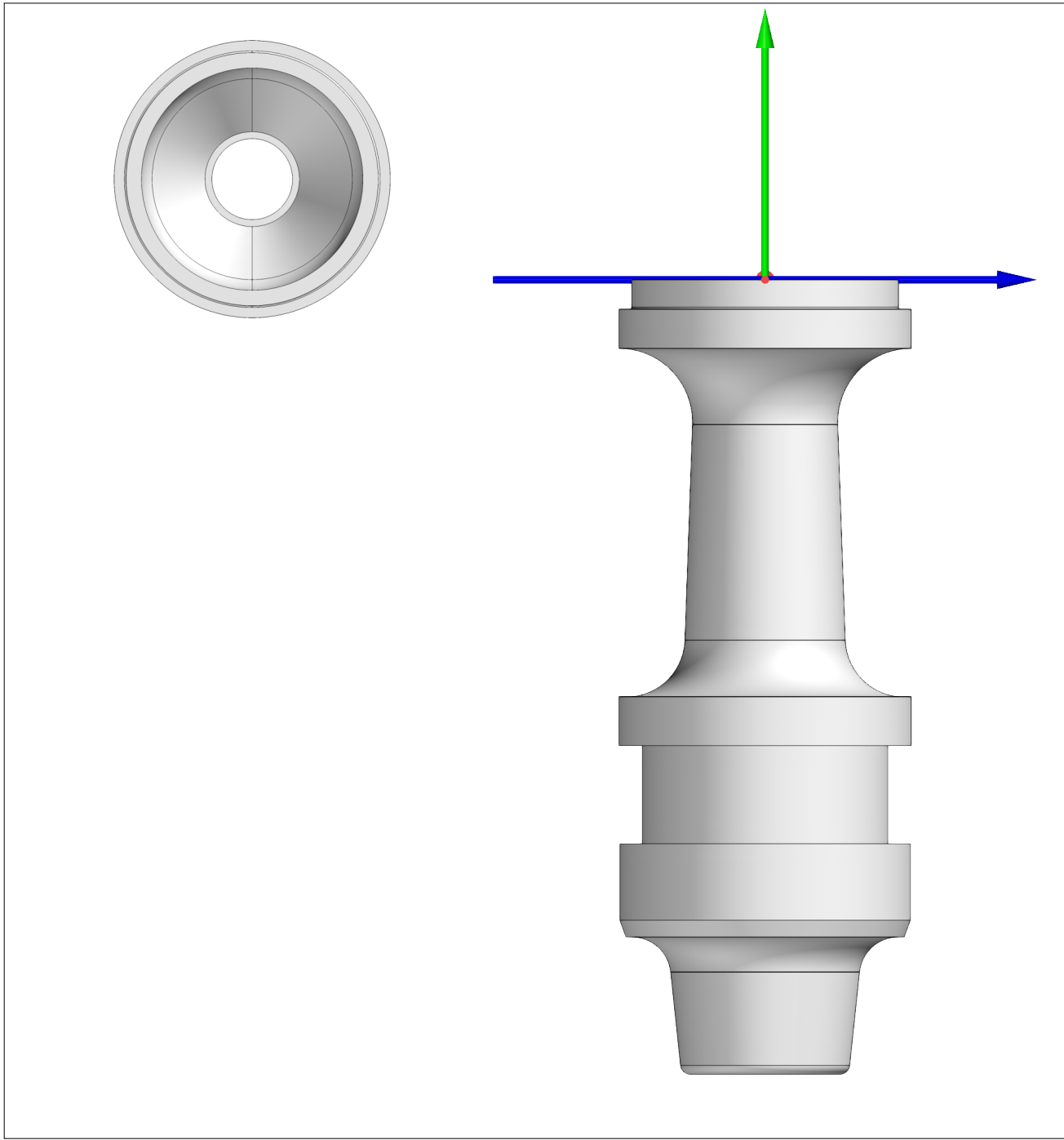
GOM ATOS TRIPLE SCAN Report
Inspekce sabotu

Date: 28.2.2019



Part: Sabot, celek, bez podpor

Inspector: Jan Hajda

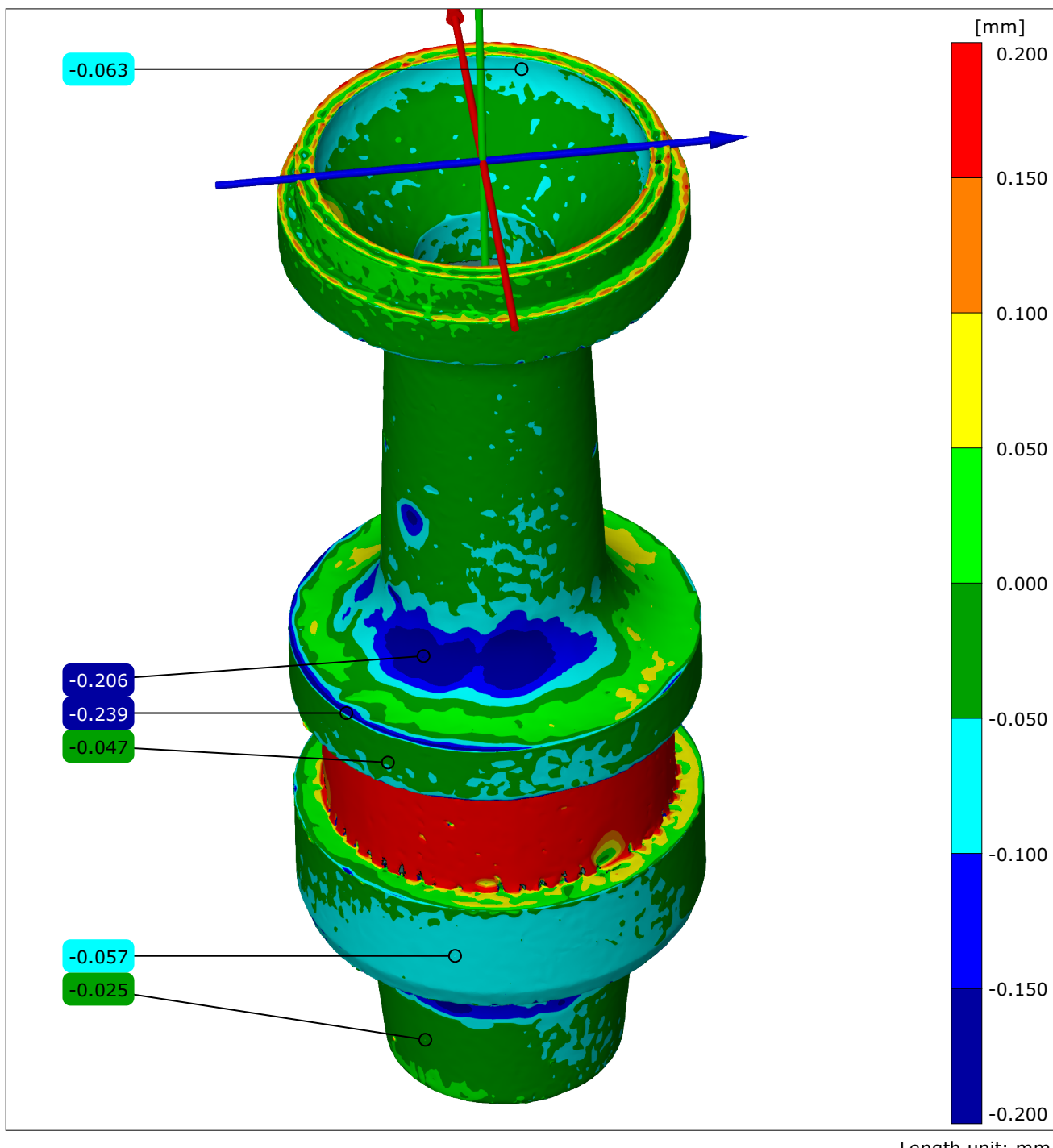


Length unit: mm

Inspector: Jan Hajda
Company: VUT
Department: UK
Location: Brno, CZ
Project: Inspekcí sabotu

Date: 28.2.2019
Part no.: 2019-02-01_02
System: GOM Inspect 2018
Alignment:

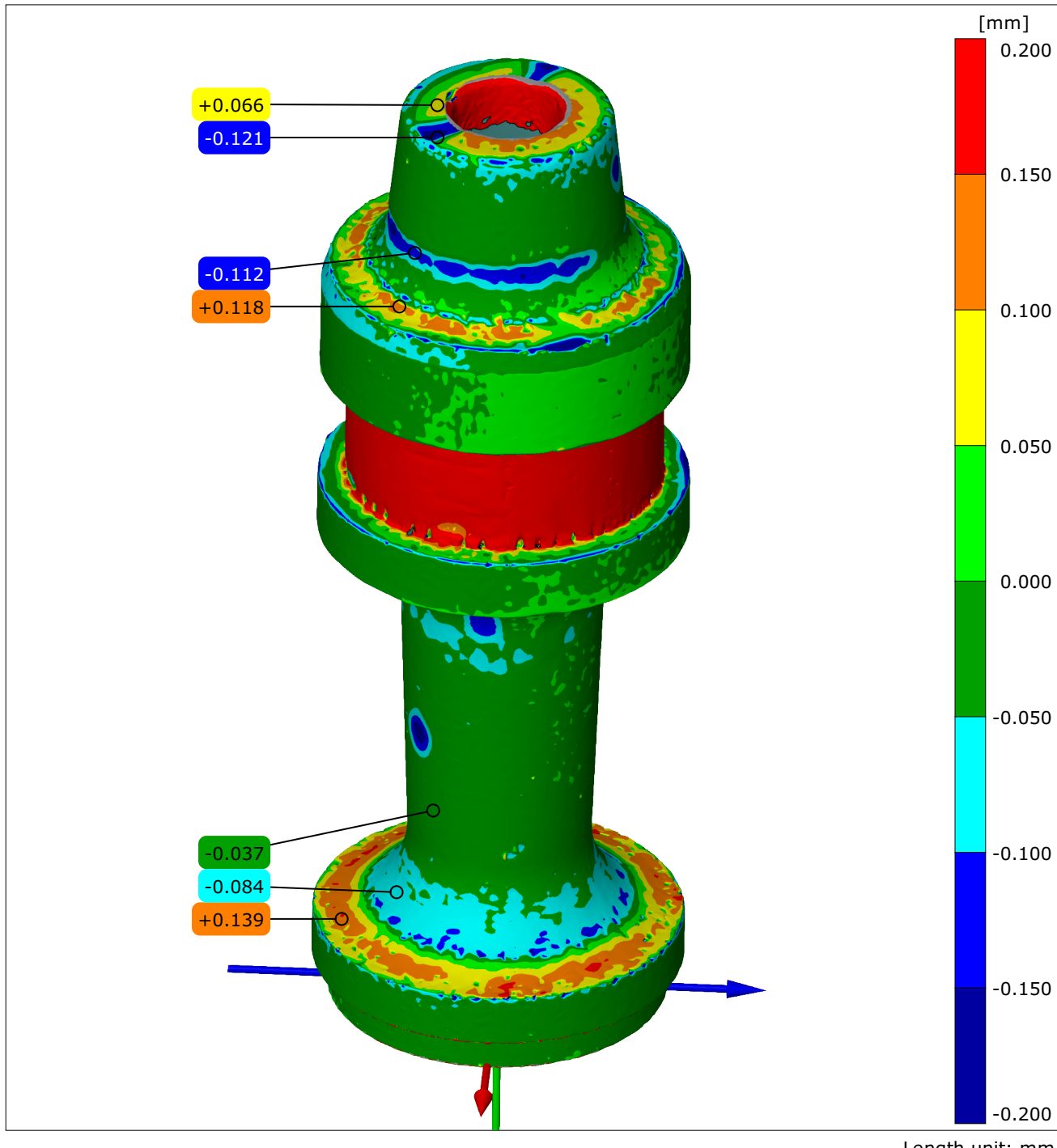




Inspector: Jan Hajda
Company: VUT
Department: UK
Location: Brno, CZ
Project: Inspekcí sabotu

Date: 28.2.2019
Part no.: 2019-02-01_02
System: GOM Inspect 2018
Alignment: Prealignment

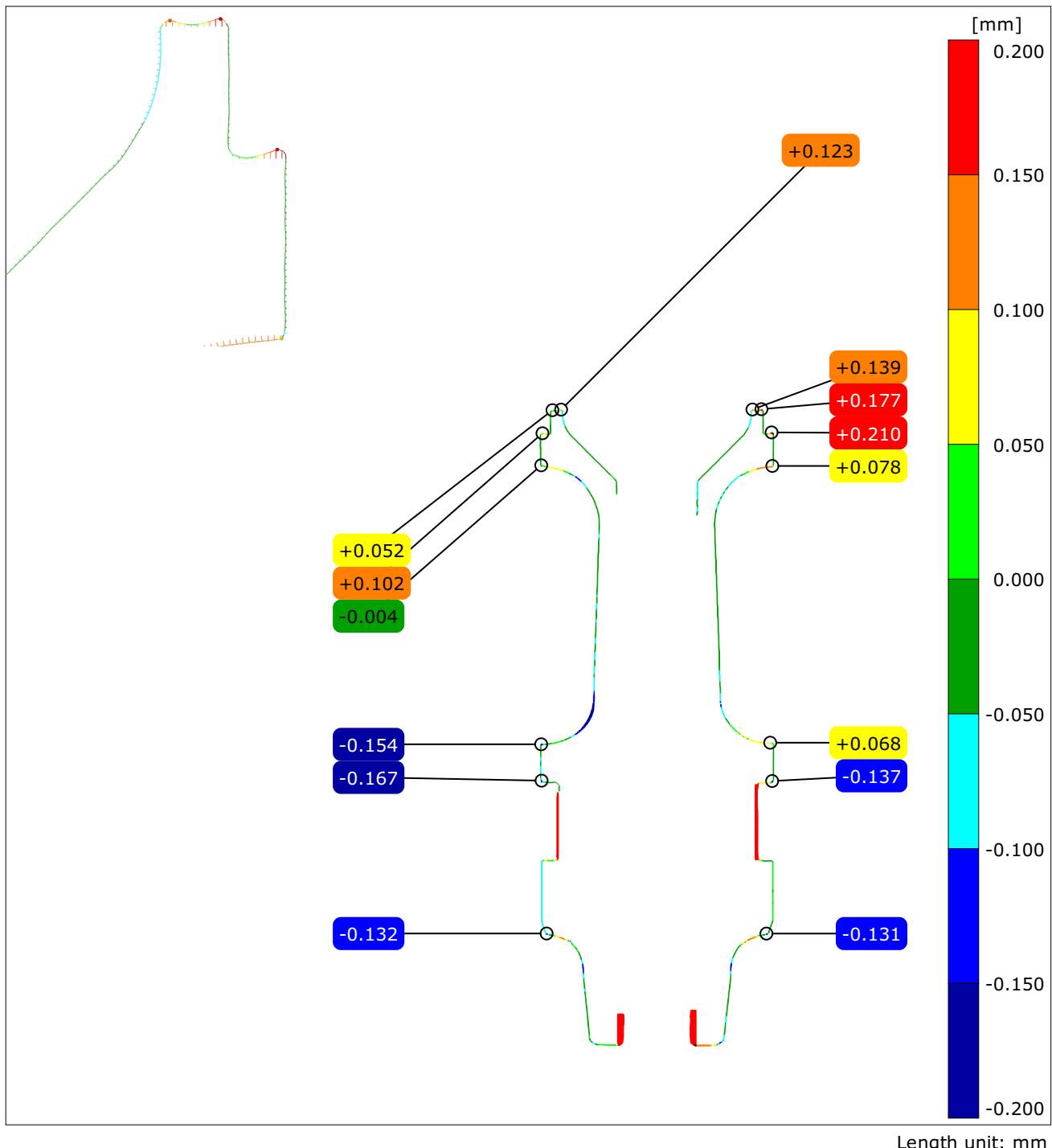




Inspector: Jan Hajda
Company: VUT
Department: UK
Location: Brno, CZ
Project: Inspekcí sabotu

Date: 28.2.2019
Part no.: 2019-02-01_02
System: GOM Inspect 2018
Alignment: Prealignment

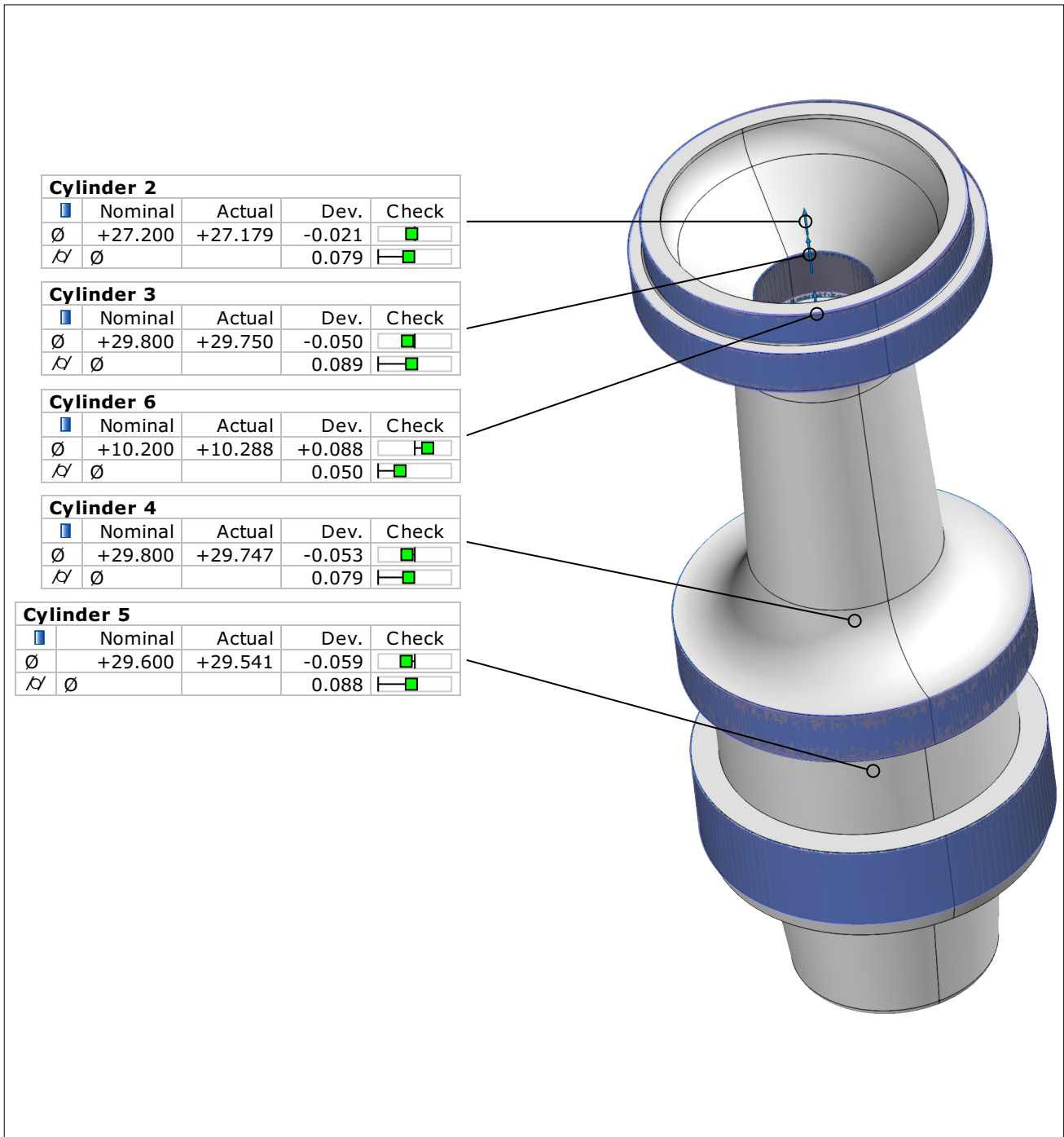




Inspector: Jan Hajda
 Company: VUT
 Department: UK
 Location: Brno, CZ
 Project: Inspekcí sabotu

Date: 28.2.2019
 Part no.: 2019-02-01_02
 System: GOM Inspect 2018
 Alignment: Prealignment



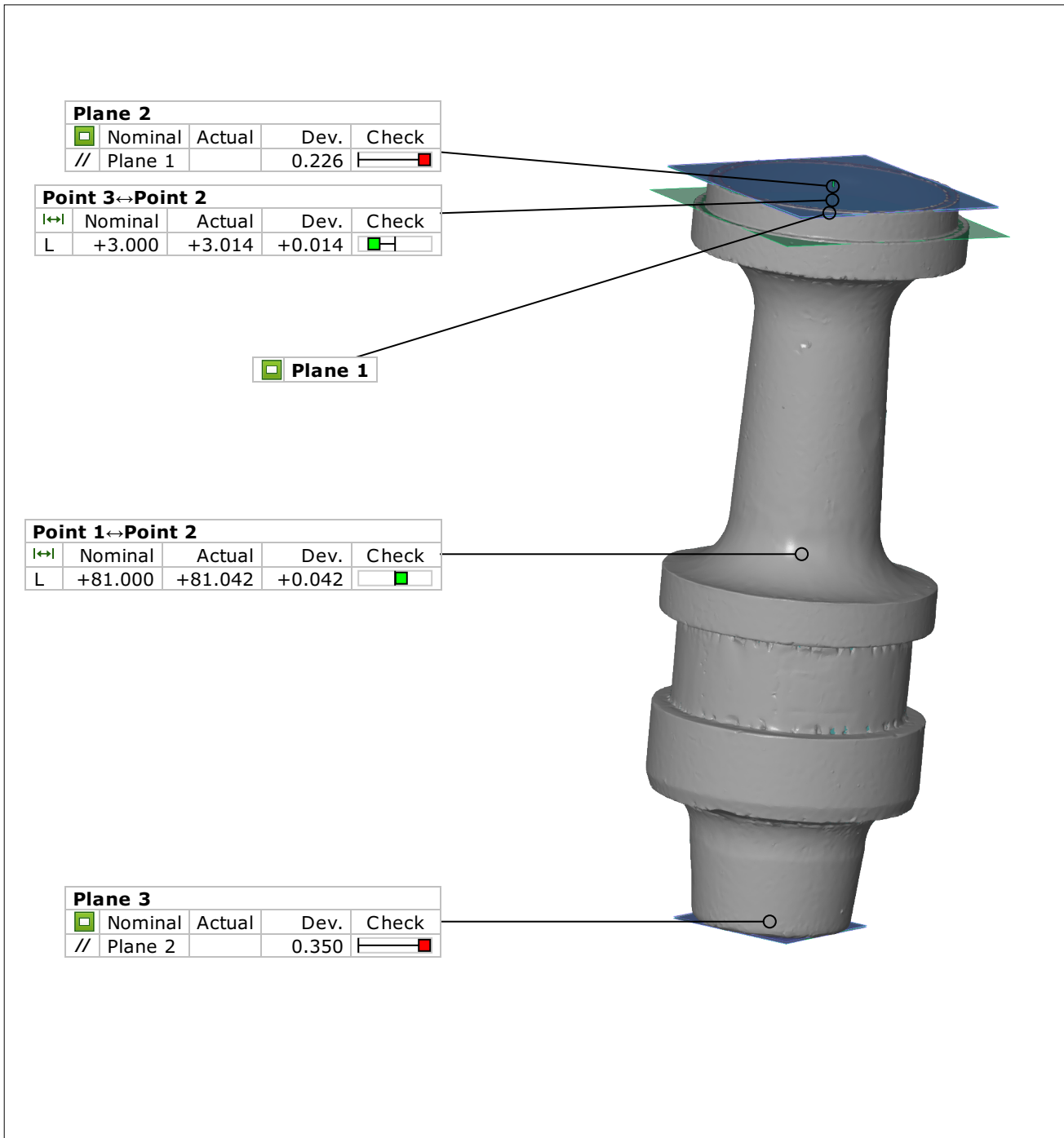


Length unit: mm

Inspector: Jan Hajda
 Company: VUT
 Department: UK
 Location: Brno, CZ
 Project: Inspekcí sabotu

Date: 28.2.2019
 Part no.: 2019-02-01_02
 System: GOM Inspect 2018
 Alignment: Prealignment





Length unit: mm

Inspector: Jan Hajda
 Company: VUT
 Department: UK
 Location: Brno, CZ
 Project: Inspekcí sabotu

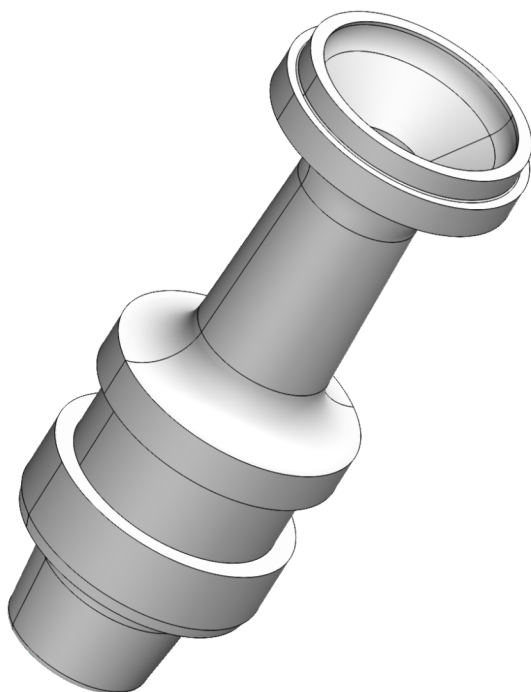
Date: 28.2.2019
 Part no.: 2019-02-01_02
 System: GOM Inspect 2018
 Alignment: Prealignment



Příloha 10

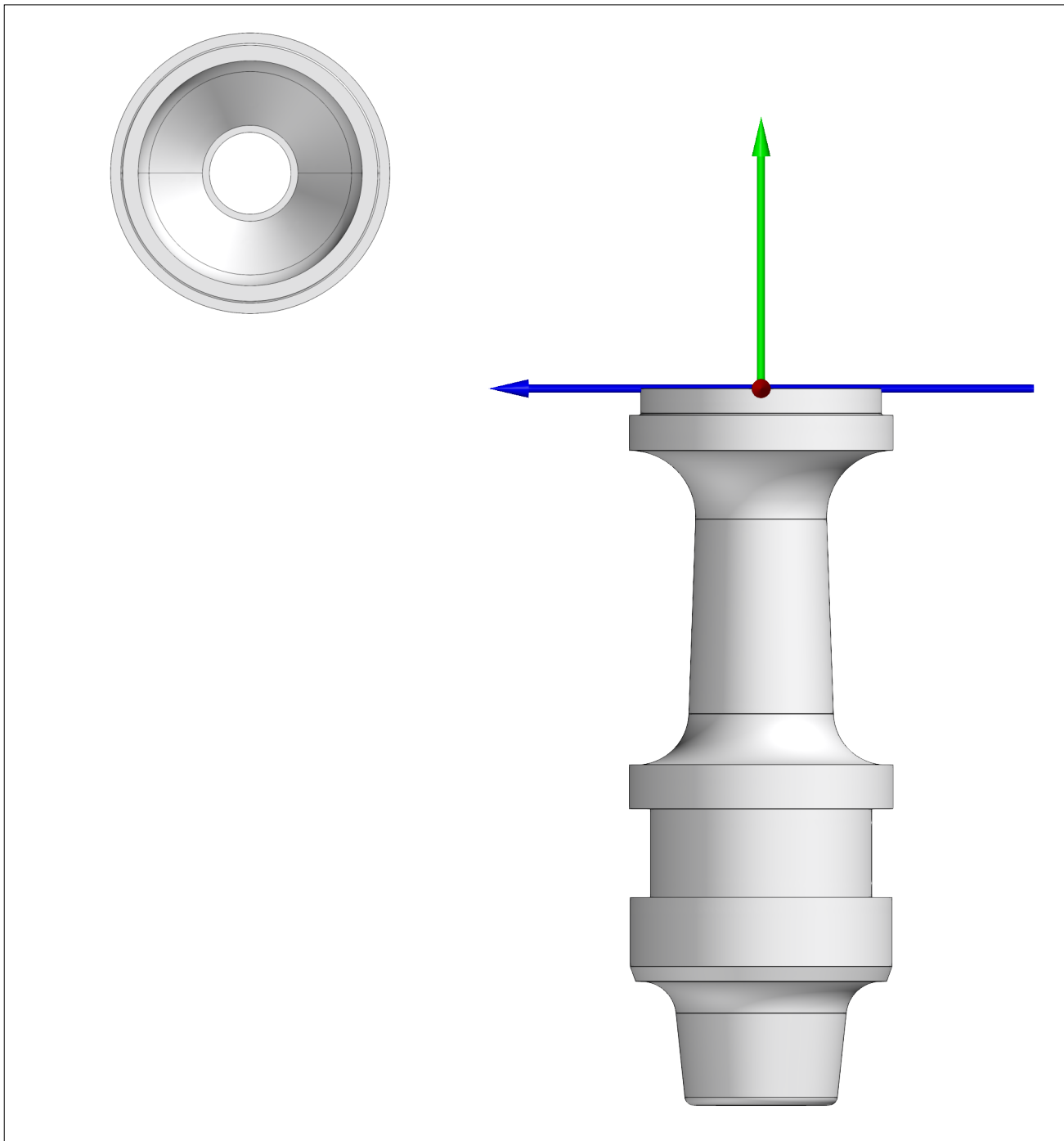
GOM ATOS Inspection Report

Date: 23.4.2019



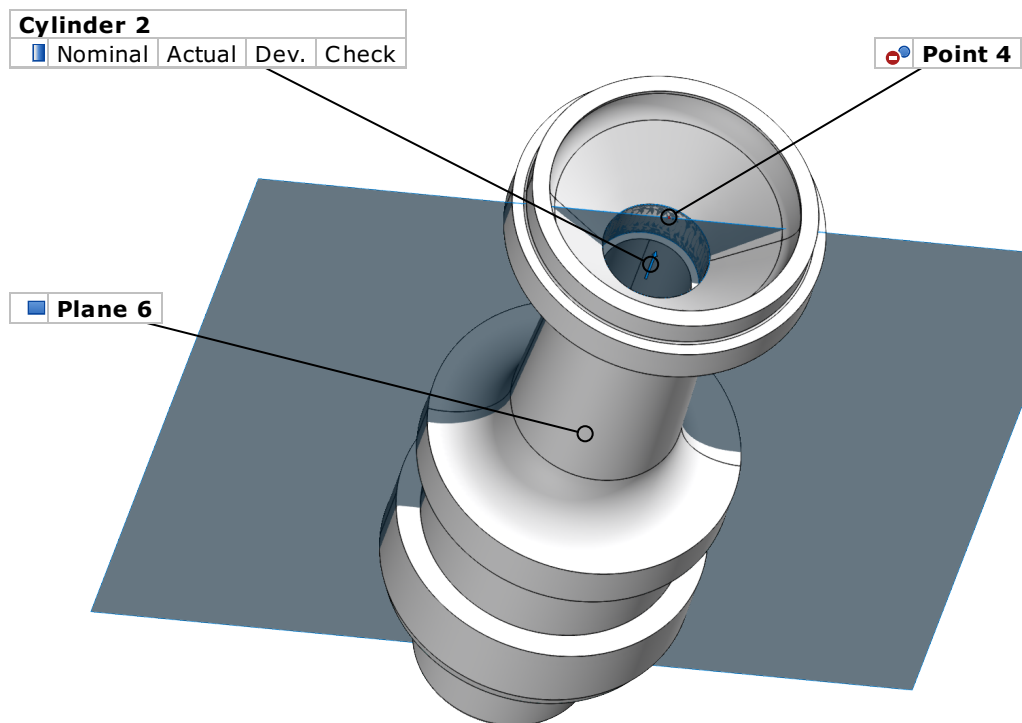
Sabot, celek, po stavbě, odlehčeno

Inspector: Jan Hajda



Length unit: mm

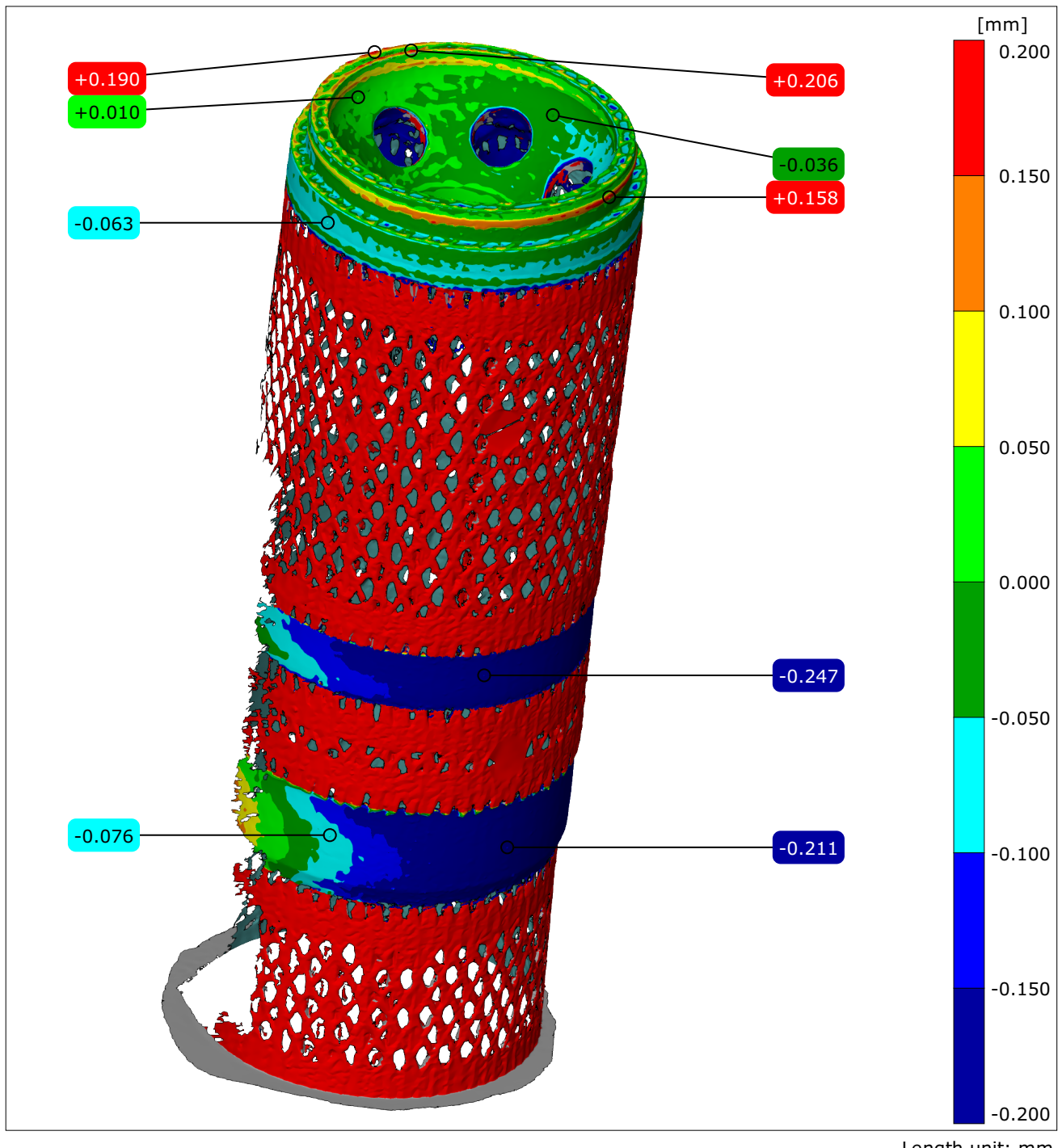
Inspector: Jan Hajda Company: VUT Department: UK Location: Czech Republic Date: 23.4.2019	Project: Inspekce sabotu Part: Sabot, celek, po stavbě, odlehčeno Part no.: 2019-04-02_01 Version: Charge no.: ---
System: GOM Inspect 2018 Alignment:	 NETME Centre Centre for Research and Development  www.3dlaboratory.cz



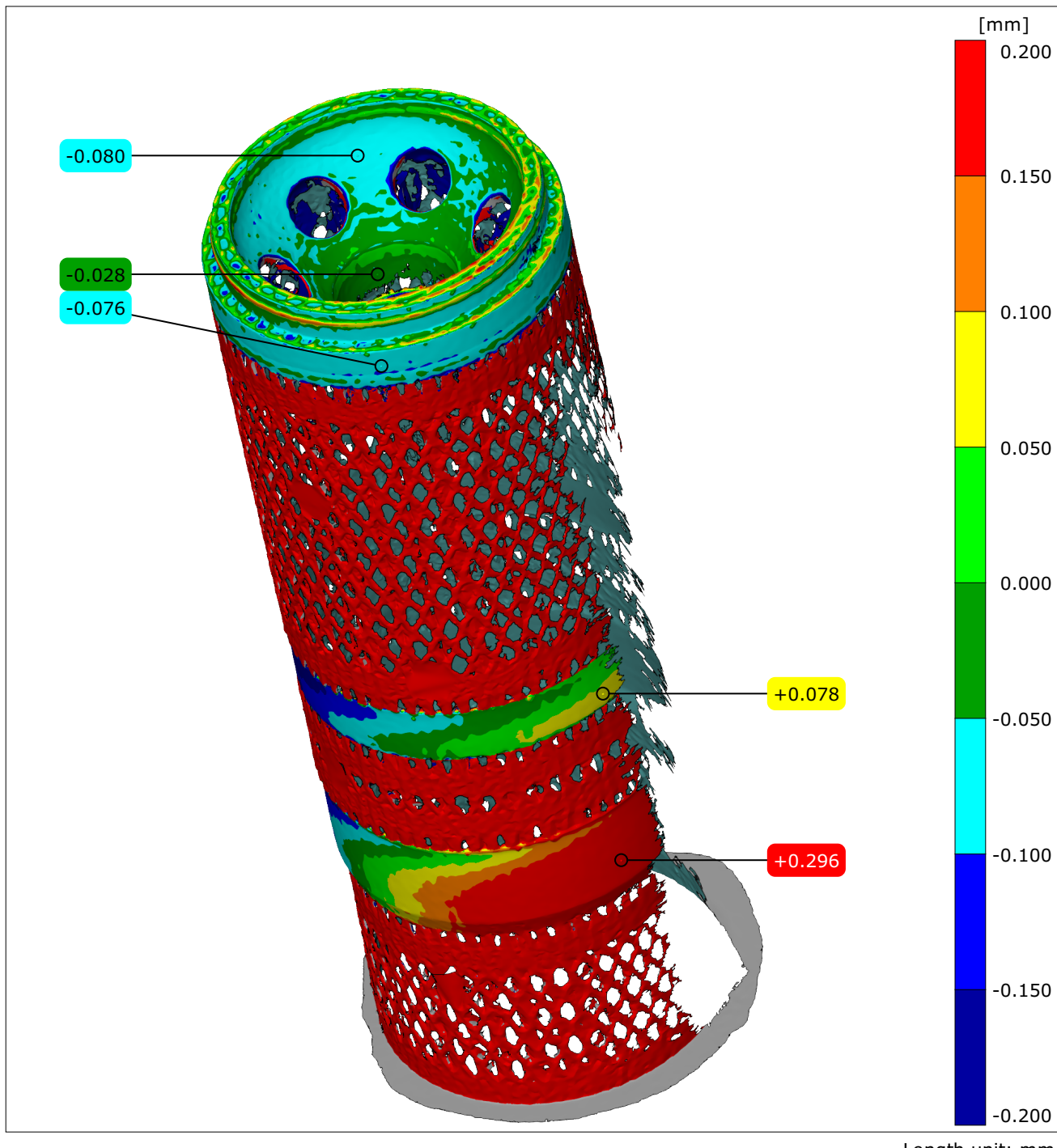
Length unit: mm

Inspector: Jan Hajda Company: VUT Department: UK Location: Czech Republic Date: 23.4.2019	Project: Inspekcí sabotu Part: Sabot, celek, po stavbě, odlehčeno Part no.: 2019-04-02_01 Version: Charge no.: ---
System: GOM Inspect 2018 Alignment: Plane-line-point	 NETME Centre Centre for Research and Development

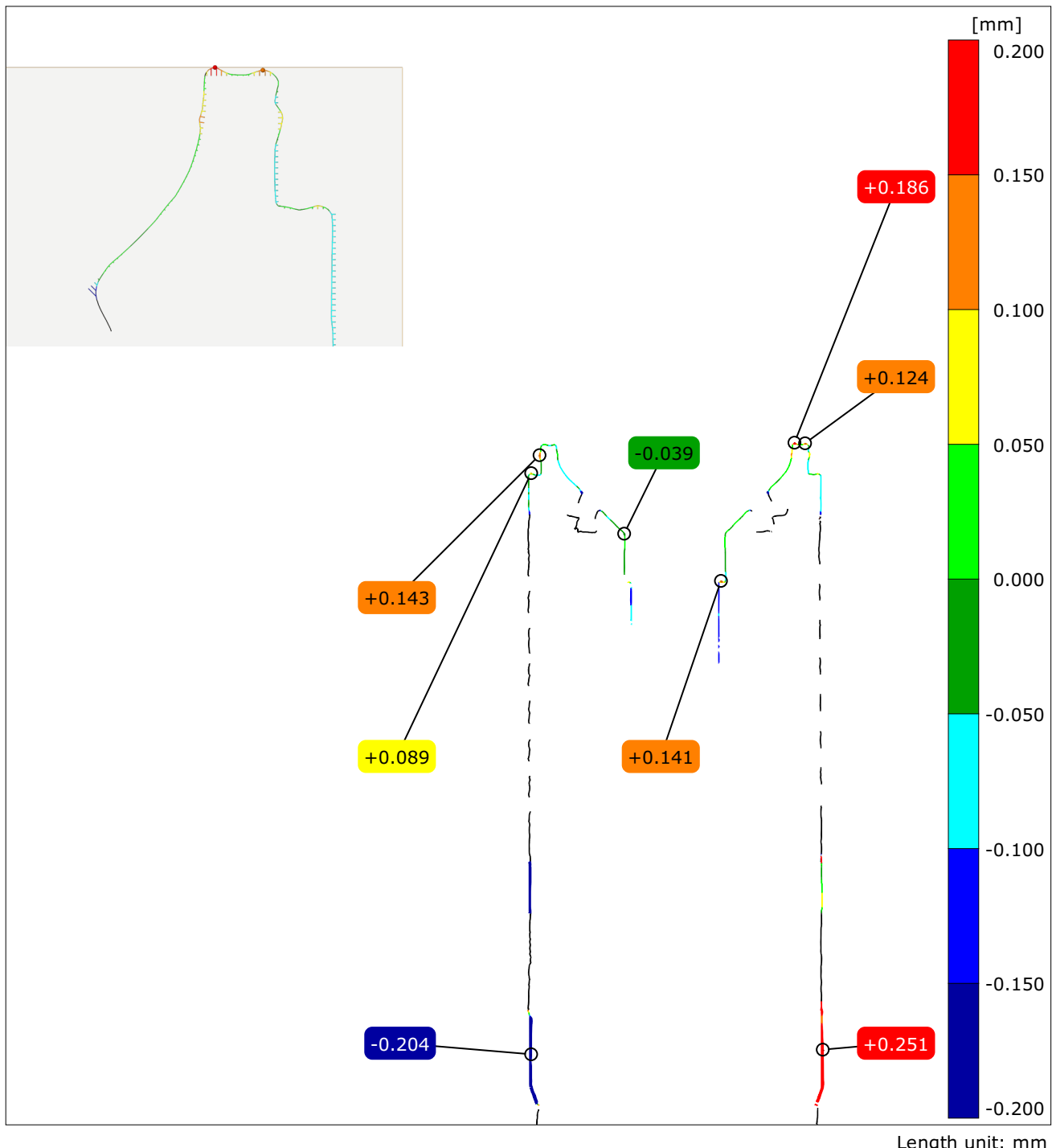
3D laboratorywww.3dlaboratory.cz



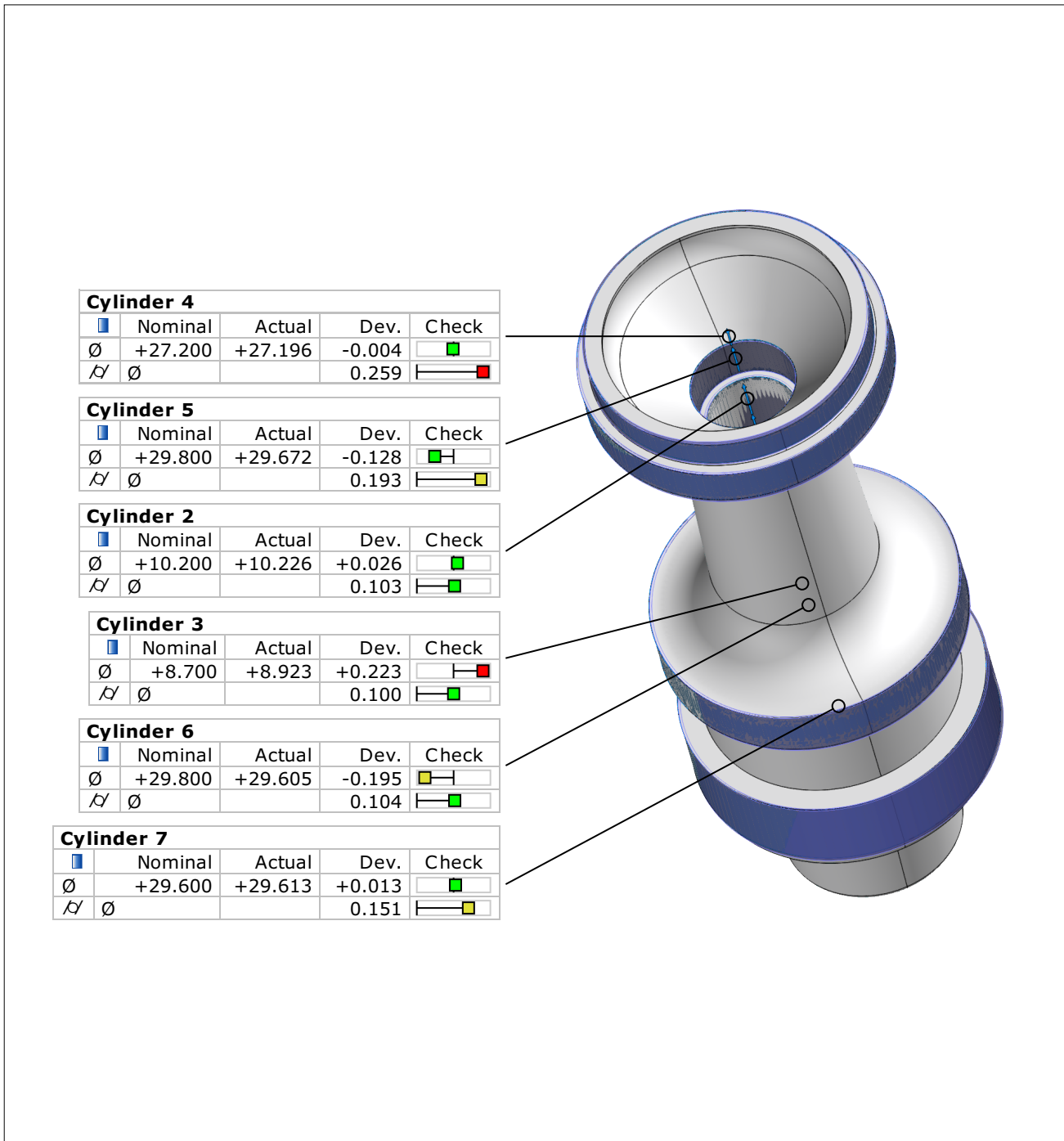
Inspector: Jan Hajda Company: VUT Department: UK Location: Czech Republic Date: 23.4.2019	Project: Inspekce sabotu Part: Sabot, celek, po stavbě, odlehčeno Part no.: 2019-04-02_01 Version: Charge no.: ---
System: GOM Inspect 2018 Alignment: Plane-line-point	 NETME Centre Centre for Research and Development  www.3dlaboratory.cz



Inspector: Jan Hajda Company: VUT Department: UK Location: Czech Republic Date: 23.4.2019	Project: Inspekce sabotu Part: Sabot, celek, po stavbě, odlehčeno Part no.: 2019-04-02_01 Version: Charge no.: ---
System: GOM Inspect 2018 Alignment: Plane-line-point	 NETME Centre Centre for Research and Development  www.3dlaboratory.cz

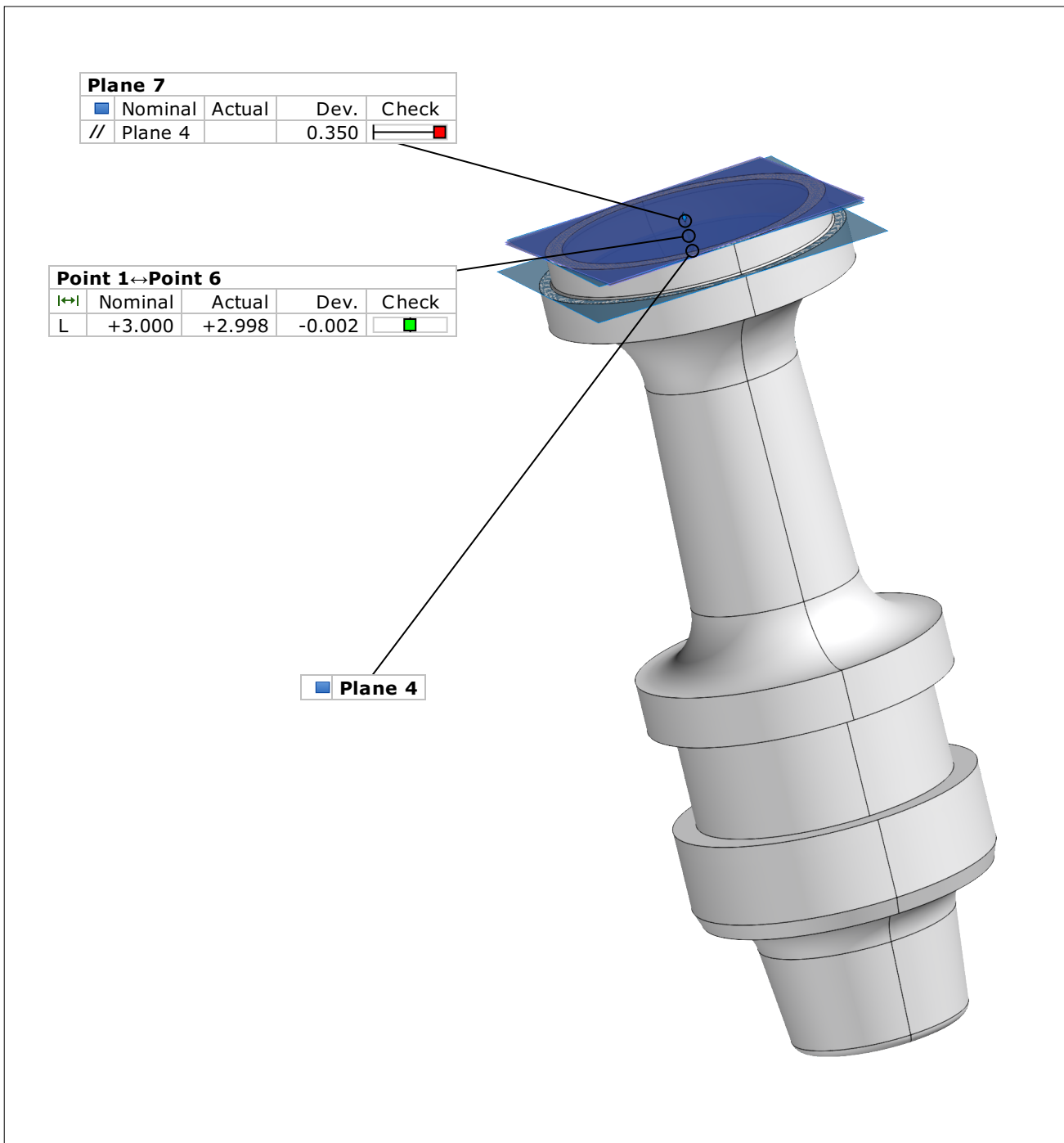


Inspector: Jan Hajda Company: VUT Department: UK Location: Czech Republic Date: 23.4.2019	Project: Inspekcí sabotu Part: Sabot, celek, po stavbě, odlehčeno Part no.: 2019-04-02_01 Version: Charge no.: ---
System: GOM Inspect 2018 Alignment: Plane-line-point	 3D laboratory www.3dlaboratory.cz



Length unit: mm

Inspector: Jan Hajda Company: VUT Department: UK Location: Czech Republic Date: 23.4.2019	Project: Inspekcí sabotu Part: Sabot, celek, po stavbě, odlehčeno Part no.: 2019-04-02_01 Version: Charge no.: ---
System: GOM Inspect 2018 Alignment: Plane-line-point	 3D laboratory www.3dlaboratory.cz



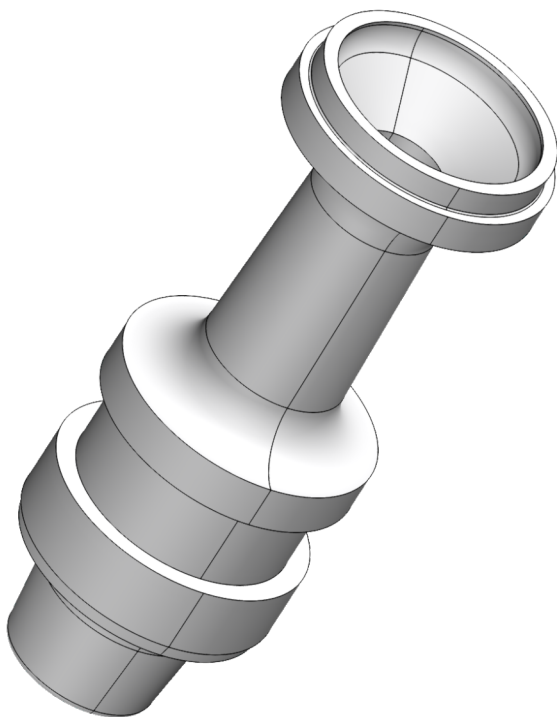
Length unit: mm

Inspector: Jan Hajda Company: VUT Department: UK Location: Czech Republic Date: 23.4.2019	Project: Inspekcí sabotu Part: Sabot, celek, po stavbě, odlehčeno Part no.: 2019-04-02_01 Version: Charge no.: ---
System: GOM Inspect 2018 Alignment: Plane-line-point	 3D laboratory www.3dlaboratory.cz

Příloha 11

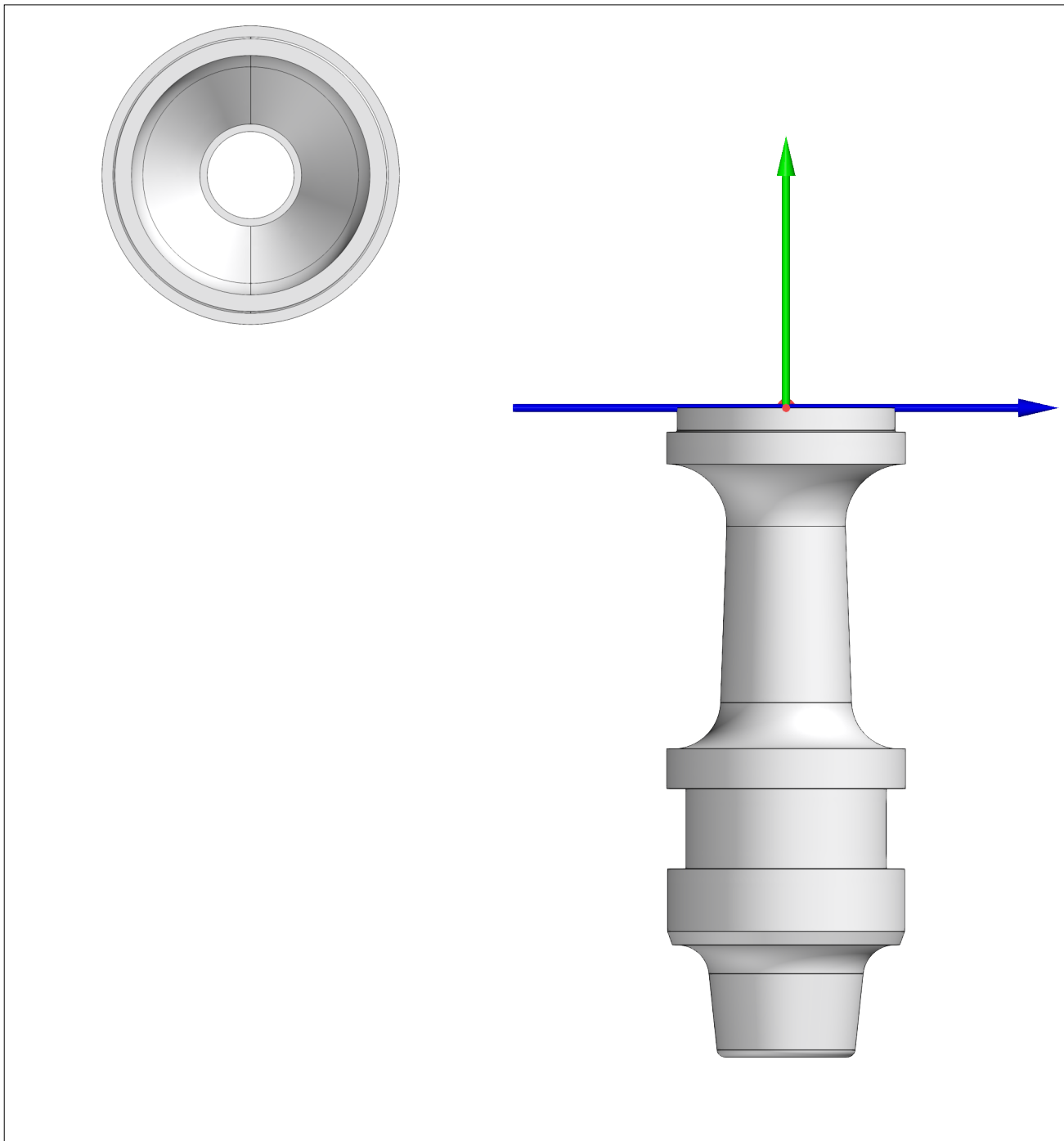
GOM ATOS Inspection Report

Date: 29.4.2019



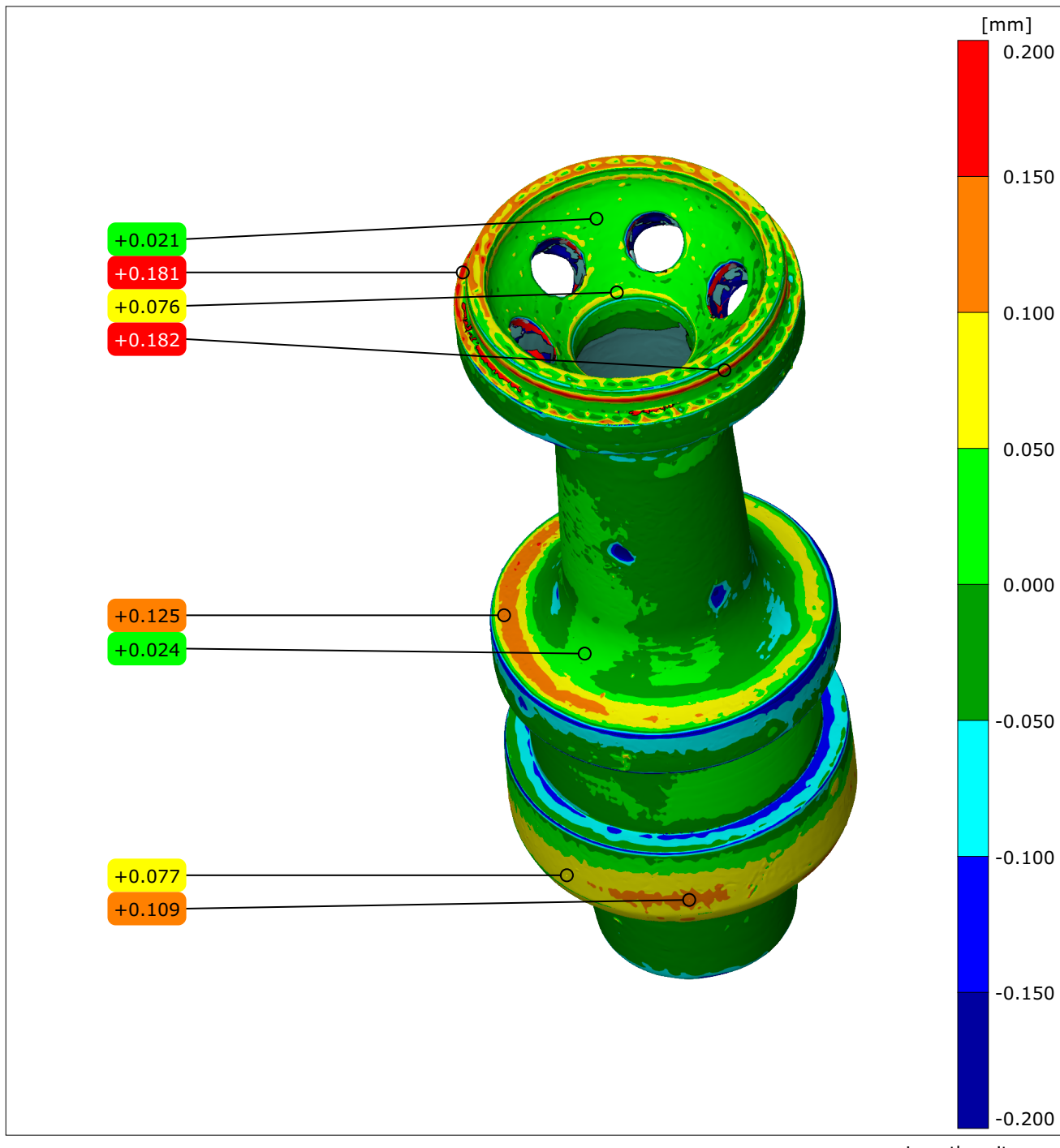
Sabot, celek, bez podpor, odlehčeno

Inspector: Jan Hajda

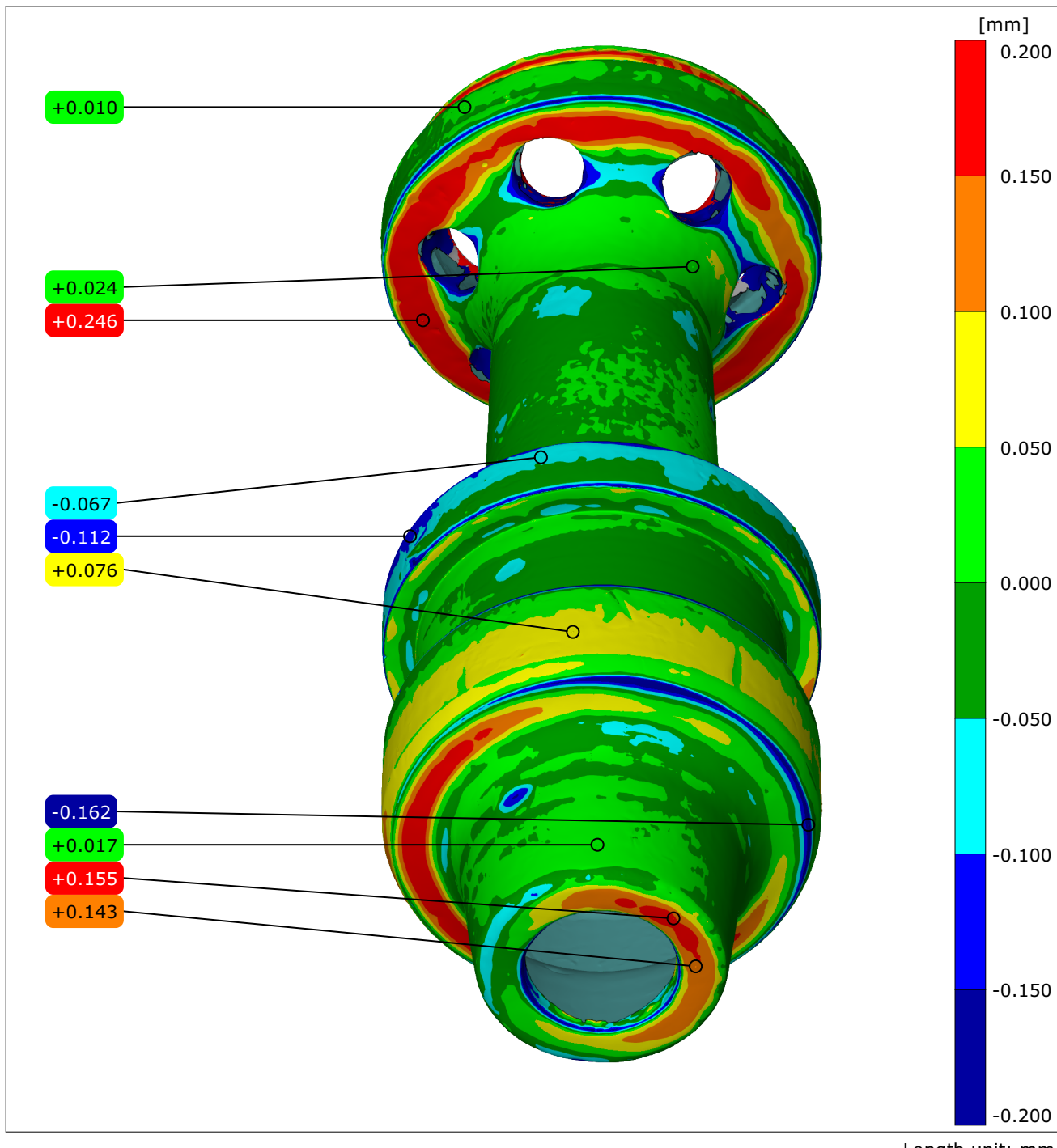


Length unit: mm

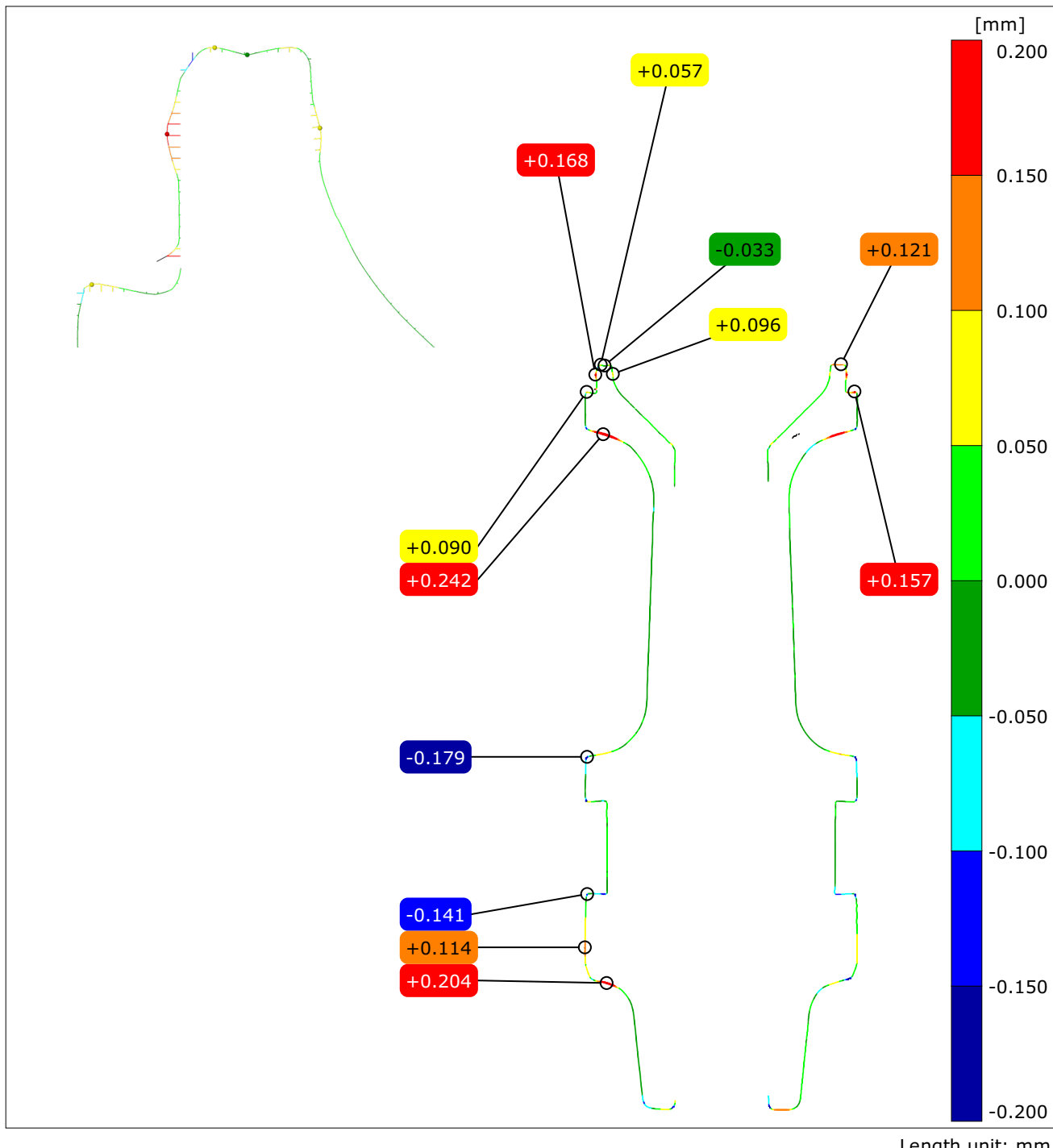
Inspector: Jan Hajda Company: VUT Department: UK Location: Czech Republic Date: 29.4.2019	Project: Inspekce sabotu Part: Sabot, celek, bez podpor, odlehčen Part no.: 2019-04-02_02 Version: Charge no.: ---
System: GOM Inspect 2018 Alignment:	 NETME Centre Centre for Research and Development  www.3dlaboratory.cz



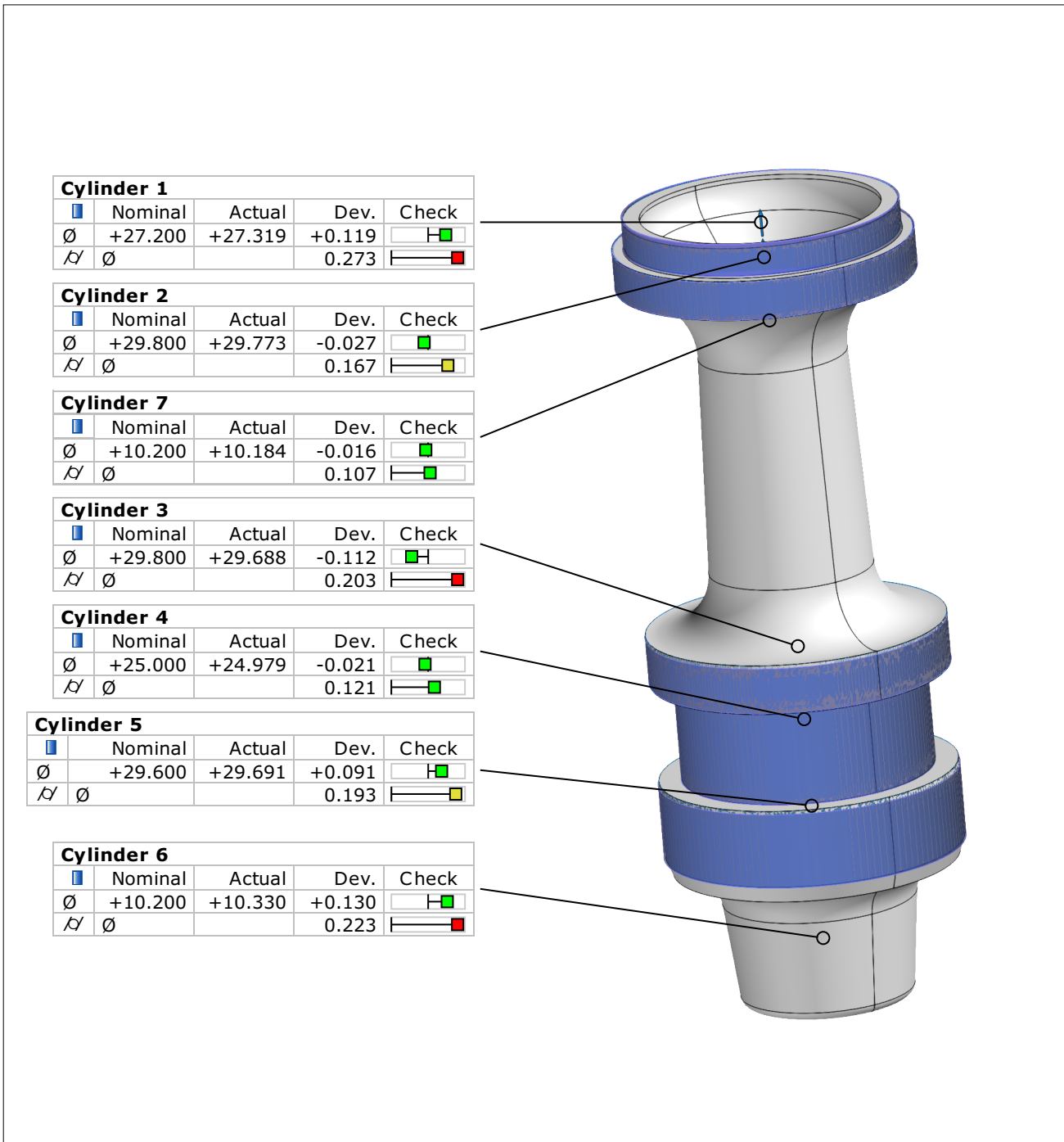
Inspector: Jan Hajda Company: VUT Department: UK Location: Czech Republic Date: 29.4.2019	Project: Inspekce sabotu Part: Sabot, celek, bez podpor, odlehčen Part no.: 2019-04-02_02 Version: Charge no.: ---
System: GOM Inspect 2018 Alignment: Prealignment	 NETME Centre Centre for Research and Development  www.3dlaboratory.cz



Inspector: Jan Hajda Company: VUT Department: UK Location: Czech Republic Date: 29.4.2019	Project: Inspekce sabotu Part: Sabot, celek, bez podpor, odlehčen Part no.: 2019-04-02_02 Version: Charge no.: ---
System: GOM Inspect 2018 Alignment: Prealignment	 NETME Centre Centre for Research and Development  www.3dlaboratory.cz

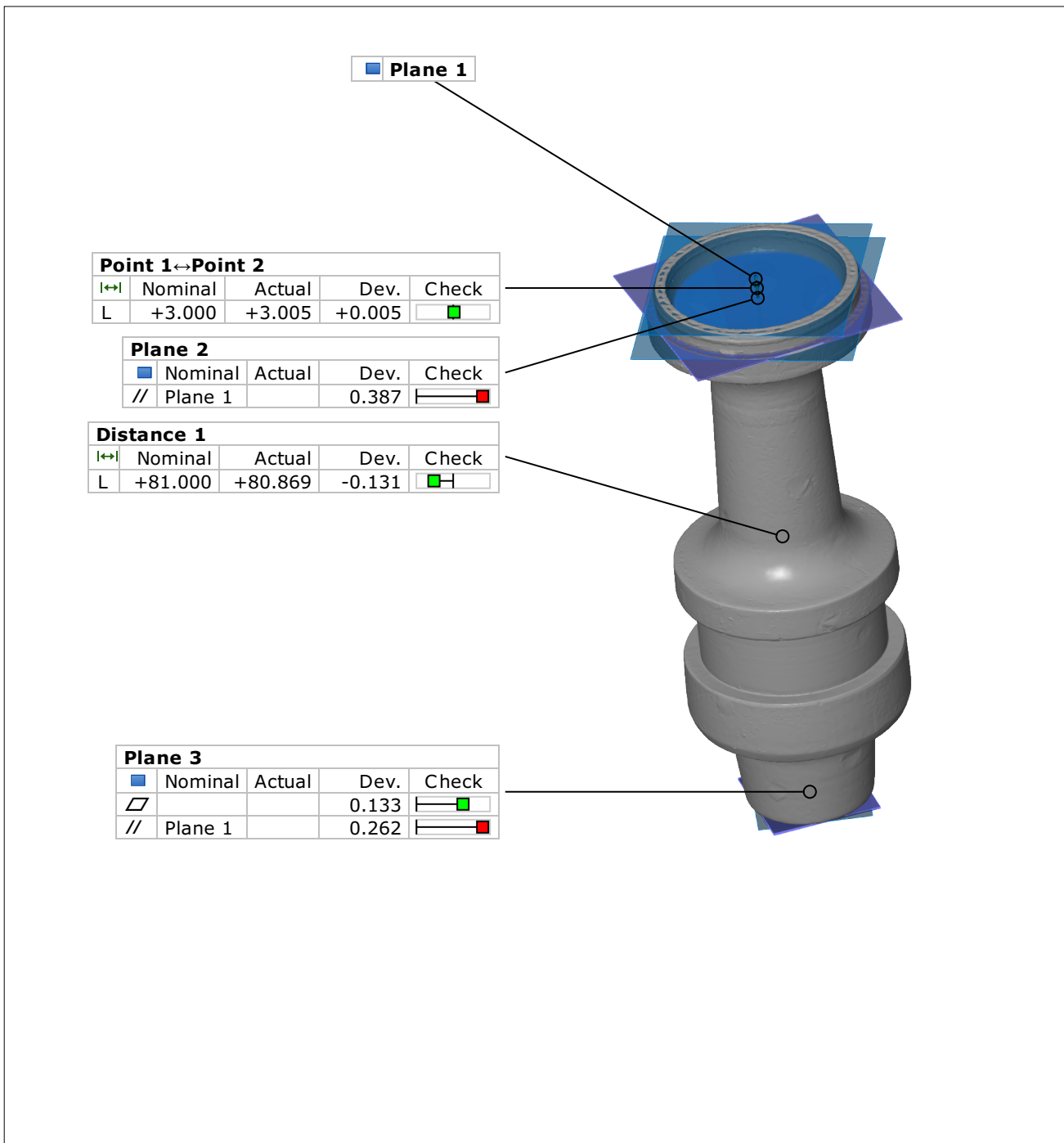


<p>Inspector: Jan Hajda Company: VUT Department: UK Location: Czech Republic Date: 29.4.2019</p>	<p>Project: Inspekcí sabotu Part: Sabot, celek, bez podpor, odlehčený Part no.: 2019-04-02_02 Version: Charge no.: ---</p>
<p>System: GOM Inspect 2018 Alignment: Prealignment</p>	 <p>3D laboratory www.3dlaboratory.cz</p>



Length unit: mm

Inspector: Jan Hajda Company: VUT Department: UK Location: Czech Republic Date: 29.4.2019	Project: Inspekcí sabotu Part: Sabot, celek, bez podpor, odlehčený Part no.: 2019-04-02_02 Version: Charge no.: ---
System: GOM Inspect 2018 Alignment: Prealignment	 3D laboratory www.3dlaboratory.cz



Inspector: Jan Hajda Company: VUT Department: UK Location: Czech Republic Date: 29.4.2019	Project: Inspekcí sabotu Part: Sabot, celek, bez podpor, odlehčený Part no.: 2019-04-02_02 Version: Charge no.: ---
System: GOM Inspect 2018 Alignment: Prealignment	 3D laboratory www.3dlaboratory.cz